

บัญชีรายรับรายจ่าย
ประจำปี พ.ศ.๒๕๖๑



รายงานวิจัย

ประสิทธิภาพการบำบัดน้ำที่ปนเปื้อนด้วยซิลเวอร์นาโนพาร์ติเคิล

โดยจาก (*Pistia stratiotes* L.): ผลของขนาดอนุภาค

The Efficiency of Phytoremediation for Silver Nanoparticles-
Contaminated Water by *Pistia stratiotes* L.: Effect of Particle Size

นูรชา กีมา เจรัส
พาก้อนะอุ ยาโงะ

รายงานฉบับนี้เป็นส่วนหนึ่งของการศึกษา
หลักสูตรวิทยาศาสตรบัณฑิต สาขาวิชาวิทยาศาสตร์สิ่งแวดล้อม
คณะวิทยาศาสตร์และเทคโนโลยี มหาวิทยาลัยราชภัฏสงขลา

2561



ใบรับรองงานวิจัย
มหาวิทยาลัยราชภัฏสกลนคร
หลักสูตรวิทยาศาสตรบัณฑิต
สาขาวิชาวิทยาศาสตร์สิ่งแวดล้อม

ชื่อเรื่องงานวิจัย ประสิทธิภาพการบำบัดน้ำที่ปนเปื้อนด้วยซิลเวอร์ nano-particle โดยจาก (*Pistia stratiotes L.*): ผลของขนาดอนุภาค
The Efficiency of Phytoremediation for Silver Nanoparticles-
Contaminated Water by *Pistia stratiotes L.*: Effect of Particle Size
ชื่อผู้ทำงานวิจัย นุรยา กีมา เจรและ และ พากุณจะ ย่าโงะ

คณะกรรมการสอบโครงการวิจัย

.....	อาจารย์ที่ปรึกษาหลัก (อาจารย์ ดร.สิริพร บริรักษิษฐ์ศักดิ์)	ประธานกรรมการสอบ (ผู้ช่วยศาสตราจารย์ขวัญกมล ขุนพิทักษ์)
.....	อาจารย์ที่ปรึกษาร่วม (อาจารย์ ดร.ภวิกา มหาสวัสดิ์)	กรรมการสอบ (อาจารย์ ดร.สายสิริ ไชยชนะ)
.....	กรรมการสอบ (อาจารย์พิรัญญาดี สุวิบูลย์)
.....	กรรมการสอบ (อาจารย์ ดร.สิริพร บริรักษิษฐ์ศักดิ์)
.....	กรรมการสอบ (อาจารย์ ดร.ภวิกา มหาสวัสดิ์)
.....	ประธานหลักสูตร (ผู้ช่วยศาสตราจารย์ขวัญกมล ขุนพิทักษ์)
.....

เมื่อวันที่.....เดือน..... พ.ศ..... 27 ม.ค. 2562

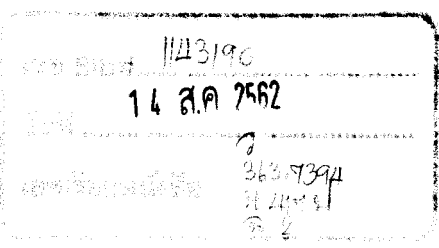
ลิขสิทธิ์มหาวิทยาลัยราชภัฏสกลนคร

ชื่อเรื่อง	ประสิทธิภาพการบำบัดน้ำที่ปนเปื้อนด้วยซิลเวอร์ nano-particle ตีเคลต์โดยจาก (<i>Pistia stratiotes</i> L.): ผลของขนาดอนุภาค	
ชื่อผู้ทำงานวิจัย	นางสาวนูรยา กีมา เจรและ	รหัสนักศึกษา 584232006
	นางสาวฟางอนนະย ยาโงะ	รหัสนักศึกษา 584232007
อาจารย์ที่ปรึกษา	อาจารย์ ดร.สิริพร บริรักษิสูรศักดิ์	
อาจารย์ที่ปรึกษาร่วม	อาจารย์ ดร.ภวิกา มหาสวัสดิ์	
ปริญญาวิทยาศาสตรบัณฑิต	สาขาวิทยาศาสตร์สิ่งแวดล้อม	
สถาบัน	มหาวิทยาลัยราชภัฏสงขลา	
ปีการศึกษา	2561	

บทคัดย่อ

งานวิจัยครั้งนี้มีวัตถุประสงค์เพื่อศึกษาสภาพภาวะที่จากสามารถเจริญเติบโตในน้ำที่ปนเปื้อนด้วย AgNPs และศึกษาประสิทธิภาพในการบำบัดน้ำที่ปนเปื้อน AgNPs โดยจาก ชีงใช้ AgNPs 2 ขนาด คือ ขนาด 7 และ 50 นาโนเมตร ที่ความเข้มข้นเริ่มต้น คือ 0.5, 1 และ 2 มิลลิกรัมต่อลิตร โดยทำการวิเคราะห์ความเข้มข้นของ AgNPs, pH ในตัวอย่างน้ำ, วิเคราะห์ลักษณะทางกายภาพของ จาก (สังเกตสีใบ และลักษณะทั่วไป) และปริมาณคลอโรฟิลล์ในจาก หลังจากเก็บตัวอย่างน้ำและจาก ที่เวลา 0, 1, 2, 4, 6, 12, 24 และ 48 ชั่วโมง พบร่วมกันว่า เมื่อระยะเวลาผ่านไป ปริมาณ AgNPs ในน้ำลดลง และเมื่อความเข้มข้นของ AgNPs เพิ่มขึ้น ปริมาณคลอโรฟิลล์ในจากมีแนวโน้มลดลง ส่งผลให้ ความสามารถในการสังเคราะห์ด้วยแสงของจากลดลง ทำให้จากตายในที่สุด และพบว่าจากตาย หลังจากเลี้ยงใน AgNPs ที่ความเข้มข้น 2 มิลลิกรัมต่อลิตร โดยจากที่ได้รับ AgNPs ขนาด 7 นาโน เมตร (ตายที่ 24 ชั่วโมง) จะตายเร็วกว่าจากที่ได้รับ AgNPs ขนาด 50 นาโนเมตร (ตายที่ 48 ชั่วโมง) จอกมีประสิทธิภาพในการบำบัดน้ำที่ปนเปื้อนด้วย AgNPs ขนาด 7 นาโนเมตรได้ดี ที่ความเข้มข้น 0.5 มิลลิกรัมต่อลิตร ในขณะที่ AgNPs ขนาด 50 นาโนเมตร จากบำบัดได้ดี ที่ความเข้มข้น 1 มิลลิกรัมต่อลิตร ดังนั้นจึงสรุปได้ว่า AgNPs มีความเป็นพิษ และส่งผลกระทบต่อการเจริญเติบโตของ จาก โดยขึ้นอยู่กับขนาดอนุภาค ความเข้มข้น และระยะเวลาที่ได้รับ

คำสำคัญ: ซิลเวอร์ nano-particle ตีเคลต์ จอก และการบำบัดด้วยพืช



Study Title	The Efficiency of Phytoremediation for Silver Nanoparticles-Contaminated Water by <i>Pistia stratiotes</i> L.: Effect of Particle Size	
Authors	Miss Nurhakeema Chelea	Satudent Code 584232006
	Miss Fatanah Yangoh	Satudent Code 584232007
Advisor	Dr. Siriporn Borrirukwitsaks	
Co-advisor	Dr. Pawika Mahasawat	
Bachelor of science	Environmental Science	
Institution	Songkhla Rajabhat University	
Academic Year	2018	

Abstract

This research aims to study the conditions that supporting the growth of *Pistia stratiotes* L. in silver nanoparticles (AgNPs)-contaminated water and to study the efficiency of phytoremediation for AgNPs-contaminated water by *P. stratiotes*. Two sizes of AgNPs, including 7 and 50 nm (7 nm AgNPs and 50 nm AgNPs), were employed, and concentrations used were 0.5, 1 and 2 mg/L. The concentration of AgNPs, pH of AgNPs-contaminated water, physical properties of *P. stratiotes* (leaf colour and their general properties) and chlorophyll content were analysed. After sample collection at 0, 1, 2, 4, 6, 12, 24 and 48 h, the concentration of AgNPs decreased with an increase of incubation time. When the concentration of AgNPs increased, the chlorophyll content in *P. stratiotes* tended to decrease. This resulted in a reduction of photosynthesis ability of *P. stratiotes*, which eventually followed by a death of *P. stratiotes*. Moreover, *P. stratiotes* died after treated with AgNPs at the concentration of 2 mg/L, in which *P. stratiotes* treated with 7 nm AgNPs died (at 24 h) faster than *P. stratiotes* treated with 50 nm AgNPs (at 48 h). A phytoremediation of 7 nm AgNPs-contaminated water by *P. stratiotes* occurred satisfactorily at the AgNP concentration of 0.5 mg/L, while this was found at 1 mg/L for 50 nm AgNP-contaminated water. In summary, AgNPs were toxic and could affect the growth of *P. stratiotes*, in which this depended on particle size, concentration and incubation time.

Keywords: silver nanoparticles, *Pistia stratiotes*. L and phytoremediation

กิตติกรรมประกาศ

การศึกษาวิจัยครั้งนี้ที่ทำให้สำเร็จลุล่วงไปได้ด้วยดีด้วยความกรุณาของอาจารย์ที่ปรึกษา ดร.สิริพร บริรักษ์สิริสักดี และ ดร.ภวิกา มหาสวัสดิ์ ที่ให้คำปรึกษาในการดำเนินการวิจัย ให้คำแนะนำเพิ่มเติม และอ่านรายงานวิจัยพร้อมแก้ไขข้อบกพร่องให้มีความถูกต้องสมบูรณ์ ทำให้งานวิจัยเล่มนี้ สำเร็จลุล่วงไปได้ด้วยดี ขอขอบคุณคณาจารย์ประจำวิชาฯ ศาสตร์สิ่งแวดล้อมที่ให้คำแนะนำอันเป็นประโยชน์ เพื่อให้งานวิจัยนี้สมบูรณ์ยิ่งขึ้น

ขอขอบคุณนายสอแ笏ะ บاغสัน เจ้าหน้าที่ห้องปฏิบัติการ หลักสูตรวิชาฯ ศาสตร์ สิ่งแวดล้อมที่อำนวยความสะดวกและเครื่องมือในการทำวิจัยนี้ และขอขอบคุณนายปริญญา ทับเที่ยง ที่ให้ความอนุเคราะห์ในการใช้ห้องปฏิบัติการเทคโนโลยีชีวภาพ และห้องปฏิบัติการชีวภาพและชีวิทยาประยุกต์ และขอขอบคุณเจ้าหน้าที่ศูนย์วิชาฯ ศาสตร์ มหาวิทยาลัยราชภัฏสงขลา ที่ให้คำแนะนำและอนุเคราะห์การใช้เครื่องมือวิชาฯ ศาสตร์แก่ผู้วิจัยเสมอมา

ขอขอบคุณบิดา มารดา พี่น้อง และเพื่อน ๆ ที่เคยให้กำลังใจและสนับสนุนในการทำวิจัย ตลอดมาจนกระทั่งสำเร็จลุล่วงด้วยดี

นุรยา กีมา จะและ

พญอนะษ ยะงะ

พฤษภาคม 2562

สารบัญ

	หน้า
บทคัดย่อ	ก
Abstract	ข
กิตติกรรมประกาศ	ค
สารบัญ	ง
สารบัญตาราง	ฉ
สารบัญภาพ	ช
 บทที่ 1 บทนำ	
1.1 ความสำคัญและที่มาของการวิจัย	1
1.2 วัตถุประสงค์	2
1.3 ตัวแปร	2
1.4 นิยามศัพท์ที่ใช้ในการวิจัย	2
1.5 สมมติฐาน	2
1.6 ประโยชน์ที่คาดว่าจะได้รับ	2
1.7 ระยะเวลาที่ทำการวิจัย	3
 บทที่ 2 เอกสารและงานวิจัยที่เกี่ยวข้อง	
2.1 ซิลเวอร์นาโนพาร์ติเคิล	5
2.2 การใช้พีชบําดสารปนเปื้อน	9
2.3 ข้อมูลทั่วไปของพีชน้ำ	11
2.4 จอก	15
2.5 คลอร็อฟิลล์	17
2.6 เครื่องวัดการดูดกลืนแสง	19
2.7 งานวิจัยที่เกี่ยวข้อง	20
 บทที่ 3 วิธีการวิจัย	
3.1 ขอบเขตของการวิจัย	22
3.2 วัสดุ อุปกรณ์ และสารเคมี	23
3.3 วิธีการวิเคราะห์	25

สารบัญ (ต่อ)

	หน้า
บทที่ 4 ผลและการอภิปรายผลการวิจัย	
4.1 ผลการสังเคราะห์ AgNPs ขนาด 7 และ 50 นาโนเมตร	32
4.2 ผลการวิเคราะห์ตัวอย่างจาก	33
4.3 ผลการวิเคราะห์ตัวอย่างน้ำ	43
4.4 ผลการศึกษาประสิทธิภาพในการบำบัดน้ำที่ปนเปื้อนด้วย AgNPs ของจาก	52
บทที่ 5 สรุปผลการวิจัยและข้อเสนอแนะ	
5.1 สรุปผลการวิจัย	55
5.2 ข้อเสนอแนะ	56
บรรณานุกรม	57
ภาคผนวก	
ภาคผนวก ก แบบเสนอโครงการวิจัย	ผก-1
ภาคผนวก ข ภาพการทดลองและอุปกรณ์ที่ใช้ในการทดลอง	ผข-1
ภาคผนวก ค ข้อมูลผลการทดลอง	ผค-1
ภาคผนวก ง ประวัติผู้วิจัย	ผง-1



สารบัญตาราง

ตารางที่	หน้า
1.1 แผนการดำเนินงานโครงการ	4
2.1 การได้รับ AgNPs เข้าสู่ร่างกายและการที่เกิดขึ้น	8
2.2 ความเข้มข้นที่คาดการณ์ของ AgNPs ในสิ่งแวดล้อมที่แตกต่างกัน	9
2.3 ความแตกต่างระหว่างคลอรอฟิลล์ เอ และคลอรอฟิลล์ บี	18
3.1 รายละเอียดของตัวอย่างที่ใช้ในการศึกษา	28
3.2 วิธีการวิเคราะห์ตัวอย่างน้ำและจอก	29
4.1 ลักษณะของจอกหลังจากดูดซึม AgNPs ขนาด 7 นาโนเมตร ที่ระยะเวลาต่าง ๆ	34
4.2 ลักษณะของจอกหลังจากดูดซึม AgNPs ขนาด 50 นาโนเมตร ที่ระยะเวลาต่าง ๆ	34
4.3 ค่า pH ของตัวอย่างน้ำในการศึกษาการสลายตัวของ AgNPs	43
4.4 ค่า pH ของตัวอย่างน้ำในการศึกษาประสิทธิภาพของจอกในการบำบัดน้ำที่ปนเปื้อน AgNPs	44
4.5 ความเข้มข้นของ AgNPs ในน้ำที่เวลาต่าง ๆ	46
4.6 ประสิทธิภาพของจอกในการบำบัด AgNPs	52

สารบัญภาพ

ภาพที่	หน้า
2.1 ผลิตภัณฑ์ที่จำหน่ายตามห้องทดลองที่ประกอบด้วย AgNPs	7
2.2 ลักษณะทั่วไปของจอก	15
2.3 โครงสร้างของคลอโรฟิลล์ เอ และคลอโรฟิลล์ บี	18
2.4 ส่วนประกอบของเครื่อง UV-Visible spectrophotometer	20
3.1 กรอบแนวคิดการศึกษา	25
4.1 AgNPs ขนาด 7 นาโนเมตร สังเคราะห์ได้; (ก) สารhexenloy AgNPs และ (ข) ขนาดและรูปร่างของ AgNPs จากเครื่อง TEM	32
4.2 AgNPs ขนาด 50 นาโนเมตร ที่สังเคราะห์ได้; (ก) สารhexenloy AgNPs และ (ข) ขนาดและรูปร่างของ AgNPs จากเครื่อง TEM	33
4.3 สีและสภาพของจอกที่ได้รับ AgNPs ขนาด 7 นาโนเมตร	35
4.4 สีและสภาพของจอกที่ได้รับ AgNPs ขนาด 50 นาโนเมตร	36
4.5 ปริมาณคลอโรฟิลล์ เอ และคลอโรฟิลล์ บี ในจอก หลังจากได้รับ AgNPs ขนาด 7 นาโนเมตร ที่ความเข้มข้น 0.5 มิลลิกรัมต่อลิตร	39
4.6 ปริมาณคลอโรฟิลล์ เอ และคลอโรฟิลล์ บี ในจอก หลังจากได้รับ AgNPs ขนาด 7 นาโนเมตร ที่ความเข้มข้น 1 มิลลิกรัมต่อลิตร	39
4.7 ปริมาณคลอโรฟิลล์ เอ และคลอโรฟิลล์ บี ในจอก หลังจากได้รับ AgNPs ขนาด 7 นาโนเมตร ที่ความเข้มข้น 2 มิลลิกรัมต่อลิตร	40
4.8 ปริมาณคลอโรฟิลล์ เอ และคลอโรฟิลล์ บี ในจอก หลังจากได้รับ AgNPs ขนาด 50 นาโนเมตร ที่ความเข้มข้น 0.5 มิลลิกรัมต่อลิตร	41
4.9 ปริมาณคลอโรฟิลล์ เอ และคลอโรฟิลล์ บี ในจอก หลังจากได้รับ AgNPs ขนาด 50 นาโนเมตร ที่ความเข้มข้น 1 มิลลิกรัมต่อลิตร	41
4.10 ปริมาณคลอโรฟิลล์ เอ และคลอโรฟิลล์ บี ในจอก หลังจากได้รับ AgNPs ขนาด 50 นาโนเมตร ที่ความเข้มข้น 2 มิลลิกรัมต่อลิตร	42
4.11 ค่า pH ของตัวอย่างน้ำ AgNPs ในการศึกษาการสลายตัวของ AgNPs	44
4.12 ค่า pH ของตัวอย่างน้ำ AgNPs ในการศึกษาประสิทธิภาพของจอก ในการบำบัดน้ำที่ปนเปื้อน AgNPs	45
4.13 การสลายตัวของ AgNPs ที่มีความเข้มข้นเริ่มต้น 0.5 มิลลิกรัมต่อลิตร	47

สารบัญภาพ (ต่อ)

ภาพที่	หน้า
4.14 การสลายตัวของ AgNPs ที่มีความเข้มข้นเริ่มต้น 1 มิลลิกรัมต่อลิตร	47
4.15 การสลายตัวของ AgNPs ที่มีความเข้มข้นเริ่มต้น 2 มิลลิกรัมต่อลิตร	48
4.16 ความสัมพันธ์ระหว่างความเข้มข้นของ AgNPs ขนาด 7 และ 50 นาโนเมตร ในการศึกษาการสลายตัวของ AgNPs ที่เวลาต่าง ๆ	48
4.17 ความเข้มข้นของ AgNPs ในน้ำที่เวลาต่าง ๆ ในการศึกษาประสิทธิภาพของจอก ในการบำบัดน้ำที่ปนเปื้อนด้วย AgNPs 0.5 มิลลิกรัมต่อลิตร	49
4.18 ความเข้มข้นของ AgNPs ในน้ำที่เวลาต่าง ๆ ในการศึกษาประสิทธิภาพของจอก ในการบำบัดน้ำที่ปนเปื้อนด้วย AgNPs 1 มิลลิกรัมต่อลิตร	50
4.19 ความเข้มข้นของ AgNPs ในน้ำที่เวลาต่าง ๆ ในการศึกษาประสิทธิภาพของจอก ในการบำบัดน้ำที่ปนเปื้อนด้วย AgNPs 2 มิลลิกรัมต่อลิตร	50
4.20 ความสัมพันธ์ระหว่างความเข้มข้นของ AgNPs ขนาด 7 และ 50 นาโนเมตร ในการศึกษาประสิทธิภาพของจอกในการบำบัดน้ำที่ปนเปื้อนด้วย AgNPs ที่เวลาต่าง ๆ	51
4.21 ประสิทธิภาพของจอกในการบำบัด AgNPs ขนาด 7 และ 50 นาโนเมตร ที่เวลาต่าง ๆ ที่ความเข้มข้น 0.5 มิลลิกรัมต่อลิตร	52
4.22 ประสิทธิภาพของจอกในการบำบัด AgNPs ขนาด 7 และ 50 นาโนเมตร ที่เวลาต่าง ๆ ที่ความเข้มข้น 1 มิลลิกรัมต่อลิตร	53
4.23 ประสิทธิภาพของจอกในการดูดบำบัด AgNPs ขนาด 7 และ 50 นาโนเมตร ที่เวลาต่าง ๆ ที่ความเข้มข้น 2 มิลลิกรัมต่อลิตร	53

บทที่ 1

บทนำ

1.1 ความสำคัญและที่มาของการวิจัย

ปัจจุบันความก้าวหน้าของวิทยาศาสตร์และเทคโนโลยีต่าง ๆ ได้เข้ามามีบทบาทในชีวิตประจำวันของมนุษย์และสังคมเป็นอย่างมาก นาโนเทคโนโลยีเป็นอีกหนึ่งเทคโนโลยีที่มีการพัฒนาและเจริญเติบโตอย่างรวดเร็วในช่วงไม่กี่ปีที่ผ่านมา มีการนำรากหุ่นยนต์มาผลิตให้อยู่ในรูปของนาโนพาร์ติคิล (nanoparticles; NPs) เพื่อนำมาใช้ประโยชน์ ซึ่ง NPs เป็นอนุภาคที่มีขนาดเล็กอยู่ในช่วง 1-100 นาโนเมตร ซึ่งมีสมบัติทางเคมีและทางกายภาพที่พิเศษแตกต่างไปจากอนุภาคที่มีขนาดใหญ่ ทำให้ NPs ที่ผลิตได้ถูกนำมาใช้อย่างแพร่หลาย (Wang *et al.*, 2006) รวมถึงชิลเวอร์นาโนพาร์ติคิล (silver nanoparticles; AgNPs) ซึ่งมีปริมาณการผลิตสูงถึงประมาณ 500 ตันต่อปี (Buric *et al.*, 2015) เนื่องจาก AgNPs มีสมบัติยับยั้งเชื้อแบคทีเรียได้ดี จึงทำให้ถูกนำไปใช้เป็นส่วนผสมในผลิตภัณฑ์ต่าง ๆ เช่น เสื้อผ้า เครื่องมือแพทย์ เครื่องสำอาง อุปกรณ์ทางไฟฟ้า และเครื่องใช้ภายในบ้าน เป็นต้น อาจทำให้ AgNPs ปนเปื้อนออกมาน้ำสีสันแวดล้อม ทั้งจากการปล่อยน้ำทิ้งที่ปนเปื้อน AgNPs จากโรงงาน และอาการบ้านเรือนลงสู่แหล่งน้ำธรรมชาติ ทำให้มี AgNPs สะสมในสิ่งแวดล้อม และส่งผลกระทบต่อสิ่งมีชีวิต โดยองค์การอนามัยโลก (World Health Organization; WHO) ได้กำหนดความเข้มข้นสูงสุดของ AgNPs ในน้ำดื่มไว้ที่ 0.1 มิลลิกรัมต่อลิตร (EPA, 2003)

การใช้พืชบำบัดสารปนเปื้อน (phytoremediation) เป็นวิธีการบำบัดน้ำเสียใช้อย่างแพร่หลาย เนื่องจากประหยัด และมีประสิทธิภาพ จากการศึกษาของ Hanks *et al.* (2015) พบว่า จาก (*Pistia stratiotes* L.) สามารถบำบัดน้ำที่ปนเปื้อนด้วย AgNPs ได้ แต่ยังไม่มีรายงานที่ศึกษาผลของขนาดของ AgNPs ที่มีต่อประสิทธิภาพในการบำบัดน้ำของจาก รวมทั้งความสามารถของจอกในการทนทานต่อ AgNPs ที่มีขนาดอนุภาคต่างกัน ซึ่งความเป็นพิษของ AgNPs ขึ้นกับขนาดของ AgNPs โดยอนุภาคที่มีขนาดเล็กมีความเป็นพิษมากกว่าอนุภาคขนาดใหญ่ เนื่องจากอนุภาคที่มีขนาดเล็กจะมีพื้นที่ผิวมากกว่าจึงว่องไวในการเกิดปฏิกิริยาสูงกว่า (Liu *et al.*, 2010)

ดังนั้นงานวิจัยนี้ผู้วิจัยจึงสนใจศึกษาเปรียบเทียบประสิทธิภาพของจอกในการบำบัดน้ำที่ปนเปื้อนด้วย AgNPs ที่มีขนาด 7 และ 50 นาโนเมตร รวมทั้งศึกษาสภาพที่จอกสามารถเจริญเติบโตในน้ำที่ปนเปื้อนด้วย AgNPs เพื่อให้ทราบถึงความสามารถของจอกในการบำบัดน้ำที่ปนเปื้อนด้วย AgNPs ที่มีขนาดต่างกัน และเป็นแนวทางในการใช้จอกบำบัด NPs ประเภทโลหะหนัก

1.2 วัตถุประสงค์

- 1) เพื่อศึกษาสภาพที่จอกสามารถเจริญเติบโตในน้ำที่ปนเปื้อนด้วย AgNPs
- 2) เพื่อศึกษาประสิทธิภาพในการบำบัดน้ำที่ปนเปื้อน AgNPs โดยจอก

1.3 ตัวแปร

- 1) ตัวแปรอิสระ: ขนาดของ AgNPs ความเข้มข้นของ AgNPs เริ่มต้น และระยะเวลา
- 2) ตัวแปรตาม: ประสิทธิภาพในการบำบัดน้ำที่ปนเปื้อนด้วย AgNPs ด้วยจอก และการเจริญเติบโตของจอก
- 3) ตัวแปรควบคุม: อุณหภูมิ ปริมาณน้ำ และลักษณะทางกายภาพของจอกที่ใช้ทดลอง

1.4 นิยามศัพท์ที่ใช้ในการวิจัย

- 1) ประสิทธิภาพ (efficiency) หมายถึง ความสามารถของจอกในการบำบัดน้ำที่ปนเปื้อนด้วย AgNPs
- 2) จอก (*Piatia stratiotes* L.) หมายถึง พืชน้ำประจำกลุ่มน้ำอุ่นวงศ์ Araceae เป็นพืชที่เหมาะสมสำหรับบำบัดน้ำ เนื่องจากมีระบบบรากขนาดใหญ่ พบรดีตามแหล่งน้ำ (Hanks et al., 2015)
- 3) ซิลเวอร์นาโนพาร์ติเคล (silver nanoparticles) หมายถึง อนุภาคของซิลเวอร์ที่มีขนาดเล็กระดับนาโนเมตร (ในช่วง 1-100 นาโนเมตร) (Hood, 2004)
- 4) การบำบัดโดยใช้พืช (phytoremediation) หมายถึง การใช้พืชในการบำบัดสารมลพิษทั้งสารอินทรีย์และอนินทรีย์ที่ปนเปื้อนในดิน น้ำ และอากาศ เพื่อลดอันตรายของสารมลพิษต่อมนุษย์ และสิ่งแวดล้อม เป็นวิธีการที่เป็นมิตรกับสิ่งแวดล้อม (Hanks et al., 2015)

1.5 สมมติฐาน

- 1) ความเข้มข้นของ AgNPs และระยะเวลาที่จอกได้รับ AgNPs มีผลต่อการเจริญเติบโตของจอก
- 2) จอกมีประสิทธิภาพในการบำบัดน้ำที่ปนเปื้อนด้วย AgNPs ขนาด 7 และ 50 นาโนเมตร แตกต่างกัน

1.6 ประโยชน์ที่คาดว่าจะได้รับ

- 1) ทราบถึงความสามารถของจอกในการบำบัดน้ำที่ปนเปื้อนด้วย AgNPs ที่มีขนาดต่างกัน
- 2) สามารถนำวิธีพืชน้ำมาใช้ให้เกิดประโยชน์ โดยการนำไปใช้ในการบำบัดน้ำที่ปนเปื้อนด้วย AgNPs

3) สามารถใช้เป็นแนวทางในการบำบัดน้ำที่ปนเปื้อนด้วยเทคโนโลยีที่เป็นมิตรกับสิ่งแวดล้อม
แทนการบำบัดน้ำโดยใช้สารเคมี และไม่ทำลายทัศนียภาพ

1.7 ระยะเวลาที่ดำเนินงานวิจัย

การศึกษาผลของขนาดอนุภาคที่มีผลต่อประสิทธิภาพการบำบัดน้ำที่ปนเปื้อนด้วย AgNPs โดยจาก มีระยะเวลาการทำวิจัยระหว่างเดือนกรกฎาคม ปี 2560 ถึง เดือนพฤษภาคมปี 2562 ดังแสดงในตารางที่ 1.1



ตารางที่ 1.1 แผนการดำเนินงานโครงการ

ขั้นตอนการดำเนินงาน	ปี 2560						ปี 2561						ปี 2562													
	ก.ค.	ส.ค.	ก.ย.	ต.ค.	พ.ย.	ธ.ค.	ม.ค.	ก.พ.	มี.ค.	เม.ย.	พ.ค.	มิ.ย.	ก.ค.	ส.ค.	ก.ย.	ต.ค.	พ.ย.	ธ.ค.	ม.ค.	ก.พ.	มี.ค.	เม.ย.	พ.ค.			
1) รวบรวมข้อมูลและตรวจเอกสาร																										
2) สอบโครงร่างวิจัย			▲																							
3) สังเคราะห์ AgNPs				■																						
4) ทดลองในห้องปฏิบัติการ				■	■	■																				
5) สรุปรายงานความก้าวหน้าวิจัย									▲																	
6) วิเคราะห์ผลและสรุปผล									■	■	■															
7) การเขียนเล่มวิจัย												■	■	■	■	■	■	■	■	■	■	■	■	■		
8) สอบจบ																			▲							
9) แก้ไขเล่มวิจัย																				■	■	■	■	■	■	

หมายเหตุ: ■ หมายถึง ระยะเวลาดำเนินการ

▲ หมายถึง ระหว่างการสอบ

■ หมายถึง อุปนิชั่งของการฝึกประสบการณ์วิชาชีพทางวิทยาศาสตร์สิ่งแวดล้อม

บทที่ 2

เอกสารและงานวิจัยที่เกี่ยวข้อง

ปัจจุบัน nano เทคโนโลยีมีการพัฒนาและเจริญเติบโตอย่างรวดเร็ว รวมทั้งกระบวนการที่นำโลหะหนักมาเตรียมให้อยู่ในรูปอนุภาคที่มีขนาดในระดับนาโนเมตร เพื่อนำมาใช้ประโยชน์ในด้านต่าง ๆ หนึ่งใน nano พาร์ติคิล (NPs) ชนิดโลหะหนักที่นำมาใช้อย่างแพร่หลาย คือ ชิลเวอร์ nano พาร์ติคิล (AgNPs) เนื่องจาก AgNPs มีคุณสมบัติในการยับยั้งเชื้อแบคทีเรียได้ดี เมื่อมีการใช้ AgNPs มากขึ้น ทำให้ AgNPs มีการปนเปื้อนสูงสิ่งแวดล้อมมากขึ้น ส่งผลให้เกิดความเป็นพิษต่อมนุษย์และระบบ呢เวศในน้ำ องค์การอนามัยโลก (WHO) ได้กำหนดความเข้มข้นสูงสุด (maximum contaminant level; MCL) ของชิลเวอร์ ในน้ำดื่มไว้ที่ 0.1 มิลลิกรัมต่อลิตร (EPA, 2003) นอกจากนี้ยังพบว่า ขนาดของ AgNPs มีผลต่อความเป็นพิษต่อสิ่งแวดล้อม โดยที่ AgNPs ขนาดเล็กจะมีความเป็นพิษมากกว่า AgNPs ขนาดใหญ่ (Liu et al., 2010)

2.1 ชิลเวอร์ nano พาร์ติคิล

2.1.1 ลักษณะเฉพาะของ AgNPs

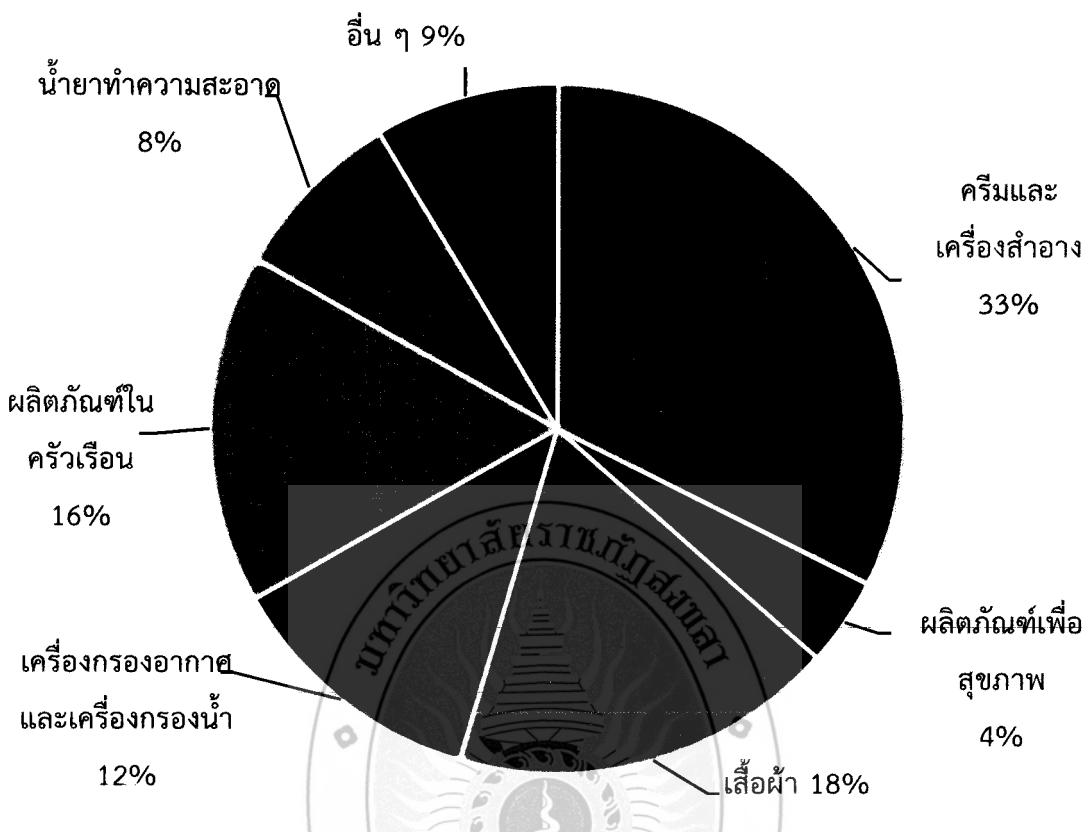
ชิลเวอร์ nano พาร์ติคิล (silver nanoparticles; AgNPs) เกิดจากการจัดเรียงตัวของชาตุชิลเวอร์ในรูปของ NPs มีขนาดอยู่ในช่วง 1-100 นาโนเมตร โดย AgNPs ไม่ละลายน้ำ (Pronk et al., 2009) แต่สามารถปลดปล่อยชิลเวอร์ออกอน (Ag^+) ได้ หลังจากเกิดปฏิกิริยาออกซิเดชัน (สุพินแสงสุข, 2550) ลักษณะทางกายภาพและเคมีของ AgNPs รวมทั้ง ขนาด รูปร่าง และพื้นที่ผิวมีผลต่อคุณสมบัติทางชีวภาพของ AgNPs โดยเฉพาะอย่างยิ่งขนาดของ AgNPs ที่พบว่าส่งผลต่อกิจกรรมทางชีวภาพของ AgNPs อีกทั้งยังมีรายงานว่า ขนาดของ AgNPs ที่สามารถผ่านเข้าสู่จุลทรรศน์ได้อย่างมีประสิทธิภาพอยู่ในช่วง 1-10 นาโนเมตร และเมื่อเปรียบเทียบความเป็นพิษต่อเซลล์แบคทีเรีย พบว่า AgNPs ที่มีขนาดเล็กกว่า มีความเป็นพิษต่อเซลล์แบคทีเรียสูงกว่า AgNPs ที่มีขนาดใหญ่กว่า เนื่องจาก AgNPs ที่มีขนาดเล็กกว่า สามารถเข้าไปในเซลล์แบคทีเรียได้ง่ายกว่า และมีพื้นที่ผิวต่อปริมาตรมากกว่า AgNPs ที่มีขนาดใหญ่กว่า ส่งผลให้มีความว่องไวในการเกิดปฏิกิริยาสูงกว่า และสามารถปลดปล่อย Ag^+ ออกมาได้สูงกว่า ทำให้เซลล์แบคทีเรียตายในที่สุด (Pal et al., 2007 ; Martinez-Castanon et al., 2008)

2.1.2 คุณสมบัติของ AgNPs

คุณสมบัติเด่นของ AgNPs คือ สามารถฆ่าเชื้อจุลทรรศได้ดี ซึ่ง AgNPs เป็นสารที่ออกฤทธิ์กว้าง สามารถฆ่าเชื้อจุลทรรศได้ทั้งจุลทรรศกรรมบางและแกรมลบ (Burrel *et al.*, 1999) โดยสามารถฆ่าเชื้อจุลทรรศที่เป็นสาเหตุของโรคได้ถึง 650 โรค ถึงแม้จะใช้ความเข้มข้นต่ำ เช่น เชื้อ *E. coli* สาเหตุของโรคท้องร่วงในเด็กเล็ก เชื้อ *Pseudomonas* spp. สาเหตุของการติดเชื้อในกระเพาะเลือด เชื้อ *Staphylococcus* spp. สาเหตุของโรคผิวหนังต่าง ๆ และเชื้อ *Salmonella* spp. สาเหตุของโรคไข้ไฟฟอยด์ เป็นต้น (Dastjerdi and Montazer., 2010) และจากการวิจัยของ Mahasawat *et al.* (2018) ซึ่งศึกษาอิทธิพลของขนาดของ AgNPs ที่บรรจุในเม็ดปีดอัลจิเนตไฮโดรเจลต่อฤทธิ์ต้านเชื้อแบคทีเรีย รวมทั้งศึกษาความเป็นพิษต่อเซลล์และต่อระบบพันธุกรรมของเม็ดปีดอัลจิเนตไฮโดรเจลที่ประกอบด้วย AgNPs โดยเริ่มจากเตรียม AgNPs ที่มีขนาดแตกต่างกัน 2 ขนาด ได้แก่ ขนาด 10 นาโนเมตร (S-AgNPs) และขนาด 50 นาโนเมตร (L-AgNPs) และนำไปบนหุ้มด้วยเม็ดปีดอัลจิเนตไฮโดรเจล พบว่า เม็ดปีดอัลจิเนตไฮโดรเจลที่ประกอบด้วย S-AgNPs มีแนวโน้มยับยั้งการเจริญเติบโตของ *E. coli* มากกว่าเม็ดปีดอัลจิเนตไฮโดรเจลที่ประกอบด้วย L-AgNPs และเม็ดปีดอัลจิเนตไฮโดรเจลที่ประกอบด้วย S-AgNPs มีความเป็นพิษต่อเซลล์ เล็กน้อย ในขณะเดียวกัน เม็ดปีดอัลจิเนตไฮโดรเจลที่ประกอบด้วย L-AgNPs ไม่มีความเป็นพิษต่อเซลล์ อย่างไรก็ตาม เม็ดปีดอัลจิเนตไฮโดรเจลที่ประกอบด้วย AgNPs เหล่านี้ โดยเฉพาะเม็ดปีดอัลจิเนตไฮโดรเจลที่ประกอบด้วย S-AgNPs สามารถนำมาใช้เป็นวัสดุชีวภาพต้านเชื้อแบคทีเรียและมีความเป็นพิษต่อเซลล์ต่ำ ดังนั้น จึงเป็นไปได้ที่จะนำ AgNPs ไปใช้เป็นส่วนผสมของผลิตภัณฑ์ต่าง ๆ เช่น เสื้อผ้า เครื่องมือทางการแพทย์ เครื่องสำอาง อุปกรณ์ทางไฟฟ้า และเครื่องใช้ในบ้าน เป็นต้น (สุพิน แสงสุข, 2550)

2.1.3 การนำมาใช้ประโยชน์

จากคุณสมบัติของ AgNPs ที่สามารถฆ่าเชื้อจุลทรรศได้ดี ทำให้ในปัจจุบันมีผลิตภัณฑ์ที่มี AgNPs เป็นส่วนประกอบมากmany ทั้งในอุตสาหกรรมอิเล็กทรอนิกส์ อุตสาหกรรมผลิตภัณฑ์อุปโภคบริโภค และอุตสาหกรรมทางการแพทย์ เป็นต้น โดยผลิตภัณฑ์ที่จำหน่ายตามห้องตลาดที่ประกอบด้วย AgNPs แสดงดังภาพที่ 2.1 นอกจากนี้ AgNPs ยังได้ถูกนำไปใช้ในการรักษาโรคมะเร็ง รวมไปถึงการกำจัดเชื้อ HIV อีกด้วย (Asharani *et al.*, 2008)



ภาพที่ 2.1 ผลิตภัณฑ์ที่จำหน่ายตามห้องตลาดที่ประกอบด้วย AgNPs

ที่มา : Fabrege et al. (2011)

2.1.4 การได้รับเข้าสู่ร่างกาย

เนื่องจาก AgNPs ถูกใช้อย่างแพร่หลาย จึงอาจทำให้ AgNPs ปนเปื้อนเข้าสู่สิ่งแวดล้อม และเข้าสู่ร่างกายมนุษย์ได้ การได้รับ AgNPs เข้าสู่ร่างกายมนุษย์นั้น อาจได้รับจากทั้งทางตรงและทางอ้อม ซึ่งการได้รับ AgNPs ทางอ้อมนั้น จะผ่านตัวกลางในสิ่งแวดล้อม เช่น น้ำ พืชผัก และดินตะกอน เป็นต้น ส่วนการได้รับ AgNPs ทางตรงนั้น มีโอกาสเกิดขึ้นจากการหายใจ ทางปาก และทางผิวหนัง ไม่ว่าจะเป็นการดื่มกินอาหาร ตลอดจนถึงการสัมผัสผลิตภัณฑ์อุปโภคบริโภคที่มี AgNPs และอาจเกิดจาก การที่ผู้ปฏิบัติงานได้รับสารเคมีเข้าสู่ร่างกายระหว่างปฏิบัติงานที่มี AgNPs รายละเอียดของการได้รับ AgNPs เข้าสู่ร่างกายและการที่เกิดขึ้น (มหาวิทยาลัยนเรศวร, 2551) แสดงดังตารางที่ 2.1

ตารางที่ 2.1 การได้รับ AgNPs เข้าสู่ร่างกายและการที่เกิดขึ้น

เส้นทางการได้รับ AgNPs เข้าสู่ร่างกาย	ลักษณะการได้รับ	อาการที่ได้รับสาร
1) ทางการหายใจ	เกิดจากการได้รับ AgNPs ในรูปแบบผง เกิดขึ้นขณะทำงานเป็นหลัก โดยผ่าน การหายใจเข้าสู่ร่างกาย	ระคายเคืองช่องจมูก อาจมีอาการไอ มีเสมหะ ทำให้เกิดโรคหลอดลมอักเสบ ได้
2) ทางปาก	เกิดขึ้นเมื่อหายใจเอา AgNPs เข้าสู่ ร่างกายผ่านทั้งทางจมูกและปากขณะ ปฏิบัติงาน	ทำให้เกิดอันตรายได้หากมีการกิน AgNPs อาการที่เกิดขึ้น ได้แก่ การ ระคายเคืองในทางเดินอาหาร เกิด คลื่นไส้อาเจียน และท้องเสียได้
3) ผิวหนัง	เกิดเมื่อสัมผัสกับ AgNPs โดยมักอยู่ใน รูปของผง AgNPs	ถ้ารับทางผิวหนัง อาจเกิดการระคาย เคือง มีผื่นขึ้น เกิดอาการอักเสบทาง ผิวหนังได้ หากได้รับต่อเนื่องเป็น เวลานาน อาจทำให้สิ่วทั้งผิวหนัง หรือตา เปลี่ยนเป็นสีเทา หรือสีน้ำ เงิน ซึ่งเรียกอาการนี้ว่า ภาวะอาร์จิเรีย (Argyria) (Wilkinson et al., 2017)
4) ทางดวงตา	มักเกิดจากการได้รับผง AgNPs ซึ่งอาจ ปนกับหรือฟุ้งกระจายเข้าสู่ดวงตา	ถ้าเข้าสู่ดวงตาจะทำให้เกิดการระคาย เคือง

ที่มา: มหาวิทยาลัยราชภัฏเรศวร (2551)

2.1.5 ความเป็นพิษของ AgNPs

ชิลเวอร์ที่มีขนาดนาโนมีความเป็นพิษมากกว่าชิลเวอร์และมีความเป็นพิษสูงกว่า
โลหะหนักอื่นที่อยู่ในรูป NPs เมื่อ AgNPs ปราศจากอยู่ในน้ำจะแตกตัวเป็นไอออนอิสระของชิลเวอร์ใน
รูป Ag^+ ซึ่งมีความเป็นพิษสูง AgNPs เป็นสารที่สามารถดูดซึม สร้างพัฒนา และทำให้เกิดสารเชิงช้อน
ตกค้างได้ง่ายในสิ่งแวดล้อม เช่น ในดินและตะกอนดิน เป็นต้น (Pronk et al., 2009) โดยค่าความ
เข้มข้นที่คาดการณ์ (predictable environmental concentration; PEC) ของ AgNPs และ
ชิลเวอร์ในสิ่งแวดล้อม แสดงดังตารางที่ 2.2 (Goswami et al., 2017)

ตารางที่ 2.2 ความเข้มข้นที่คาดการณ์ของ AgNPs ในสิ่งแวดล้อมที่แตกต่างกัน

แหล่งที่พบ	หน่วย/ประเภท	PEC ($\mu\text{g/Kg.y}$)	อ้างอิง
1) อากาศ (air)	AgNPs	$1.7-4.4 \times 10^{-3}$	Mueller and Nowack. (2008)
2) น้ำดื่ม (fresh water)	AgNPs	0.3	Mueller and Nowack. (2008)
3) ตะกอน (sediment)	Ag	0.7-2.2	Gottschalk <i>et al.</i> (2009)
4) ดิน (soil)	Ag	2.3-7.4	Gottschalk <i>et al.</i> (2009)
5) น้ำเสีย (waste water)	AgNPs	0.12-0.35	Hendren <i>et al.</i> (2013)
6) กากตะกอน (sludge)	Ag	0.38-1.5	Sun <i>et al.</i> (2014)

Bar-llan *et al.* (2009) ได้ทดสอบความเป็นพิษของ AgNPs ต่อปลา ม้าลาย (zebrafish) พบว่า AgNPs มีผลทำให้ตา ถุงลม และทางของปลา ม้าลายทำงานผิดปกติ และตัวอ่อนบางตัวมีของเหลวในหัวใจ ทำให้เกิดภาวะหัวใจล้มเหลว จากงานวิจัยของ Asharani *et al.* (2008) ศึกษาความเป็นพิษของ AgNPs ต่อตัวอ่อนของปลา ม้าลาย พบร่วมกับ AgNPs ที่มีความเป็นพิษต่อปลา ม้าลาย ทำให้อัตราการตายเพิ่มขึ้น การฟักไข่ของตัวอ่อนข้าลง ระบบไหลเวียนโลหิตช้า หัวใจหยุดเต้น และตายในที่สุด นอกจากนี้ Asharani *et al.* (2007) รายงานว่า AgNPs ส่งผลทำให้เกิดความผิดปกติของโครโมโซม ทำลาย DNA และยับยั้งการแบ่งตัวของเซลล์ของปลา ม้าลาย จากการทดลองของ Price *et al.* (2002) ได้ศึกษาการวัดปริมาณการสะสมของอนุภาคน้ำในระบบทางเดินหายใจของมนุษย์และหมู พบร่วมกับ AgNPs ที่มีขนาดเล็กกว่า 50 นาโนเมตร จะตกค้างอยู่บริเวณทางเดินหายใจส่วนบน ก่อนที่จะเข้าสู่ทางเดินหายใจส่วนใน และเข้าสู่ปอด ในขณะที่ AgNPs ที่มีขนาดต่ำกว่า 10 นาโนเมตรนั้น ไม่สามารถทำการตกค้างได้ชัดเจน อีกทั้ง Giao *et al.* (2016) รายงานว่า AgNPs ส่งผลทำให้การบ้าบัดแอบโมเมเนียมออกจากน้ำเสียลดต่ำลง เนื่องจาก AgNPs ไปยับยั้งการทำงานของจุลินทรีย์ ตั้งนั้นเมื่อ AgNPs ปนเปื้อนสู่แหล่งน้ำ จะส่งผลกระทบต่อระบบนิเวศทางน้ำและมนุษย์ ได้ในที่สุด จึงต้องมีการกำจัด AgNPs ออกจากแหล่งน้ำ ซึ่งการใช้พืชบำบัด (phytoremediation) เป็นวิธี บำบัดวิธีหนึ่งที่ได้รับความสนใจ เนื่องจากเป็นวิธีที่มีประสิทธิภาพ เป็นมิตรต่อสิ่งแวดล้อม และมีต้นทุนต่ำ

2.2 การใช้พืชบำบัดสารปนเปื้อน

การบำบัดด้วยพืช (phytoremediation) เป็นคำที่มาจากการรวมกันของภาษากรีก คือ คำว่า *phyto* หมายถึง พืช (plants) และคำที่มาจากภาษาละติน คือ *remedium* หมายถึง การฟื้นฟูหรือ การบำบัด ดังนั้น เมื่อร่วมกันเป็นคำว่า phytoremediation หมายถึง กระบวนการใช้พืชในการบำบัดสารอินทรีย์และสารอินทรีย์ต่าง ๆ ที่ปนเปื้อนในสิ่งแวดล้อม ทั้งที่อยู่ในน้ำ อากาศ ดิน และดินตะกอน และส่งผลให้เกิดภาระมลพิษ ตัวอย่างสารปนเปื้อนต่าง ๆ เช่น ยาปราบศัตรูพืช ยาฆ่า

แมลง ตัวทำลายอินทรีย์ น้ำมันปิโตรเลียม โลหะหนัก วัตถุระเบิด และสารกัมมันตรังสี เป็นต้น กระบวนการบำบัดโดยใช้พืชเป็นทางเลือกที่อาศัยความสามารถของพืชที่สามารถต่อสารปนเปื้อนได้ ซึ่งพืชบางชนิดสามารถทนโลหะหนักได้ในปริมาณสูง จึงสามารถนำมาใช้บำบัดโลหะหนักที่ปนเปื้อนในสิ่งแวดล้อมได้ วิธีการนี้เป็นอีกวิธีหนึ่งที่มีประสิทธิภาพในการกำจัดสารพิษ สามารถนำไปใช้ในพื้นที่ที่มีการปนเปื้อนในบริเวณกว้างได้ มีค่าใช้จ่ายน้อย เป็นเทคโนโลยีสะอาด ปลอดภัย และเป็นมิตรต่อสิ่งแวดล้อม มีผลกระทบต่อมนุษย์และสิ่งแวดล้อมน้อย โดยทั่วไปพืชจะมีการดูดซึมสารไปสะสมไว้ในส่วนต่าง ๆ ของต้นพืช เช่น ใน ลำต้น และราก เป็นต้น แต่มวลชีวภาพ (biomass) ที่ได้จากการใช้พืชในการบำบัดจะมีสารพิษสะสมอยู่กลอยเป็นขยะอันตราย จึงต้องนำมากำจัดอย่างถูกวิธี เช่น อาจนำมาเผา หรือใช้จุลินทรีย์ย่อยสลาย เป็นต้น (ลัดดาวัลย์ ผู้ชี้ทาง 2550 และดวงรัตน์ อินทร์, 2554)

2.2.1 ชนิดของพืชที่ใช้บำบัดโลหะหนัก

เทคโนโลยีการบำบัดดินหรือน้ำที่ปนเปื้อนด้วยโลหะหนักโดยใช้พืช เป็นการอาศัยความสามารถของพืชที่ทนต่อลอหะหนักและสามารถสะสูมโลหะหนักได้ พืชบางชนิดสามารถสะสูมโลหะหนักได้ในปริมาณมาก โดยเฉพาะในลำต้นและใบ ซึ่งพืชสามารถทนต่อลอหะหนักได้หลายชนิด เช่น สังกะสี นิกเกิล และเชเลเนียม เป็นต้น ชนิดของพืชที่ใช้บำบัดโลหะหนัก (มาลียา เครือตรากุ, 2553) มีดังนี้

1) เอกซ์คลูเดอร์ (excluder) เป็นพืชที่มีความสามารถในการสะสูมโลหะหนักได้น้อย หรือสะสูมได้เฉพาะส่วนรากเท่านั้น แม้ในสารละลายจะมีโลหะหนักสูง พืชเหล่านี้จะมีกลไกหลีกเลี่ยง การดูดซึมโลหะหนัก แต่หากมีโลหะหนักเป็นปริมาณมาก อาจก่อให้เกิดความเป็นพิษต่อพืช

2) แอคคิวเมเตอร์ (accumulator) เป็นพืชที่มีความสามารถในการสะสูมโลหะหนักได้ พืชเหล่านี้จะมีกลไกทำลายพิษในเนื้อเยื่อราก ลำต้น และใบ ซึ่งเมื่อปริมาณโลหะหนักในสารละลายสูงขึ้น พืชจะสะสูมมากขึ้นจนมีความเข้มข้นคงที่ (ภาวะสมดุล)

3) ไฮเปอร์แอคคิวเมเตอร์ (hyperaccumulator) เป็นพืชที่มีความสามารถสะสูมโลหะหนักได้ในปริมาณสูงมาก พืชจำพวกนี้สามารถถ่ายโลหะหนักจากอากาศไปสะสูมในส่วนต้นได้มาก มักมีลักษณะของลำต้นและใบขนาดเล็ก เนื่องจากมีกลไกในการลดความเป็นพิษในเนื้อเยื่อของพืช ซึ่งพืชเหล่านี้สามารถเจริญเติบโตในดินที่มีโลหะหนักสูง (Baker, 1981)

2.2.2 การคัดเลือกพืชเพื่อใช้ในการบำบัด

ปัจจัยที่สำคัญประการหนึ่งในการใช้พืชบำบัดโลหะหนัก คือ การคัดเลือกพันธุ์ที่ใช้ในการดูดซึมโลหะหนักที่ปนเปื้อนอยู่ในสิ่งแวดล้อมให้เหมาะสม เนื่องจากพืชแต่ละชนิดมีความสามารถและกลไกในการกำจัดสารปนเปื้อนที่แตกต่างกัน ดังนั้นจึงต้องมีการคัดเลือกชนิดพืชที่เหมาะสม ซึ่งคุณสมบัติ

ของพืชที่นำมาใช้ในการบำบัดสารมลพิษที่ปนเปื้อนสามารถสรุปได้ดังนี้ (สิริพร บริรักษ์วิสูตรศักดิ์, 2549 และ วงศ์ผกา จำปา, 2551)

- 1) เป็นพืชที่สามารถตอบโจءได้ง่าย เป็นพืชท้องถิ่นหรือเป็นพืชที่สามารถเจริญเติบโตได้ดี ในสภาพแวดล้อมที่อาศัยอยู่
- 2) เป็นพืชที่มีความสามารถในการดูดซึมและเก็บสะสมสารที่พืชต้องการบำบัดต่าง ๆ ได้
- 3) เป็นพืชที่สามารถทนต่อการเปลี่ยนแปลงความเข้มข้นของสารมลพิษได้ค่อนข้างสูง
- 4) เป็นพืชที่มีลักษณะระบบรากฟอย (fibrous roots system)
- 5) เป็นพืชที่ความสามารถในการส่งผ่านออกซิเจนได้ดี เนื่องจากต้องมีการนำออกซิเจนจากบรรยากาศส่งผ่านลงมาตามใบ ลำต้น และระบบรากต่าง ๆ
- 6) เป็นพืชที่สามารถเอาออกจากระบบหรือสิ่งแวดล้อมได้ง่าย ซึ่งทำได้โดยการเก็บเกี่ยว การนำพืชมาใช้ในการบำบัดดินและน้ำที่ปนเปื้อนโลหะหนักรักนั้น เป็นวิธีหนึ่งที่ได้รับความนิยม ในปัจจุบันมีการนำพืชมาบำบัดน้ำที่ปนเปื้อนโลหะหนักต่าง ๆ เช่น ซิลเวอร์ (Ag), แคดเมียม (Cd), โคโรเมียม (Cr), ทองแดง (Cu), ปรอท (Hg), นิกเกิล (Ni), ตะกั่ว (Pb), และสังกะสี (Zn) (Odjegba and Fasidi., 2004) เนื่องจากพืชสามารถลดปริมาณไอออนของโลหะหนักได้ดี มีค่าใช้จ่ายต่ำผลกระทบต่อสิ่งแวดล้อมน้อย และเป็นมิตรกับสิ่งแวดล้อม แต่อย่างไรก็ตาม การใช้พืชบำบัดโลหะหนักจะใช้กับพื้นที่ที่มีการบ่นปีอนของโลหะหนักไม่สูงมากนักและไม่เกินความสามารถในการทนต่อโลหะหนักของพืช เพื่อให้พืชยังสามารถเจริญเติบโตได้ (วงศ์ผกา จำปา, 2551)

2.3 ข้อมูลทั่วไปของพืชน้ำ

พืชน้ำหรือพรรณไม้น้ำตรงกับภาษาอังกฤษว่า aquatic plant, water plant หรือ hydrophyte หมายถึง พืชจำพวกที่ขึ้นอยู่ในน้ำ โดยที่พืชชนิดนั้นอาจจะเจริญเติบโตโดยตามผิวน้ำ เติบโตอยู่ใต้ผิวน้ำ โผล่ขึ้นเหนือน้ำหรืออยู่ตามชายน้ำ ริมตลิ่ง และยังรวมถึงพืชที่ชอบเจริญเติบโตอยู่ตามแหล่งที่มีน้ำขังและ ดังนั้นจึงมีการจัดจำแนกพืชน้ำได้หลายประเภทดังนี้ (สุชาดา ศรีเพ็ญ, 2542)

2.3.1 การจำแนกชนิดของพืชน้ำ

- 1) การจำแนกตามแหล่งน้ำที่พืชขึ้นอยู่ได้
 - 1.1) พืชที่ขึ้นอยู่ในแหล่งน้ำจืด (limnophyte) เช่น พבתามคลอง หนอง บึง อ่างเก็บน้ำ ทะเลสาบ หรือพรุน้ำจืด เป็นต้น
 - 1.2) พืชที่ขึ้นอยู่ในแหล่งน้ำกร่อยหรือน้ำเค็ม (halophyte) เช่น พบทามปากแม่น้ำป่าชายเลน และในทะเล เป็นต้น

2) การจำแนกตามหลักการจำแนกอาณาจักรพืช

- 2.1) พืชกลุ่มสาหร่าย (algae) ประกอบด้วย กลุ่มสาหร่ายสีเขียว กลุ่มสาหร่ายสีน้ำตาล และกลุ่มสาหร่ายสีทอง
- 2.2) พืชกลุ่มไบรอไฟต์ (bryophyte) ประกอบด้วย กลุ่มนอสส์ (bryophyte) และลิเวอร์วิค (marchantiophyta)
- 2.3) พืชกลุ่มเฟิร์น ประกอบด้วยเฟิร์นชนิดต่าง ๆ ทั้งที่ลอยน้ำ ขึ้นตามริมน้ำหรือขึ้นใต้น้ำ
- 2.4) พืชเมล็ดจะมีเฉพาะจำพวกพืชเมล็ดออก ซึ่งจะเป็นกลุ่มพืชที่มีความหลากหลายมากที่สุดในอาณาจักรพืช เป็นกลุ่มพืชที่มีขนาดใหญ่ ทั้งชนิดพืชใบเลี้ยงเดี่ยวและพืชใบเลี้ยงคู่

3) การจำแนกตามลักษณะทางนิเวศวิทยา

- 3.1) พืชใต้น้ำ (submerged plants) เป็นพืชน้ำประเภทที่มีการเจริญเติบโตอยู่ใต้น้ำทั้งหมด อาจจะมีหรือไม่มีรากยึดกับพื้นดินใต้น้ำก็ได้ บางชนิดทั้งรากและลำต้นเจริญอยู่ในพื้นดินใต้น้ำ มีลำต้นประสาน และใบเจริญอยู่ใต้น้ำ เช่น สาหร่ายหางกระรอก เป็นต้น
- 3.2) พืชโผล่เหนือน้ำ (emerged plants) หมายถึง พืชที่มีส่วนรากและลำต้นเจริญบนดินใต้น้ำในระยะหนึ่ง และเมื่อเจริญเติบโตจึงมีบางส่วนโผล่พ้นเหนือน้ำ เช่น บัวชนิดต่าง ๆ และสาหร่ายญี่ปุ่น เป็นต้น
- 3.3) พืชลอยน้ำ (floating plants) เป็นพืชน้ำประเภทที่เจริญเติบโตที่บริเวณผิวน้ำ โดยจะลอยอยู่ที่ระดับน้ำ มีรากลอยอยู่ในน้ำ ส่วนต้น ใบ และดอกจะเจริญเติบโตบริเวณปริมาณ้ำ บางส่วนจะลอยอยู่เหนือน้ำ และมีโครงสร้างพิเศษหรือมีเนื้อเยื่อที่ประกอบด้วยช่องอากาศขนาดใหญ่ เรียกว่า แอเรนคิมา (aerenchyma) ถ้าอยู่ในน้ำตื้น รากอาจจะหยั่งยึดพื้นดินใต้น้ำได้ เช่น พากแหนต่าง ๆ จอก และผักตะบูชา เป็นต้น
- 3.4) พืชชายน้ำ (marginol plants) เป็นพืชน้ำที่เจริญอยู่ตามชายน้ำ ริมตึ่ง ชายคลอง หนองน้ำ หนองน้ำ หรือทะเลสาบ ลักษณะโดยทั่วไปมีรากและลำต้นเจริญอยู่ใต้น้ำ บางส่วนของต้น ใบ และดอกเจริญเหนือน้ำ พืชน้ำประเภทนี้จะมีลักษณะใกล้เคียงกับจำพวกพืชที่โผล่เหนือน้ำมาก

2.3.2 ปัจจัยที่มีผลต่อการเจริญเติบโตของพืชน้ำ

โดยทั่วไปแล้วพืชน้ำสามารถเจริญเติบโตได้ดี และสามารถแพร่กระจายไปตามแหล่งน้ำได้อย่างรวดเร็ว ซึ่งเกิดจากปัจจัยต่าง ๆ ที่เข้ามาเกี่ยวข้อง โดยปัจจัยที่มีความสำคัญต่อพืชน้ำ มีดังนี้ (สุชาดา ศรีเพ็ญ, 2542)

1) แสง (light) เป็นปัจจัยที่มีความสำคัญกับพืชน้ำ มีส่วนเกี่ยวข้องกับการเจริญเติบโต และการเปลี่ยนแปลงรูปร่างลักษณะของพืชน้ำ ซึ่งแสงมีผลต่อการเกิดปฏิกิริยาการสังเคราะห์ด้วยแสงในการเจริญเติบโตของพืช ส่วนใหญ่พืชแต่ละชนิดมีความต้องการปริมาณแสงที่แตกต่างกัน โดยสามารถแบ่งเขตการได้รับปริมาณของแสงได้ดังนี้

- 1.1) ยูโฟติก โซน (euphotic zone) เป็นเขตที่พืชได้รับแสงสว่างมาก พืชที่อยู่ในบริเวณนี้จะได้รับแสงที่เพียงพอ และส่วนใหญ่เป็นพืชที่มีขนาดใหญ่
- 1.2) ดิสโฟติก โซน (dysphotic zone) เป็นเขตที่พืชได้รับแสงสว่างน้อยกว่า ยูโฟติก โซน พืชบริเวณนี้มีขนาดเล็ก
- 1.3) เอโฟติก โซน (aphotic zone) เป็นเขตที่มีแสงสว่างไม่เพียงพอต่อการเจริญเติบโตของพืช ซึ่งเป็นเขตที่แสงส่องไปไม่ถึง โดยสิ่งมีชีวิตที่เจริญเติบโตได้ในบริเวณนี้ มักเป็นพืชจำพวกที่ไม่สามารถสังเคราะห์ด้วยแสงได้

2) อุณหภูมิ (temperature) เป็นปัจจัยที่มีความสำคัญกับพืชน้ำ เช่นกัน เนื่องจากพืchner้าแต่ละชนิดสามารถเจริญเติบโตได้ในอุณหภูมิที่แตกต่างกัน คือ พืchner้าบางชนิดเจริญเติบโตได้ดีในน้ำที่มีอุณหภูมิสูง โดยทั่วไปพืชสามารถเจริญเติบโตได้ที่อุณหภูมิระหว่าง 25-29 องศาเซลเซียส

3) ปริมาณก๊าซ (gas content) ก๊าซที่มีความสำคัญต่อการเจริญเติบโตของพืchner้า คือ ก๊าซออกซิเจน และก๊าซคาร์บอนไดออกไซด์ เนื่องจากในตอนกลางคืนพืชจะใช้ออกซิเจนในการหายใจ และคายคาร์บอนไดออกไซด์ออกมาน้ำ ส่วนในตอนกลางวันพืชใช้ก๊าซคาร์บอนไดออกไซด์ในการสังเคราะห์ด้วยแสง และจะคายออกซิเจนให้กับแหล่งน้ำ ซึ่งจะเป็นประโยชน์กับสัตว์น้ำต่าง ๆ โดยพืchner้าจะเจริญเติบโตได้ดีในน้ำที่มีปริมาณก๊าซคาร์บอนไดออกไซด์ค่อนข้างสูง ประมาณ 5-15 มิลลิกรัม ต่อลิตร แต่ถ้ามีปริมาณที่สูงกว่า 60 มิลลิกรัมต่อลิตร อาจจะเป็นอันตรายต่อสัตว์น้ำที่อาศัยอยู่ในแหล่งน้ำ เช่น ปลาและสัตว์น้ำ เป็นต้น

4) ความกระด้างของน้ำ (hardness) พืchner้าแต่ละชนิดชอบความกระด้างของน้ำที่แตกต่างกัน บางชนิดชอบน้ำที่มีลักษณะเป็นน้ำกระด้างเล็กน้อยหรือกระด้างปานกลาง

5) ความเป็นกรด-ด่างของน้ำ (pH) จะมีความสัมพันธ์กับความกระด้างของน้ำ น้ำควรมีค่าความเป็นกรด-ด่างที่เป็นกลาง ซึ่งถ้ามีความเป็นกรด-ด่างต่ำจะส่งผลต่อการเจริญเติบโตของพืchner้า โดยทั่วไปพืchner้าส่วนใหญ่จะเจริญเติบโตได้ดีในน้ำที่มีค่าความเป็นกรด-ด่างระหว่าง 6.5 - 7.4

6) ความชุ่มของน้ำ (turbidity) เป็นปัจจัยที่เป็นอุปสรรคต่อการเจริญเติบโตของพืchner้า เนื่องจากน้ำที่มีความชุ่มมากจะมีสารแขวนลอยในน้ำมาก ซึ่งจะปิดกั้นไม่ให้แสงสว่างส่องลงมาได้ลึก ทำให้พืชใต้น้ำได้รับแสงสว่างไม่เต็มที่ ซึ่งจะลดการเกิดปฏิกิริยาสังเคราะห์ด้วยแสงของพืchner้า ทำให้พืชไม่สามารถเจริญเติบโตได้และอาจจะเกิดการเน่าตายได้

7) ธาตุอาหารในน้ำ (nutrients) เป็นปัจจัยที่จำเป็นต่อการเจริญเติบโตของพืชน้ำทุกประเภท ไม่ว่าจะเป็นพืชลอยน้ำ พืชชายน้ำ และพืชใต้น้ำ โดยทั่วไปพืชน้ำจะเจริญเติบโตได้ดีในแหล่งน้ำที่มีแร่ธาตุอาหารหลักที่จำเป็นต่อกระบวนการเจริญเติบโตของพืช เช่น ในไตรเจน (N) และฟอสฟอรัส (P) เป็นต้น

8) สภาพของพื้นดินใต้น้ำ (natural of substratum) เป็นลักษณะของพื้นดินใต้น้ำ อาจเป็นทราย หิน ดิน โคลน หรือซากเน่าเปื่อยของพืชที่ทับถมกัน ซึ่งลักษณะดังกล่าวจะมีผลต่อพืชน้ำไม่ว่าจะเป็นต่องานหรือต่อการเจริญเติบโตของพืช

9) การเคลื่อนที่ของน้ำ (movement of water) เป็นปัจจัยที่มีผลต่อลักษณะของแหล่งน้ำที่พืชน้ำอาศัยอยู่ ซึ่งการเคลื่อนที่ของน้ำเกิดจากกระแสลม ทำให้เกิดการหมุนเวียนของน้ำ ส่งผลให้เกิดการไหลของกระแสน้ำ โดยทั่วไปพืชน้ำบางชนิดอาจชอบขึ้นในแหล่งน้ำที่มีน้ำไหลเพื่อที่จะได้รับแร่ธาตุและกําชที่มากับกระแสน้ำ ซึ่งพืชน้ำลักษณะนี้จะมีรากยึดแน่นกับผิวดิน ในมักบอบบาง และพลิ้วไปตามกระแสน้ำได้ เช่น พืชใต้น้ำ แต่พืชน้ำบางชนิดอาจชอบขึ้นในแหล่งน้ำที่มีน้ำนิ่ง เพื่อที่จะได้รับแสงได้อย่างเต็มที่ แต่พืชน้ำลักษณะนี้ มักมีใบที่เประบาง และฉีกขาดได้ง่าย เช่น สาหร่ายพุ่งชะโด (*Ceratophyllum demersum*) เป็นต้น

2.3.3 ประโยชน์ของพืชน้ำ

พืชน้ำมีประโยชน์มากมายหลายด้านทั้งทางตรงและทางอ้อม เช่น มีบทบาทต่อระบบนิเวศน์ในแหล่งน้ำและมีบทบาทต่อวิถีชีวิตของมนุษย์ เป็นต้น ดังรายละเอียดต่อไปนี้ (สุชาดา ศรีเพ็ญ, 2542)

1) สร้างออกซิเจนให้กับแหล่งน้ำ เป็นการเพิ่มกําชออกซิเจนให้กับปลาและสัตว์น้ำอื่น ๆ โดยพืชจะนำกําชคาร์บอนไดออกไซด์ไปใช้ในกระบวนการสังเคราะห์ด้วยแสงและปล่อยกําชออกซิเจนออกมาน้ำ

2) เป็นแหล่งที่อยู่อาศัยของปลาและสัตว์น้ำนานาชนิด รวมทั้งเป็นแหล่งวางไข่และแหล่งเลี้ยงลูกของสัตว์น้ำหลาย ๆ ชนิด

3) เป็นแหล่งอาหารของมนุษย์และสัตว์โดยตรง เช่น ข้าว ผักบุ้ง ไข่น้ำ บัว และกระเจี๊ยบ เป็นต้น

4) เป็นประโยชน์ในการบำบัดน้ำเสีย เนื่องจากพืชสามารถดูดซึมธาตุอาหารต่าง ๆ ได้เป็นอย่างดี พืชที่นิยมนำมาใช้บำบัดน้ำเสีย เช่น ผักตบชวา และธูปฤๅษี เป็นต้น

5) สร้างทัศนียภาพที่สวยงามให้แก่แหล่งน้ำ เช่น แม่น้ำและทะเลสาบ เป็นต้น

2.3.4 โภชของพืชน้ำ

พืชน้ำมีประโยชน์มากหลายด้าน แต่หากมีปริมาณมากเกินไปในแหล่งน้ำ อาจทำให้เกิดผลเสียต่อไปนี้ (วงศ์พกฯ จำปा, 2551)

- 1) เป็นปัจจัยต่อการไหลของน้ำ เนื่องจากพืชไปปิดกั้นทางการไหลของน้ำ ซึ่งจะเป็นอุปสรรคต่อการคมนาคมและการระบายน้ำ ส่งผลให้แหล่งน้ำดืดเขิน
- 2) ส่งผลให้แหล่งน้ำเน่าเสีย เนื่องจากการขยายพันธุ์อย่างรวดเร็วของพืช ซึ่งเมื่อพืชตายแบคทีเรียจะmanyอย่างสลาย ทำให้ก้าซอกซิเจนในน้ำลดลงอย่างรวดเร็ว ซึ่งก่อให้เกิดน้ำเน่าเสีย
- 3) เป็นอุปสรรคต่อการประมง เมื่อพืชในแหล่งน้ำมีปริมาณมากเกินไป ทำให้พืชมีการดูดซึมธาตุอาหารต่าง ๆ ได้อย่างรวดเร็ว ส่งผลให้สัตวน้ำไม่สามารถเอาแร่ธาตุไปใช้ได้และอาจทำให้สัตว์ไม่สามารถดำเนินชีวิตอยู่ต่อไปได้
- 4) เป็นอันตรายต่อสัตวน้ำวัยอ่อน เนื่องจากพืชนำบางชนิดมีพิษและร้ายข้าวเหนียวจะมีถุงขนาดเล็กที่โคนใบอยู่จับแมลงแพลงก์ตอนและลูกปลาเป็นอาหาร

2.4 จอก

จอก (*Pistia stratiotes* L.) เป็นพืชน้ำชนิดหนึ่งที่อยู่ในวงศ์บอน เป็นพืชลอยน้ำ เช่นเดียวกับผักตะบัว (ภาพที่ 2.2) จอกมีชื่อเรียกต่าง ๆ ดังต่อไปนี้ (สุชาดา ศรีเพ็ญ, 2542)

ชื่อสามัญ: water lettuce, shell flower

ชื่อวิทยาศาสตร์: *Pistia stratiotes* Linn

ชื่อวงศ์: ARACEAE

ชื่ออื่น ๆ: จอก (ภาคกลาง), กากอก (ภาคเหนือ), ผักกอก (เชียงใหม่)



ภาพที่ 2.2 ลักษณะทั่วไปของจอก

2.4.1 ลักษณะทางพฤกษาศาสตร์

จาก เป็นพืชชนิดหนึ่งที่ลอยอยู่บนผวน้ำและเริญเดบโตติดกันเป็นกลุ่ม โดยจัดเป็นวัชพืชน้ำข้าดเล็ก มีอายุปีนพืช 2-3 ปี และเป็นพืชน้ำที่ชอบแสงแดดจัด ชอบน้ำจืด สามารถพัฒนาตัวตามแหล่งน้ำที่ไป เช่น ลำคลอง หนองน้ำ นาข้าว และที่มีน้ำซึ่ง เป็นต้น พบรดีทั้งในน้ำตื้น น้ำลึก น้ำนิ่ง และน้ำไหลในหลายฤดู สามารถขยายพันธุ์ได้ด้วยการขยายพันธุ์ด้วยไหหลหรือการแยกต้นอ่อน รวมทั้งการอาศัยเมล็ด ซึ่งจะก่อให้มีลักษณะทางพฤกษาศาสตร์ดังนี้ (สุชาดา ศรีเพ็ญ, 2542)

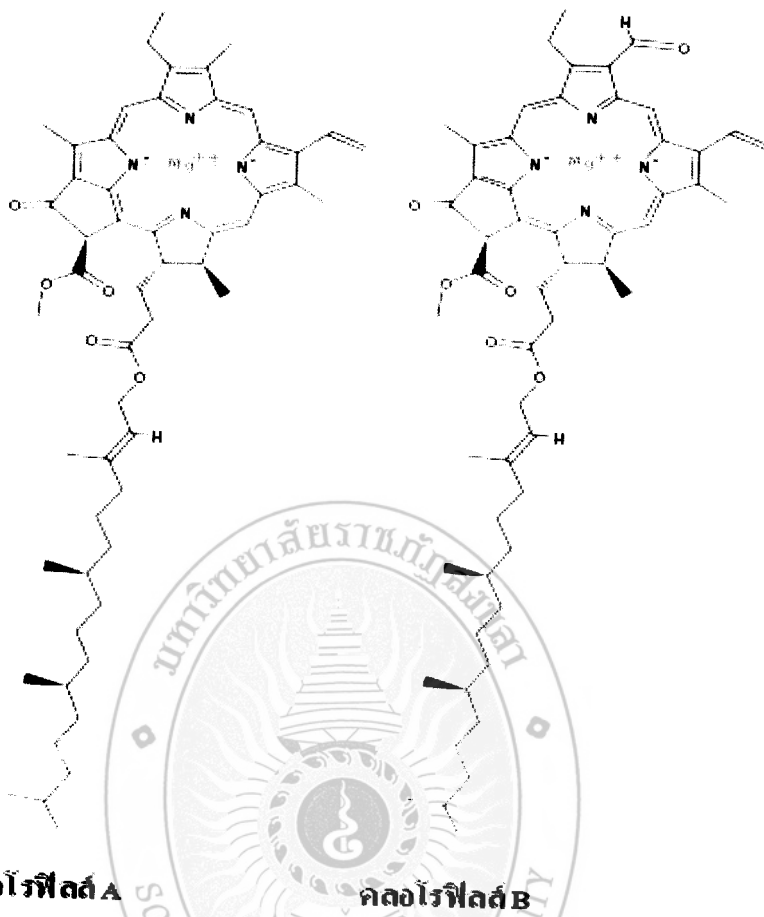
- 1) ลำต้น: มีลักษณะอ่อนน้ำ เป็นกอคลอยน้ำและมีลักษณะที่ทอดนานไปกับผวน้ำ ลำต้นมีความสูงประมาณ 2.5-10 เซนติเมตร ซึ่งลำต้นทำหน้าที่ขยายพันธุ์ เกิดเป็นต้นใหม่ โดยเกิดจากโคนต้นและเกิดบนไหหล
- 2) ราก: เป็นลักษณะระบบ rakฟอย (fibrous roots system) และระบบ rakแก้วเป็นจำนวนมาก รากจะเกิดใต้กอใบอยู่เป็นจุดๆ ๆ
- 3) กอต้น: ประกอบด้วยกลุ่มของใบเรียงกันเป็นวงรอบเรียงลำต้นสัน ๆ โดยที่กอต้นจะคลอยน้ำได้
- 4) ใบ: เป็นใบเดี่ยว เกิดบริเวณส่วนโคนของลำต้นเรียงเป็นชั้น ๆ ไม่มีก้านใบ รูปร่างใบมีลักษณะที่ไม่แน่นอน เช่น เป็นรูปปี รูปไข่กลับ และรูปใบพัด เป็นต้น ซึ่งโดยส่วนใหญ่เป็นรูปสามเหลี่ยมบริเวณขอบใบเรียงกันเป็นชั้น ซึ่งปกคลุมแผ่นใบทั้งสองด้าน โดยที่ใบมีความยาวและความกว้างประมาณ 10-25 เซนติเมตร บริเวณฐานใบจะนุ่มคล้ายพองน้ำ และใบมีลักษณะอ่อนนุ่มคล้ายกับพองน้ำช่วยให้ลอยน้ำได้
- 5) ดอก: เป็นช่อขนาดเล็กอยู่ต่างกางต้น ออกดอกตามโคนซอกใบ ก้านช่อดอกสั้นมีสีเขียวอ่อน และมีแผ่นสีเขียวอ่อนขาวห่อหุ้มดอกไว้ ด้านนอกมีขนละเอียดปกคลุม มีโครงสร้างช่อดอกยาวประมาณ 1.2-1.5 เซนติเมตร ดอกด้านบนมีขนละเอียดปกคลุมช่อดอก ช่อดอกเพศผู้อยู่ตอนบน มีประมาณ 3-8 ดอก ส่วนช่อดอกเพศเมียอยู่ตอนล่างมีโครงสร้างช่อดอก ภายในดอกมีรังไข่ ซึ่งมีขาอ่อนหลายใบ ดอกเพศผู้มีเกสร 4-8 อันติดต่อกัน ดอกจะออกจะไม่มีกลีบดอกและกลีบเลี้ยง
- 6) ผล: มีลักษณะเป็นแผ่นขาว ๆ หรือเป็นชนิดแบคแครท (baccate) ซึ่งมีกาบหรือใบประดับสีเขียวอ่อนติดอยู่ ภายในผลจะมีเมล็ดอยู่ประมาณ 2-3 เมล็ด มีสีน้ำตาลอ่อน ลักษณะกลมยาวและมีรอยย่น

2.4.2 ประโยชน์ของจอก

จอกเป็นพืชน้ำที่สามารถนำมาใช้ประโยชน์ได้หลายด้าน ทั้งเป็นสมุนไพรขับปัสสาวะ รักษาโรคโภ吟เรีย หัด ขับเสมหะ และโรคผิวหนัง นำมาทำเป็นปุ๋ยหมัก ใช้ประดับตู้เสียงปลา เป็นที่หลบบังให้กับปลาขนาดเล็กและลูกปลาได้ และต้นอ่อนของจอกสามารถใช้เป็นอาหารสำหรับเลี้ยงสัตว์ เช่น หมู เป็ด และปลา เป็นต้น (สุชาดา ศรีเพ็ญ, 2542)

2.5 คลอโรฟิลล์

คลอโรฟิลล์ (chlorophyll) เป็นรงค์วัตถุ (pigment) สีเขียวที่มีขนาดเล็กมาก อยู่ในคลอโรพลาสต์ (chloroplast) จะพบได้ในส่วนที่มีสีเขียวของพืชและสาหร่ายทุกชนิด รวมทั้งในแบคทีเรียบางชนิด คลอโรฟิลล์มีความสำคัญในกระบวนการสังเคราะห์ด้วยแสง (photosynthesis) ของพืชเป็นอย่างมาก เนื่องจากเป็นโมเลกุลที่ทำหน้าที่รับพลังงานจากดวงอาทิตย์มาใช้ในกระบวนการสังเคราะห์ด้วยแสงเพื่อสร้างสารอินทรีย์ คลอโรฟิลล์สามารถดูดกลืนช่วงคลื่นแสงสีฟ้าและสีแดงได้ดี แต่ดูดกลืนช่วงคลื่นแสงสีเหลืองและสีแดงได้น้อย ทำให้แสงสีเขียวสะท้อนออกมามาก ส่งผลให้คลอโรฟิลล์ มีสีเขียว ในธรรมชาติมีคลอโรฟิลล์อยู่หลายชนิด แต่คลอโรฟิลล์หลักที่พบ คือ คลอโรฟิลล์ เอ (chlorophyll a) และคลอโรฟิลล์ บี (chlorophyll b) ซึ่งคลอโรฟิลล์แต่ละชนิดจะมีโครงสร้างโมเลกุลหลักเหมือนกัน คือ ประกอบไปด้วยวงแหวนไพรอล (pyrrole) จำนวน 4 วง แต่จะมีโมเลกุลของโซ่ข้าง (side chain) ต่างกัน คลอโรฟิลล์ เอ และคลอโรฟิลล์ บี จะมีโซ่ข้างที่วงแหวนไพรอล ตำแหน่งที่ 3 แตกต่างกัน (ภาพที่ 2.3) โดยคลอโรฟิลล์ เอ จะเป็นหมู่เมทธิล ($-CH_3$) ในขณะที่คลอโรฟิลล์ บี มีโซ่ข้างเป็นหมู่อัลกิโอล ($-OH$) นอกจากนี้ การที่โครงสร้างโมเลกุลของคลอโรฟิลล์ เอ และคลอโรฟิลล์ บี แตกต่างกัน ทำให้มีการดูดกลืนแสงต่างกัน คลอโรฟิลล์ เอ จะมีสีเขียวเข้มมากกว่า คลอโรฟิลล์ บี โดยทั่วไปพืชจะมีอัตราส่วนคลอโรฟิลล์ เอ : คลอโรฟิลล์ บี ที่ 3:1 ซึ่งคลอโรฟิลล์ เอ จะเป็นโมเลกุลหลัก (principle pigment) ในกระบวนการสังเคราะห์ด้วยแสง ในขณะที่คลอโรฟิลล์ บี จะช่วยให้กระบวนการสังเคราะห์ด้วยแสงเกิดได้ดีขึ้น (accessory pigment) ดังนั้น ถ้าพืชขาดคลอโรฟิลล์ เอ จะไม่สามารถเกิดกระบวนการสังเคราะห์ด้วยแสงได้ ซึ่งความแตกต่างของคลอโรฟิลล์ เอ และคลอโรฟิลล์ บี แสดงดังตารางที่ 2.3 (ภาควิชี พระประเสริฐ, 2550)



ภาพที่ 2.3 โครงสร้างของคลอรอฟิลล์ เอ และคลอรอฟิลล์ บี
ที่มา: ภาคภูมิ พระประเสริฐ (2550)

ตารางที่ 2.3 ความแตกต่างระหว่างคลอร์ฟิลล์ เอ และคลอร์ฟิลล์ บี

พารามิเตอร์	คลอโรฟิลล์ เอ	คลอโรฟิลล์ บี
1) หน้าที่ในกระบวนการสังเคราะห์ด้วยแสง	รงค์วัตถุหลัก (principal pigment)	รงค์วัตถุเสริม (accessory pigment)
2) ช่วงการดูดกลืนแสงที่ดี	430 nm (สีฟ้า) 662 nm (สีแดง)	470 nm (สีฟ้า)
3) สีที่มองเห็น	สีเขียวเข้ม	สีเขียวอ่อน
4) โครงสร้างตำแหน่งที่ 3 (Carbon C-3) ของวงแหวนไฟโรล	มีหมู่เมทธิล (methyl group)	มีหมู่แอลดีไฮด์ (aldehyde group)
5) สูตรเคมี	$C_{55}H_{72}MgN_4O_5$	$C_{55}H_{70}MgN_4O_6$

ตารางที่ 2.3 ความแตกต่างระหว่างคลอโรฟิลล์ เอ และคลอโรฟิลล์ บี (ต่อ)

พารามิเตอร์	คลอโรฟิลล์ เอ	คลอโรฟิลล์ บี
6) น้ำหนักโมเลกุล	839.51 กรัมต่อมोล	907.49 กรัมต่อมोล
7) สิ่งมีชีวิตที่พบ	พืช สาหร่าย และสาหร่ายสีเขียว แกรมน้ำเงิน (cyanobacteria)	พืชและสาหร่ายสีเขียว
8) อัตราส่วนปริมาณที่พบ	¾ ส่วน	¼ ส่วน
9) การละลายในตัวทำละลาย	ละลายได้ในตัวทำละลายที่ไม่มีข้าว	ละลายได้ในตัวทำละลายที่มีข้าว

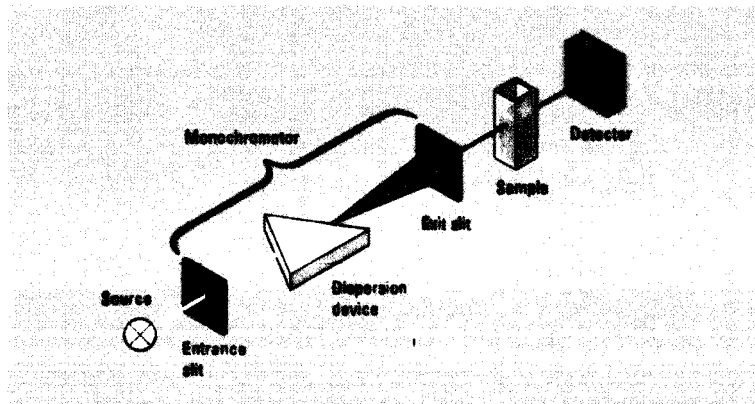
ที่มา: ภาควิชานาโนเทคโนโลยีและสื่อสารมวลชน มหาวิทยาลัยราชภัฏเชียงใหม่ (2550)

2.6 เครื่องวัดการดูดกลืนแสง

การศึกษาครั้งนี้ใช้เครื่องวัดการดูดกลืนแสง (UV-Visible spectrophotometer) ในการวิเคราะห์ปริมาณ AgNPs รวมทั้งปริมาณคลอโรฟิลล์ เอ และคลอโรฟิลล์ บี ในจาก ซึ่งเครื่อง UV- Visible spectrophotometer มีหลักการทำงาน ดังนี้ (Glasswarechemical, 2014)

เครื่อง UV-Visible spectrophotometer เป็นเครื่องมือที่ใช้ในการตรวจวัดปริมาณแสงและค่าความเข้มแสง (intensity) ในช่วงรังสียาวและช่วงแสงสีขาวที่หล่อผ่านตัวอย่างหรือถูกดูดกลืนด้วยตัวอย่างที่วางอยู่ในเครื่องมือ โดยที่ความยาวคลื่นแสงจะมีความสัมพันธ์กับปริมาณและชนิดของสารที่อยู่ในตัวอย่าง ซึ่งส่วนใหญ่จะเป็นสารอินทรีย์ สารประกอบเชิงช้อน และสารอนินทรีย์ที่สามารถดูดกลืนแสงในช่วงความยาวคลื่นเหล่านี้ได้

เมื่อโมเลกุลของตัวอย่างถูกฉายด้วยแสงที่มีพลังงานเหมาะสมจะทำให้อิเล็กตรอนภายในอะตอมของสารเกิดการดูดกลืนแสง แล้วเปลี่ยนสถานะไปอยู่ในชั้นที่มีระดับพลังงานสูงกว่า เมื่อทำการวัดปริมาณของแสงที่ผ่าน หรือสะท้อนออกมากจากตัวอย่างเทียบกับแสงจากแหล่งกำเนิดที่ความยาวคลื่นต่าง ๆ ตามกฎของ Beer-Lambert ค่าการดูดกลืนแสง (absorbance) ของสารจะแปรผันกับจำนวนโมเลกุลที่มีการดูดกลืนแสง ดังนั้นจึงสามารถใช้เทคนิคนี้ในการระบุชนิดและปริมาณของสารต่าง ๆ ที่อยู่ในตัวอย่างได้ โดยค่าที่วัดได้จะถูกส่งเข้าเครื่องคอมพิวเตอร์ที่เชื่อมกันไว้ ซึ่งส่วนประกอบของเครื่องวัดการดูดกลืนแสงแสดงดังภาพที่ 2.4



ภาพที่ 2.4 ส่วนประกอบของเครื่อง UV-visible spectrophotometer

ที่มา: Glasswarechemical (2014)

2.7 งานวิจัยที่เกี่ยวข้อง

Asharani *et al.* (2008) ได้ศึกษาความเป็นพิษของ AgNPs ต่อตัวอ่อนของปลาแม้ลาย พบว่า AgNPs มีความเป็นพิษต่oplamaแม้ลาย ทำให้อัตราการตายเพิ่มขึ้น การฟักไข่ของตัวอ่อนช้าลง ระบบไหลเวียนโลหิตช้า หัวใจหยุดเต้นและตายในที่สุด

Giao *et al.* (2016) ได้ศึกษาผลของ AgNPs ต่อกระบวนการออกซิเดชันแอมโมเนียด้วยสลัดจีโนตริฟายอิง พบว่า AgNPs ที่ความเข้มข้น 1-100 มิลลิกรัมต่อลิตร ยับยั้งปฏิกิริยาแอมโมเนีย ออกซิเดชันร้อยละ 90 ± 8.6 ถึง 94.8 ± 4.3 ป่งชี้ได้ว่า AgNPs สรงผลทำให้การบำบัดแอมโมเนีย ออกจากรากเสียมีประสิทธิภาพลดต่ำลง เนื่องจาก AgNPs ไปยังยังการทำงานของจุลินทรีย์

วงศ์ผกา จำปา (2551) ได้ศึกษาความสามารถในการดูดซึม ทองแดง (Cu), สังกะสี (Zn) และตะกั่ว (Pb) ในน้ำด้วยสาหร่ายพุ่งชะโดย พบว่า สาหร่ายพุ่งชะสามารถดูดซึมโลหะหนักทั้งสามชนิด โดยการดูดซึมจะเกิดได้ในช่วงเวลา 32 ชั่วโมงแรกของการทดลองและปริมาณของ ทองแดง, สังกะสี และ ตะกั่ว ที่สาหร่ายพุ่งชะได้ สามารถดูดซึมได้สูงสุด คือ 87.09, 28.33 และ 375.27 มิลลิกรัมต่อกิโลกรัมน้ำหนักแห้งของสาหร่ายพุ่งชะโดย ตามลำดับ ชนิดของโลหะหนักที่สาหร่ายพุ่งชะได้ดูดซึมที่ได้สูงสุด คือ ตะกั่ว

Kamal *et al.* (2004) ได้ศึกษาการใช้พืชน้ำ ได้แก่ สาหร่ายญี่ปุ่น (*Myriophyllum aquaticum*), พريمโรส (*Ludwigia palustris*) และมินต์น้ำ (*Meatha aquatic*) ดูดซึมโลหะหนัก 4 ชนิด คือ สังกะสี (Zn), ทองแดง (Cu), ปรอท (Hg) และเหล็ก (Fe) พบว่า พืชน้ำมีอัตราการกำจัดโลหะหนักที่ระดับความเข้มข้น 0.48, 0.11, 0.0787-0.002 และ 7.00-0.41 มิลลิกรัมต่อลิตรต่อวัน ตามลำดับ และพบว่าพืชเหล่านี้จะดูดโลหะหนักไปสะสมไว้ที่ราก ลำต้น และใบ โดยค่าเฉลี่ยของ

ประสิทธิภาพในการดูดซึมสังกะสี, ทองแดง, ปรอท และเหล็ก เท่ากับร้อยละ 33.9, 41.62, 99.8 และ 76.7 ตามลำดับ

Sushera (2004) ได้ศึกษาการดูดซึมแคดเมียม (Cd) โดยใช้สาหร่ายทางกรร Rog (Hydrilla verticillata) พบว่า ประสิทธิภาพในการดูดซึมจะสูงที่ความเข้มข้นของสารละลายน แคดเมียมต่ำและ pH อยู่ระหว่าง 5-9 รวมทั้งการดูดซึมแคดเมียมเกิดขึ้นอย่างรวดเร็วและอิ่มตัวใน 30 นาที การดูดซึม แคดเมียมที่สภาวะสมดุลจะเป็นไปตามแบบจำลองของ Langmuir และพบว่า สังกะสี (Zn) มีผลกระทบต่อการดูดซึมแคดเมียมของ *H. verticillata*

Hanks et al. (2015) ได้ใช้จอก (*Pistia stratiotes* L.) ในการบำบัดน้ำที่ปนเปื้อนด้วย AgNPs และชิลเวอร์ไอออนที่ความเข้มข้น 0.02, 0.2 และ 2 มิลลิกรัมต่อลิตร พบร้า จอกสามารถดูดซึม AgNPs และชิลเวอร์ไอออนได้ และสามารถถอยรุ่นที่ความเข้มข้น 0.02 มิลลิกรัมต่อลิตร และพบร้าจากมี ประสิทธิภาพในการสะ坝โลหะหนักสูง และมีความสามารถในการดูดซึมสารอาหารสูง นอกจากนี้ จอก เป็นพืชที่มีอัตราการเจริญเติบโตอย่างรวดเร็ว และสามารถบำบัด AgNPs จนมีค่าต่ำกว่าค่ามาตรฐานที่ องค์กรอนามัยโลกกำหนด (0.1 มิลลิกรัมต่อลิตร)

Winkelmann et al. (2017) ได้ศึกษาผลของ AgNPs ต่อปริมาณคลอโรฟิลล์ในพืช โดยใช้ สาหร่ายเดนเซ่ (*Egeria densa*) โดยแช่สาหร่าย *E. densa* ในน้ำที่มี AgNPs ที่ความเข้มข้นแตกต่าง กัน (0, 13, 25, 38, และ 51 มิลลิกรัมต่อลิตร) เป็นเวลา 2 สัปดาห์ จากนั้นจึงนำสาหร่าย *E. densa* มาสกัดคลอโรฟิลล์ เอ และคลอโรฟิลล์ บี โดยใช้อาหารanol และวัดความเข้มข้นด้วยเครื่อง UV-Visible Spectrophotometer ผลการทดลองพบว่า *E. densa* ที่ได้รับ AgNPs มีการเจริญเติบโตช้าลงและ ปริมาณคลอโรฟิลล์ในสาหร่าย *E. densa* จะลดลงเมื่อระยะเวลาผ่านไป ส่งผลให้สีของใบเปลี่ยนไปจากเดิม จากสีเขียวกลা�ยเป็นสีเขียวอ่อนหรือสีน้ำตาล

จากการวิจัยที่เกี่ยวข้อง พบร้า พืชน้ำสามารถนำมาบำบัดโลหะหนักได้ รวมทั้งพบร้าจาก สามารถนำมาบำบัด AgNPs ได้ แต่อย่างไรก็ตามยังไม่มีการศึกษาถึงผลของขนาดของ AgNPs ที่มีผล ต่อประสิทธิภาพการบำบัดของจอก งานวิจัยนี้จึงสนใจศึกษาผลของขนาดของ AgNPs ที่มีผลต่อ ประสิทธิภาพของจอกในการบำบัดน้ำที่ปนเปื้อนด้วย AgNPs ซึ่งจะช่วยเป็นแนวทางในการนำไปใช้ บำบัดวัสดุนานาชนิดต่อไป

บทที่ 3

วิธีการวิจัย

การศึกษาครั้งนี้ผู้วิจัยได้เก็บตัวอย่างจากและตัวอย่างน้ำ โดยตัวอย่างจากจะถูกนำมาศึกษา การเจริญเติบโตและปริมาณคลอโรฟิลล์ ส่วนตัวอย่างน้ำจะถูกนำมาวัดความเข้มข้นของ AgNPs ด้วย เครื่องวัดการดูดกลืนแสง (UV-Visible spectrophotometer) สำหรับวิธีการวิจัยในบทนี้จะกล่าวถึง ขอบเขตของการวิจัย เครื่องมือ อุปกรณ์และสารเคมี วิธีการทดลอง และการวิเคราะห์ข้อมูล มีรายละเอียดดังนี้

3.1 ขอบเขตของการวิจัย

งานวิจัยนี้เป็นการศึกษาประสิทธิภาพการบำบัดน้ำที่ปนเปื้อนด้วย AgNPs โดยจอก ในการทดลองใช้ AgNPs 2 ขนาด ได้แก่ 7 และ 50 นาโนเมตร โดยใช้ความเข้มข้นของ AgNPs ที่ 0.5, 1 และ 2 มิลลิกรัมต่อลิตร ซึ่งได้รับความอนุเคราะห์จาก ดร.ภวิกา มหาสวัสดิ์ โปรแกรมชีววิทยาและ จีโนมิกส์ มหาวิทยาลัยราชภัฏเชียงใหม่ โดยมีรายละเอียดขอบเขตการวิจัยดังนี้

3.1.1 กลุ่มตัวอย่างที่ใช้ในการศึกษา

กลุ่มตัวอย่างที่ใช้ในการศึกษาในงานวิจัยนี้ คือ จอก ที่มีรูปร่างขนาดและน้ำหนัก ใกล้เคียงกัน (ความยาวราก 6-10 เซนติเมตร ขนาดของใบ 5.5-7.5 เซนติเมตร และน้ำหนัก 3-4 กรัม)

3.1.2 ระยะเวลาที่ใช้ทดลอง

เก็บตัวอย่างน้ำและจอกที่เวลา 0, 1, 2, 4, 6, 12, 24 และ 48 ชั่วโมง และควบคุม อุณหภูมิการทดลองไว้ที่อุณหภูมิ 25 ± 2 องศาเซลเซียส

3.1.3 สถานที่ทดลอง

- 1) พื้นที่เก็บตัวอย่างจาก ณ บริเวณแหล่งน้ำอาคารศูนย์วิทยาศาสตร์ มหาวิทยาลัย ราชภัฏสงขลา
- 2) พื้นที่ทดลอง ณ ห้องปฏิบัติการ อาคารปฏิบัติการเทคโนโลยีชีวภาพ และ ห้องปฏิบัติการวิทยาศาสตร์สิ่งแวดล้อม ศูนย์วิทยาศาสตร์ มหาวิทยาลัยราชภัฏสงขลา

3.2 วัสดุ อุปกรณ์ และสารเคมี

3.2.1 วัสดุ

- 1) ขวดปรับปริมาตร (volumetric flasks)
- 2) กระบอกตัว (cylinders)
- 3) ปีเปต (volumetric pipettes)
- 4) หลอดหยด (droppers)
- 5) บีกเกอร์ (beakers)
- 6) แท่งแก้วคนสาร (stirring rods)
- 7) กรวยบุชเนอร์ (buchner funnel)
- 8) ขวดรูปชมพู่ (erlenmeyer flasks)
- 9) โกร่งบด (mortars and pestles)
- 10) ถังพลาสติก (plastic bucket)
- 11) แก้วพลาสติก (plastic cups)
- 12) ไม้บรรทัด (ruler)
- 13) ชุดกรองสูญญากาศ (vacuum filter set)
- 14) เทอร์โมมิเตอร์ (thermometer)
- 15) ขวดตัวอย่าง (sample bottles)
- 16) หลอดทดลอง (test tubes)
- 17) เหยือก (pitchers)
- 18) หลอดเซนติฟิว (centrifuge tubes)
- 19) เดซิคเคเตอร์ (desiccator)
- 20) อะลูมิเนียมฟอยล์ (aluminum foil)
- 21) กระดาษกรอง เบอร์ 1 และเบอร์ 5 (filter papers)

3.2.2 อุปกรณ์

- 1) เครื่องวัดการดูดกลืนแสง (UV-visible spectrophotometer) รุ่น EVO 201 PC
ยี่ห้อ Thermo Scientific
- 2) เครื่องระเหย (rotary evaporator) รุ่น Rotarac Valve Tec ยี่ห้อ heidolph
- 3) เครื่องชั่ง 4 ตำแหน่ง (balance) รุ่น ED3235-CW ยี่ห้อ Sartorius

- 4) ตู้อบ (hot air oven) รุ่น FED115 ยี่ห้อ Binder
- 5) เครื่อง pH meter รุ่น pH Portable F2-Meter ยี่ห้อ METTLER TOLEDO
- 6) เครื่องเขย่า (shaker) รุ่น G560E ยี่ห้อ Vortex-Genie
- 7) เครื่องวิเคราะห์ปริมาณธาตุด้วยเทคนิค (inductivity couple plasma-optical emission spectrometer; ICP-OES) รุ่น Optima 4300 DV ยี่ห้อ Perkin Elmer
- 8) กล้องจุลทรรศน์อิเล็กตรอนแบบทราณสมิสชัน (transmission electron microscope; TEM) รุ่น JEM-2010 ยี่ห้อ JEOL
- 9) เครื่องกวนสารละลาย (magnetic stirrer) รุ่น MS-200 ยี่ห้อ MTOPs

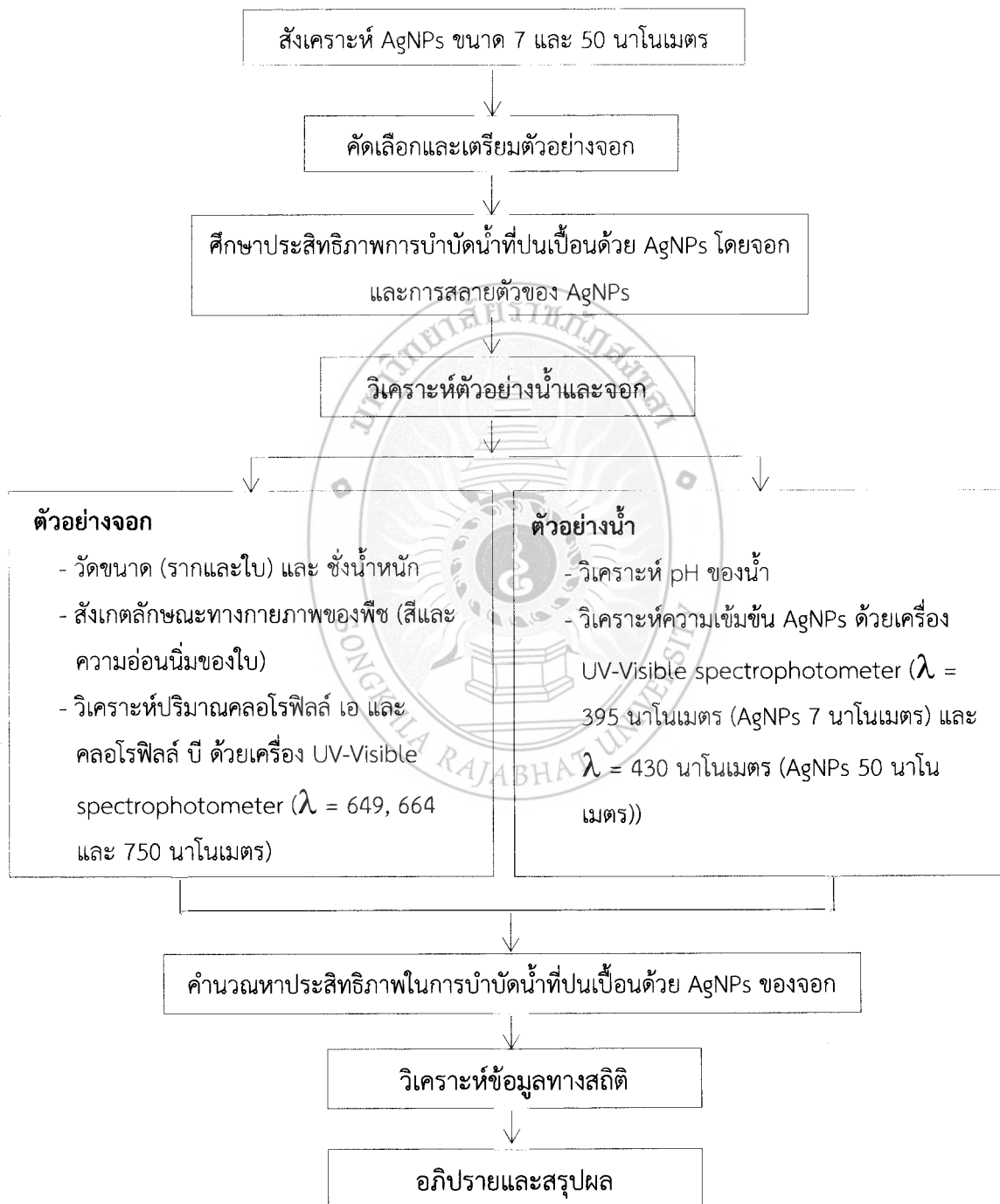
3.2.3 สารเคมี

- 1) ซิลเวอร์ไนเตรท (silver nitrate; AgNO_3)
- 2) โซเดียมบอร์ไฮไดรด์ (sodium borohydride; H_4BNa)
- 3) โซเดียมซิตรัต (sodium citrate; $\text{C}_6\text{H}_5\text{Na}_3\text{O}_7 \cdot 2\text{H}_2\text{O}$)
- 4) กรดไนต์ริก (nitric Acid; HNO_3)
- 5) เอทานอล 95% (ethanol 95%)
- 6) น้ำประปา (tap water)
- 7) น้ำปราศจากไอออน (deionized water; DI)
- 8) น้ำกลั่น (distilled water)



3.3 วิธีการวิเคราะห์

การทดลองครั้งนี้เป็นการศึกษาประสิทธิภาพการบำบัดน้ำที่ปนเปื้อนด้วย AgNPs โดยจอก ซึ่งมีกรอบแนวคิดในการดำเนินการตั้งแสดงในภาพที่ 3.1



ภาพที่ 3.1 กรอบแนวคิดการศึกษา

3.3.1 การเตรียมสารแ xenonloy AgNPs

1) การเตรียมสารแ xenonloy AgNPs ขนาด 7 นาโนเมตร

1.1) การเตรียมสารแ xenonloy AgNPs ขนาด 7 นาโนเมตร ตามวิธีของ Jana *et al.* (2001) ทำโดยนำสารละลายน้ำ银 nitrate เข้มข้น 0.25 มิลลิโมลาร์ ปริมาณ 18 มิลลิลิตร และสารละลายน้ำ sodium citrate เข้มข้น 0.25 มิลลิโมลาร์ ปริมาณ 18 มิลลิลิตร ผสมในน้ำกลั่น 600 มิลลิลิตร จากนั้นคนให้เข้ากันด้วยเครื่องวนสารละลายน้ำ (magnetic stirrer) ที่อุณหภูมิห้อง เติมสารละลายน้ำ sodium borohydride เข้มข้น 10 มิลลิโมลาร์ ปริมาณ 18 มิลลิลิตร แล้ววนด้วย magnetic stirrer เป็นเวลา 2 ชั่วโมง ที่อุณหภูมิห้อง

1.2) นำสารแ xenonloy AgNPs ที่ได้ไประเหยด้วยเครื่อง rotary evaporator ที่อุณหภูมิ 37 องศาเซลเซียส ด้วยความเร็ว 40 รอบ/นาทีจนเหลือปริมาตร 50 มิลลิลิตร จะได้ AgNPs ขนาด 7 นาโนเมตร

1.3) วัดความเข้มข้นของ AgNPs ที่เตรียมได้ด้วยเครื่องวิเคราะห์ปริมาณธาตุด้วยเทคนิค inductivity couple plasma-optical emission spectrometer (ICP-OES) และวัดขนาดด้วยกล้องจุลทรรศน์อเล็กตรอนแบบทราณสมิสชัน (transmission electron microscope; TEM) โดยส่งวิเคราะห์ที่ศูนย์เครื่องมือวิทยาศาสตร์ มหาวิทยาลัยสงขลานครินทร์

2) การเตรียมสารแ xenonloy AgNPs ขนาด 50 นาโนเมตร

1.1) การเตรียมสารแ xenonloy AgNPs ขนาด 50 นาโนเมตร ประกอบด้วย 2 ขั้นตอน ได้แก่ การเตรียมสารแ xenonloy Ag seed (หัวเชื้อซิลเวอร์) และการทำให้ Ag seed มีขนาดใหญ่ขึ้น ซึ่งสารแ xenonloy Ag seed ในการศึกษานี้ คือ AgNPs ขนาด 7 นาโนเมตร ดังนั้นการเตรียมสารแ xenonloy Ag seed จึงเตรียมตามขั้นตอนในหัวข้อ 3.3.1 ข้อ 1) สำหรับการทำให้ Ag seed มีขนาดใหญ่ขึ้น ทำได้โดยใส่สารแ xenonloy Ag Seed ปริมาตร 6 มิลลิลิตร ลงในสารละลายน้ำ silver nitrate เข้มข้น 1 มิลลิโมลาร์ และสารละลายน้ำ sodium citrate เข้มข้น 1 มิลลิโมลาร์ ในน้ำกลั่น ปริมาตร 200 มิลลิลิตร ผสมให้เข้ากันด้วย magnetic stirrer ที่อุณหภูมิห้อง เป็นเวลา 10 นาที

1.2) ต้มสารแ xenonloy ดังกล่าวจนเหลือสารแ xenonloy AgNPs ปริมาตร 50 มิลลิลิตร ตั้งทึ่ไว้ให้เย็นที่อุณหภูมิห้อง แล้วกรองสารแ xenonloy AgNPs ที่ได้ด้วยกระดาษกรองขนาด 0.22 ไมโครเมตร จะได้สารแ xenonloy AgNPs ขนาด 50 นาโนเมตร

1.3) วัดความเข้มข้นของ AgNPs ที่ได้ด้วยเครื่อง ICP-OES และวัดขนาดอนุภาค AgNPs ที่ได้ด้วยเครื่อง TEM โดยส่งวิเคราะห์ที่ศูนย์เครื่องมือวิทยาศาสตร์ มหาวิทยาลัยสงขลานครินทร์

3.3.2 การคัดเลือกและการเตรียมตัวอย่างจาก

- 1) เก็บตัวอย่างจากแหล่งน้ำบริเวณมหาวิทยาลัยราชภัฏสังขลา โดยมีเกณฑ์ในการพิจารณา ดังนี้
 - 1.1) รูปร่างและขนาดใกล้เคียงกัน โดยเลือกจากที่มีรายการประมาณ 6-10 เซนติเมตร ความยาวประมาณ 5.5-7.5 เซนติเมตร น้ำหนักประมาณ 3-4 กรัม
 - 1.2) ใบมีสีเขียวใกล้เคียงกัน
 - 1.3) มีการเจริญเติบโตที่สมบูรณ์แข็งแรง
- 2) นำจากมาเลี้ยงในน้ำประปาอย่างน้อย 1 วัน
- 3) นำจากไปทำการทดสอบจากด้วยน้ำประปา เพื่อกำจัดตะกอนต่าง ๆ ให้หมดประมาณ 2-3 ครั้ง และล้างต่อด้วยน้ำกลิ้นอีกหนึ่งครั้ง
- 4) เลี้ยงปรับสภาพจากเป็นเวลา 2 วัน ด้วยน้ำปราศจากไอออน (deionized water; DI) ที่อุณหภูมิ 25 ± 2 องศาเซลเซียส
- 5) นำจากที่ปรับสภาพแล้วมาใช้ทดลอง โดยวัดความยาวรากและขนาดใบ และนำไปชั่งน้ำหนักของจากการทดลอง รวมทั้งสังเกตสีของใบจากและสภาพของจาก

3.3.3 การทดสอบประสิทธิภาพการบำบัดน้ำที่ปนเปื้อนด้วย AgNPs โดยจากการถ่ายตัวของ AgNPs

ในการทดลองประสิทธิภาพการบำบัดน้ำที่ปนเปื้อนด้วย AgNPs โดยจากการถ่ายตัวของ AgNPs ทำโดยใช้ AgNPs 2 ขนาด คือ 7 และ 50 นาโนเมตร และความเข้มข้นของ AgNPs ที่ใช้ทดลอง ได้แก่ 0.5, 1 และ 2 มิลลิกรัมต่อลิตร โดยควบคุมอุณหภูมิห้องที่ 25 ± 2 องศาเซลเซียส

1) การศึกษาการถ่ายตัวของ AgNPs

ศึกษาการถ่ายตัวของ AgNPs ในสภาพที่ทดลองโดยไม่มีจาก เป็นชุดการทดลองที่ 1 โดยทำเช่นเดียวกับการศึกษาประสิทธิภาพการบำบัด AgNPs ด้วยจาก แต่จะไม่ใส่จอกลงไป ทำโดยใช้สารแχวนลอย AgNPs ในน้ำ DI ที่ความเข้มข้น 0.5, 1 และ 2 มิลลิกรัมต่อลิตร ที่สภาพเดียวกับการทดลองหาประสิทธิภาพการบำบัดของจาก (25 ± 2 องศาเซลเซียส) จากนั้นเก็บตัวอย่างน้ำที่เวลา 0, 1, 2, 4, 6, 12, 24 และ 48 ชั่วโมง ใช้น้ำ DI ที่ปราศจาก AgNPs เพื่อใช้เป็นชุดควบคุม เก็บตัวอย่างที่เวลา 0 และ 48 ชั่วโมง

2) การศึกษาประสิทธิภาพการบำบัด AgNPs โดยจาก

ศึกษาการดูดซึม AgNPs ของจากเป็นชุดการทดลองที่ 2 โดยนำจากการข้อ 3.3.2 มาเลี้ยงในน้ำ DI ที่มี AgNPs 2 ขนาด คือ 7 และ 50 นาโนเมตร ที่ความเข้มข้น 3 ระดับ คือ 0.5, 1 และ 2 มิลลิกรัมต่อลิตร ทดลองที่อุณหภูมิ 25 ± 2 องศาเซลเซียส จากนั้นเก็บตัวอย่างจากและน้ำผึ้ง AgNPs ที่เวลา 0, 1, 2, 4, 6, 12, 24 และ 48 ชั่วโมง ชุดควบคุมในการศึกษานี้ ทำโดยเลี้ยงจากในน้ำ DI ที่ปราศจาก AgNPs ซึ่งจะเก็บตัวอย่างที่เวลา 0 ชั่วโมง (เริ่มการทดลอง) และที่เวลา 48 ชั่วโมง (สิ้นสุดการทดลอง)

ตั้งนั้นในงานวิจัยนี้แบ่งชุดการทดลองเป็น 2 ชุดการทดลอง คือ ชุดการทดลองที่ 1 การศึกษาการสลายตัวของ AgNPs (degradation; D) ชุดการทดลองที่ 2 การศึกษาประสิทธิภาพ (efficiency; E) ตั้งตารางที่ 3.1 โดยใช้น้ำ DI และจาก เป็นชุดควบคุมของการศึกษาประสิทธิภาพ (P) ส่วนการศึกษาการสลายตัวใช้น้ำ DI เป็นชุดควบคุม (B) ซึ่งการทดลองทั้ง 2 ชุด ทำการทดลองพร้อมกันภายใต้สภาวะเดียวกัน (25 ± 2 องศาเซลเซียส) และเก็บตัวอย่างที่เวลาเดียวกัน คือ 0, 1, 2, 4, 6, 12, 24 และ 48 ชั่วโมง

ตารางที่ 3.1 รายละเอียดของตัวอย่างที่ใช้ในการศึกษา

ชุดการทดลอง	รหัสตัวอย่าง	ขนาดของ AgNPs (nm)	ความเข้มข้นของ AgNPs (mg/L)	หมายเหตุ
1) การศึกษาการสลายตัวของ AgNPs	B	-	0	น้ำ DI
	DSC ₁		0.5	ไม่มีจาก
	DSC ₂	7	1	
	DSC ₃		2	
	DBC ₁		0.5	
	DBC ₂	50	1	
	DBC ₃		2	
2) การศึกษาประสิทธิภาพการบำบัด AgNPs	P	-	0	น้ำ DI+จาก
	SC ₁		0.5	มีจาก
	SC ₂	7	1	
	SC ₃		2	
	BC ₁		0.5	
	BC ₂	50	1	
	BC ₃		2	

หมายเหตุ: B และ P เป็นชุดควบคุม

- หมายถึง ไม่มีการเติม AgNPs เนื่องจากเป็นชุดควบคุม

3.3.4 การเก็บตัวอย่าง

1) การเก็บตัวอย่างจาก

เก็บตัวอย่างจากในแต่ละชุดการทดลองที่เวลาต่าง ๆ แล้วล้างจากด้วยน้ำ DI จากนั้นนำมาซับด้วยกระดาษทิชชู ผิงลมประมาณ 10-15 นาทีให้แห้งก่อนนำมาวิเคราะห์ลักษณะทางกายภาพของจอกและปริมาณคลอโรฟิลล์ (ลัดดาวัลย์ ช่องบ้านโพ้ง, 2550)

2) การเก็บตัวอย่างน้ำ

เก็บตัวอย่างน้ำในแต่ละชุดการทดลองที่เวลาต่าง ๆ ประมาณ 100 มิลลิลิตร ใส่ในขวดพอลิเออริลีน เพื่อวัดค่า pH และความเข้มข้นของ AgNPs (กรมควบคุมมลพิษ, 2541)

3.3.5 การวิเคราะห์ตัวอย่างน้ำและจอก

เก็บตัวอย่างน้ำและจอกที่เวลาต่าง ๆ ทั้ง 2 ชุดการทดลอง แล้วจึงนำตัวอย่างน้ำและจอกมาวิเคราะห์ โดยมีรายละเอียดวิธีการวิเคราะห์ดังตารางที่ 3.2

ตารางที่ 3.2 วิธีการวิเคราะห์ตัวอย่างน้ำและจอก

พารามิเตอร์	วิธีการวิเคราะห์
ลักษณะทางกายภาพของจอก (น้ำหนัก ขนาด สีใบ)	- ซึ่งน้ำหนักด้วยเครื่องซึ่ง 4 ตำแหน่ง - วัดขนาดด้วยไม้บรรทัด - สังเกตสีและสภาพของจอกด้วยตา
คลอโรฟิลล์ เอ และคลอโรฟิลล์ บี ในจอก	สกัดด้วย 95% ethanol และวัดด้วย UV-Visible spectrophotometer ความยาวคลื่น (λ) เท่ากับ 649, 664 และ 750 นาโนเมตร (Winkelmann et al., 2017)
pH ของน้ำ	pH meter (กรมควบคุมมลพิษ, 2537)
ความเข้มข้นของ AgNPs ในน้ำ	UV-Visible spectrophotometer ที่ $\lambda = 395$ และ 430 นาโนเมตร ของ AgNPs ขนาด 7 และ 50 นาโนเมตร ตามลำดับ (Promtong, 2014)

1) การวิเคราะห์ตัวอย่างจอก

ตัวอย่างจอกจะถูกนำมาวิเคราะห์ลักษณะทางกายภาพ (น้ำหนัก ขนาด สีและสภาพของจอก) โดยนำตัวอย่างจอกจากข้อ 3.3.4 มาวัดความยาวรากและขนาดใบด้วยไม้บรรทัด แล้วซึ่งน้ำหนัก สังเกตสีของใบและสภาพของจอก จากนั้นนำไปจากมาวิเคราะห์ปริมาณคลอโรฟิลล์ เอ และคลอโรฟิลล์ บี โดยสกัดด้วย 95% ethanol และวัดด้วย UV-Visible spectrophotometer ($\lambda = 649, 664$ และ 750 นาโนเมตร) ซึ่งมีวิธีการทดลองดังนี้ (Winkelmann et al., 2017) ซึ่ง

น้ำหนักใบจอก 1 กรัม แล้วนำไปอบท่ออุณหภูมิ 110 องศาเซลเซียส เป็นเวลา 10 นาที บดด้วยโกร่งให้ละเอียด จากนั้นซับน้ำหนักจากที่บดใส่หลอดทดลอง เติม 95% ethanol ที่เย็น 20 มิลลิลิตร และผสมให้เข้ากัน แซทติ่งไว้ 10 นาที แล้วกรองด้วยกระดาษกรอง Whatman เบอร์ 1 นำไปวัดด้วยเครื่อง UV-Visible spectrophotometer ($\lambda = 649, 664$ และ 750 นาโนเมตร) โดยค่าคลอรอฟิลล์ที่ได้จะไม่ดูดซึมแสงที่ความยาวคลื่น 750 นาโนเมตร ซึ่งค่าการดูดซึมแสงที่ 750 นาโนเมตร (A_{750}) จะเป็นค่าสัญญาณพื้นหลัง (background signal) จากนั้นค่าที่ได้มาคำนวนโดยใช้สูตร

$$A_{664} - A_{750} \quad (1)$$

$$A_{649} - A_{750} \quad (2)$$

$$[\text{chl a}] (\mu\text{g/mL}) = 13.36A_{664} - 5.19A_{649} \quad (3)$$

$$[\text{chl b}] (\mu\text{g/mL}) = 27.43A_{649} - 8.12A_{664} \quad (4)$$

$$[\text{chl}] \left(\frac{\text{mg}}{\text{DW}} \right) = [\text{chl}] \left(\frac{\mu\text{g}}{\text{mL}} \right) \times \frac{\text{ปริมาตรของเอทานอล (mL)}}{\text{น้ำหนักใบแห้ง (g)}} \times \frac{1 \text{ mg}}{1000 \mu\text{g}}$$

เมื่อ DW = น้ำหนักพืชแห้ง (g)

chl = คลอรอฟิลล์

2) การวิเคราะห์ตัวอย่างน้ำ

ตัวอย่างน้ำที่เก็บส่วนหนึ่งจะถูกนำมาวิเคราะห์ค่า pH ของน้ำด้วยเครื่อง pH meter และอีกส่วนหนึ่งจะถูกนำไปกรองด้วยกระดาษกรอง Whatman เบอร์ 5 แล้วนำไปวัดความเข้มข้นของ AgNPs ด้วยเครื่อง UV-Visible spectrophotometer ที่ความยาวคลื่น (λ) เท่ากับ 395 นาโนเมตร สำหรับ AgNPs ขนาด 7 นาโนเมตร และ $\lambda = 430$ นาโนเมตร สำหรับ AgNPs ขนาด 50 นาโนเมตร

3.3.6 การวิเคราะห์ประสิทธิภาพในการบำบัด AgNPs ของจอก

ผลที่ได้จากการทดลอง (การสลายตัวของ AgNPs และประสิทธิภาพการบำบัดน้ำที่ปนเปื้อนด้วย AgNPs โดยจอก) มาคำนวนประสิทธิภาพของจอกในการกำจัด AgNPs ที่มีขนาด 7 และขนาด 50 นาโนเมตร ออกจากน้ำ โดยสามารถคำนวนค่าประสิทธิภาพการบำบัดได้จากสูตร (พรพิมล ห่อสุวรรณชัย, 2542)

$$\text{ประสิทธิภาพการบำบัด (\%)} = \frac{(\text{ความเข้มข้น AgNPs เริ่มต้น} - \text{ความเข้มข้น AgNPs สุดท้าย})}{\text{ความเข้มข้น AgNPs เริ่มต้น}} \times 100$$

3.3.7 การวิเคราะห์ข้อมูล

การศึกษาประสิทธิภาพในการบำบัดน้ำที่ปนเปื้อนด้วย AgNPs โดยจาก ได้นำข้อมูลที่ได้จากการทดลองมาวิเคราะห์ทางสถิติ โดยมีรายละเอียดดังนี้

- 1) การใช้สถิติเชิงพรรณนา (descriptive statistic) ได้แก่ การหาค่าเฉลี่ย (mean) และ ร้อยละ เพื่อนำเสนอผลการศึกษาประสิทธิภาพของจอกในการบำบัดน้ำที่ปนเปื้อนด้วย AgNPs และ pH
- 2) การใช้สถิติเชิงอ้างอิง (inferential statistics) แบบด้วยคำสั่ง Independent-samples T-Test เพื่อเปรียบเทียบประสิทธิภาพของจอกในการบำบัดน้ำที่ปนเปื้อนด้วย AgNPs ขนาด 7 และ 50 นาโนเมตร



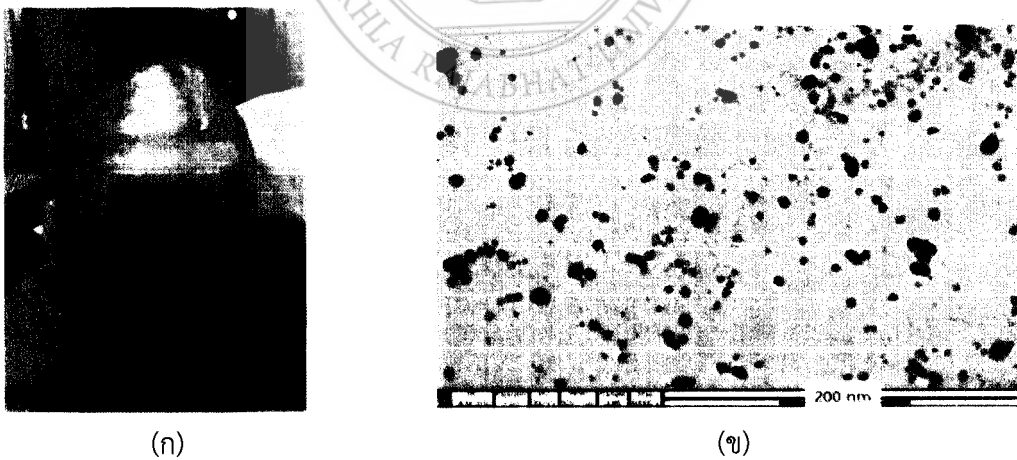
บทที่ 4

ผลและการอภิปรายผลการวิจัย

การศึกษาประสิทธิภาพของจาก (*Pistia stratiotes* L.) ในการบำบัดน้ำที่ปนเปื้อนด้วย AgNPs ที่มีขนาดต่างกัน 2 ขนาด ที่ระดับความเข้มข้น 0.5, 1 และ 2 มิลลิกรัมต่อลิตร เริ่มโดยการสังเคราะห์ AgNPs ขนาด 7 และ 50 นาโนเมตร แล้วนำ AgNPs ที่สังเคราะห์ได้มาใช้ในการทดลอง ซึ่งแบ่งชุดการทดลองออกเป็น 2 ชุดการทดลอง คือ ชุดการทดลองที่ 1 เป็นการศึกษาการถ่ายตัวตามธรรมชาติของ AgNPs ในน้ำที่เวลาต่าง ๆ ในสภาพที่ใช้ทดลอง ชุดการทดลองที่ 2 การศึกษาประสิทธิภาพในการบำบัดน้ำที่ปนเปื้อนของ AgNP โดยจาก เพื่อศึกษาถึงความสามารถในการบำบัด AgNPs ออกจากน้ำของจาก และความเข้มข้นของ AgNPs ที่จะสามารถทนได้ รวมทั้งผลของ AgNPs ต่อบริมาณคลอร็อฟิลล์ โดยทั้ง 2 ชุดการทดลองนี้จะมีชุดควบคุม เพื่อสังเกตการเจริญเติบโตของจากเมื่อไม่มี AgNPs ในสภาพที่ใช้ทดลอง จากการทดลองได้ผลดังต่อไปนี้

4.1 ผลการสังเคราะห์ AgNPs ขนาด 7 และ 50 นาโนเมตร

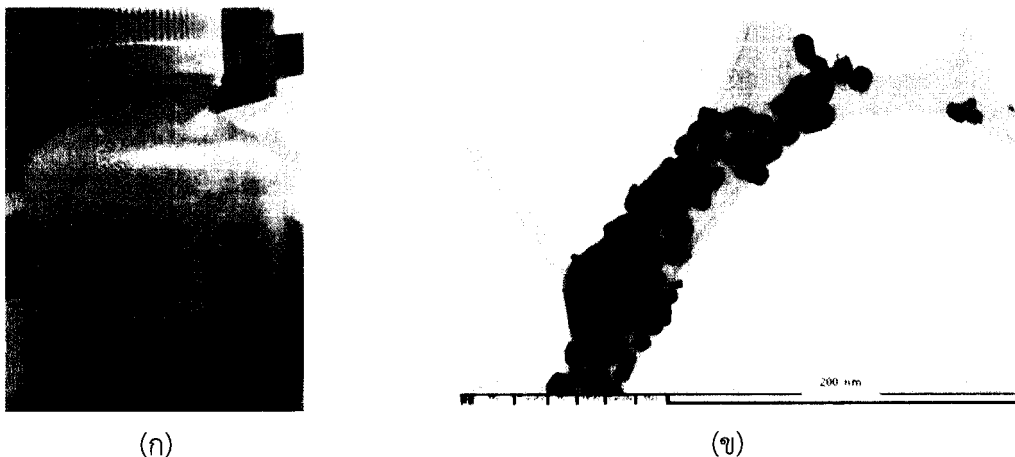
AgNPs ทั้ง 2 ขนาด (7 และ 50 นาโนเมตร) ที่ได้จากการสังเคราะห์ตามวิธีของ Jana *et al.* (2001) ถูกนำมาวิเคราะห์ขนาด โดยเครื่องกล้องจุลทรรศน์อิเล็กตรอนแบบทرانสมิสชัน (transmission electron microscope; TEM) ได้ผลการทดลองดังภาพที่ 4.1 และ 4.2



ภาพที่ 4.1 AgNPs ขนาด 7 นาโนเมตร ที่สังเคราะห์ได้

(ก) สารแขวนลอย AgNPs

(ข) ขนาดและรูปร่างของ AgNPs จากเครื่อง TEM



(ก) สารแขวนลอย AgNPs

(ข) ขนาดและรูปร่างของ AgNPs จากเครื่อง TEM

จากการวิเคราะห์ AgNPs ขนาด 7 และ 50 นาโนเมตรด้วยเครื่อง TEM (ภาพที่ 4.1 และ 4.2) พบว่า AgNPs ทั้ง 2 ขนาด มีรูปร่างค่อนข้างกลม โดยที่ AgNPs ขนาด 7 นาโนเมตร ที่สังเคราะห์ได้มีขนาดอยู่ในช่วง $3.4\text{--}103.4$ นาโนเมตร มีขนาดอนุภาคเฉลี่ยอยู่ที่ 11.8 ± 7.1 นาโนเมตร ($n=845$) และของ AgNPs ขนาด 50 นาโนเมตร มีขนาดอยู่ในช่วง $6.3\text{--}173.1$ นาโนเมตร มีขนาดอนุภาคเฉลี่ยอยู่ที่ 53.5 ± 23.4 นาโนเมตร ($n=426$) ซึ่งเมื่อนำสารแขวนลอย AgNPs ที่สังเคราะห์ได้ไปวัดความเข้มข้นของ AgNPs ด้วยเครื่องวิเคราะห์ปริมาณธาตุด้วยเทคนิค (inductivity couple plasma-optical emission spectrometer; ICP-OES) พบว่า สารแขวนลอย AgNPs ขนาด 7 นาโนเมตร มีความเข้มข้น 257.5 มิลลิกรัมต่อลิตร และสารแขวนลอย AgNPs ขนาด 50 นาโนเมตร มีความเข้มข้น 348.5 มิลลิกรัมต่อลิตร ซึ่ง AgNPs ที่สังเคราะห์ได้นี้ถูกนำไปใช้ในการทดลองต่อไป

4.2 ผลการวิเคราะห์ตัวอย่างจาก

การทดลองนี้เก็บตัวอย่างเพื่อนำมาวิเคราะห์ลักษณะทางกายภาพ และปริมาณคลอโรฟิลล์ เอ และคลอโรฟิลล์ บี ในจากที่ระยะเวลาต่าง ๆ

4.2.1 ผลการวิเคราะห์ลักษณะทางกายภาพของจาก

ลักษณะทางกายภาพของจากจะแสดงถึงความสามารถในการเจริญเติบโตของจาก ในน้ำที่ปนเปื้อนด้วย AgNPs ซึ่งในการศึกษาครั้งนี้จะสังเกตสีใบ ลักษณะทั่วไปของจาก น้ำหนักและขนาดของจาก หลังจากได้รับ AgNPs ขนาด 7 และ 50 นาโนเมตร ที่ความเข้มข้นระดับต่าง ๆ แล้ว

นำมาเปรียบเทียบกับจากเมื่อเริ่มทดลอง (ก่อนได้รับ AgNPs) และชุดควบคุม สำหรับผลการทดลองแสดงดังตารางที่ 4.1 และ 4.2 ภาพที่ 4.3 และ 4.4 และภาคผนวก ฯ

ตารางที่ 4.1 ลักษณะของจากหลังจากดูดซึม AgNPs ขนาด 7 นาโนเมตร ที่ระยะเวลาต่าง ๆ

ความเข้มข้นของ AgNPs (mg/L)	ลักษณะของจากที่เวลาต่าง ๆ (ชั่วโมง)							
	0	1	2	4	6	12	24	48
0 (ชุดควบคุม)	ก	ก	ก	ก	ก	ก	ก	ก
0.5	ก	ก	ก	ก	ก	ก	ก	ข
1	ก	ก	ก	ก	ข	ข		ข
2	ก	ก	ก	ข	ข		ก	ก

หมายเหตุ:



หมายถึง จากมีลักษณะปกติ



หมายถึง จากมีลักษณะในเริ่มอ่อนนิ่ม มีสีเขียวปนเหลือง



หมายถึง จากมีลักษณะเป็นจิ้งจอก เที่ยง รากบางส่วนหลุดออกจากกัน



หมายถึง จากตาย

ตารางที่ 4.2 ลักษณะของจากหลังจากดูดซึม AgNPs ขนาด 50 นาโนเมตร ที่ระยะเวลาต่าง ๆ

ความเข้มข้นของ AgNPs (mg/L)	ลักษณะของจากที่เวลาต่าง ๆ (ชั่วโมง)							
	0	1	2	4	6	12	24	48
0 (ชุดควบคุม)	ก	ก	ก	ก	ก	ก	ก	ก
0.5	ก	ก	ก	ก	ก	ก	ก	ด
1	ก	ก	ก	ก	ก	ก	ด	
2	ก	ก	ก	ก	ก	ก		ร

หมายเหตุ:



หมายถึง จากมีลักษณะปกติ



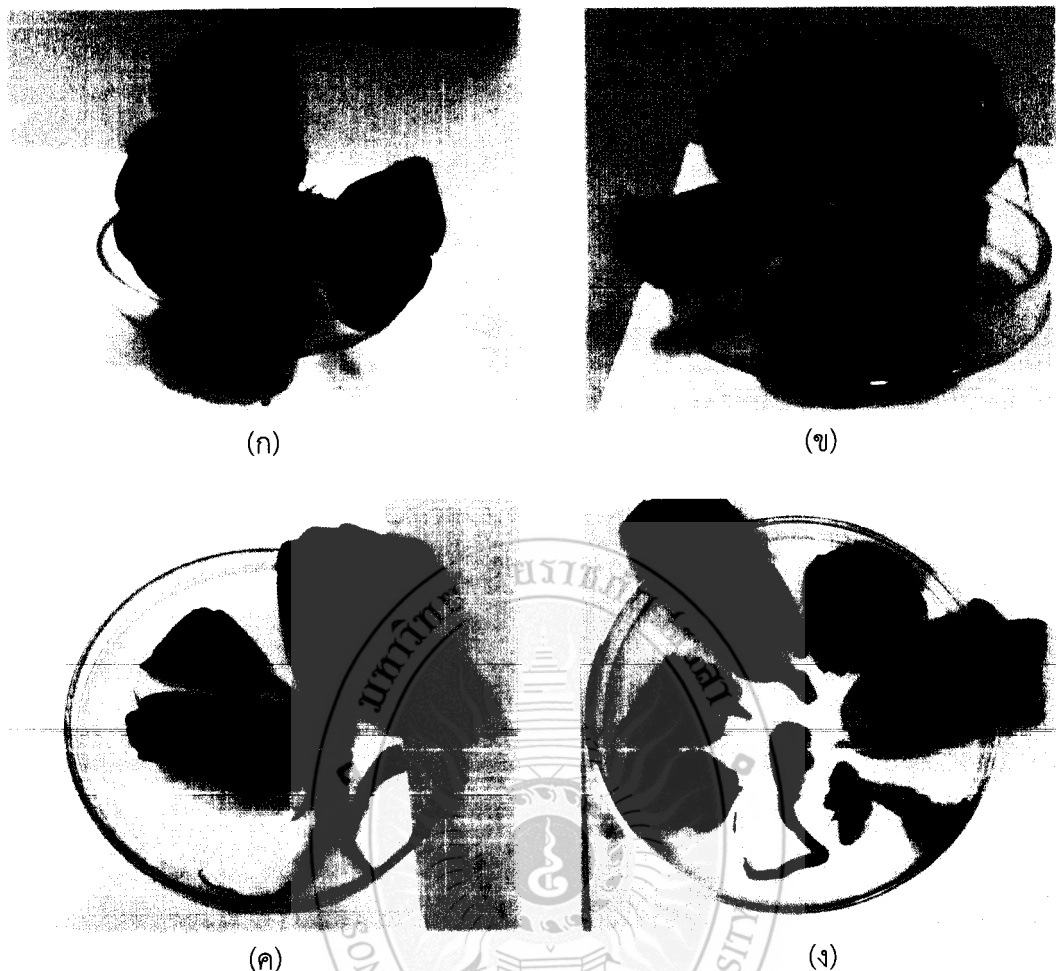
หมายถึง จากมีลักษณะในเริ่มอ่อนนิ่ม มีสีเขียวปนเหลือง



หมายถึง จากมีลักษณะเป็นจิ้งจอก เที่ยง รากบางส่วนหลุดออกจากกัน



หมายถึง จากตาย



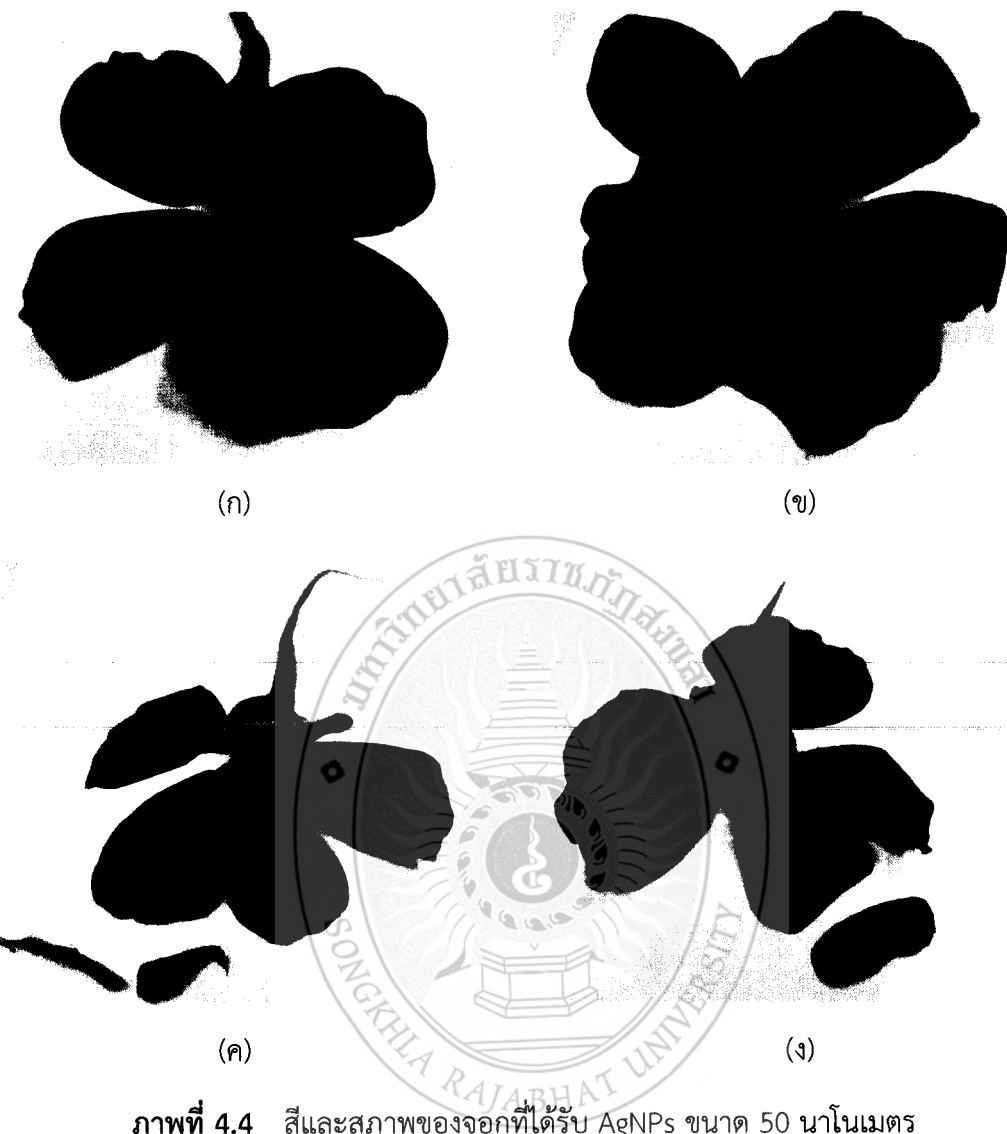
ภาพที่ 4.3 สีและสภาพของจอกที่ได้รับ AgNPs ขนาด 7 นาโนเมตร

(ก) หมายถึง จอกมีลักษณะปกติ

(ข) หมายถึง จอกมีลักษณะใบเริ่มอ่อนนิ่ม มีสีเขียวปนเหลือง

(ค) หมายถึง จอกมีลักษณะใบหิkingo เที่ยว รากบางส่วนหลุดออกจากกัน

(ง) หมายถึง จอกตาย



ภาพที่ 4.4 สีและสภาพของจอกที่ได้รับ AgNPs ขนาด 50 นาโนเมตร

- (ก) หมายถึง จอกมีลักษณะปกติ
 - (ข) หมายถึง จอกมีลักษณะใบเริ่มอ่อนนิ่ม มีสีเขียวปนเหลือง
 - (ค) หมายถึง จอกมีลักษณะใบแห้ง เหี่ยว รากบางส่วนหลุดออกจากกัน
 - (ง) หมายถึง จอกตาย

จากผลการทดลอง สามารถแบ่งลักษณะของจอกได้เป็น 4 กลุ่ม คือ ก) จากแข็งแรงเป็นปกติ ข) ใบเริ่มอ่อนนิ่มและมีสีเขียวปนเหลือง ค) ใบเริ่มหักงอและเหี่ยว รากบางส่วนเริ่มหลุดออกจากกัน และ ง) จอกตาย (ภาพที่ 4.3 และ 4.4) ซึ่งเมื่อพิจารณาสภาพของจอกในชุดควบคุม (ไม่มี AgNPs) ของ AgNPs ทั้ง 2 ขนาด พบร้าจะอกมีใบสีเขียวและมีสภาพแข็งแรงเป็นปกติลดลงระยะเวลาที่ใช้ทดลอง (48 ชั่วโมง) ส่วนการทดลองที่ใช้ AgNPs ทั้งขนาด 7 และ 50 นาโนเมตร ที่ความเข้มข้น 0.5 มิลลิกรัมต่อลิตร จอกมีสภาพเป็นปกติในช่วงระยะเวลาแรกจนถึง 24 ชั่วโมง แต่ที่ระยะเวลา 48 ชั่วโมง ใบของจอกจะเริ่мо่อนนิ่มและเริ่มมีสีเขียวปนเหลือง ส่วนที่ความเข้มข้นของ AgNPs เพิ่มขึ้นเป็น 1 มิลลิกรัมต่อลิตร พบร้า ใบจากอ่อนนิ่มและมีสีเขียว ที่เวลา 6 และ 24 ชั่วโมง หลังจากได้รับ AgNPs ขนาด 7 และ 50 นาโนเมตร และเมื่อเวลาผ่านไป 24 และ 48 ชั่วโมง ใบจากเริ่มมีรากบางส่วนหลุดออกจากกันและใบเริ่มเขียว หักงอ และจอกตายที่เวลา 48 ชั่วโมง (หลังจากดูดซึม AgNPs ขนาด 7 นาโนเมตร)

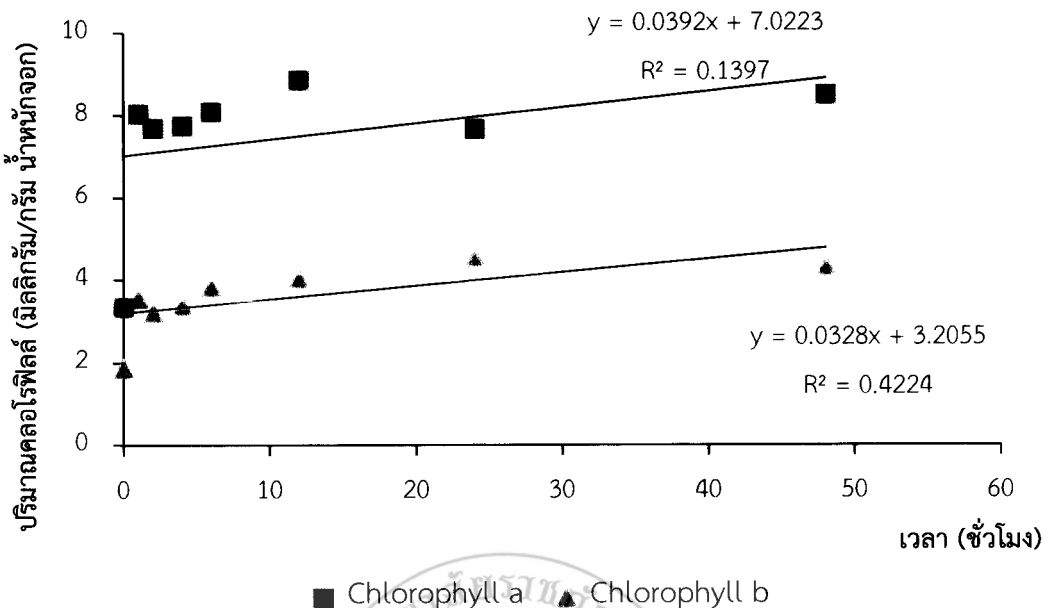
เมื่อทดลองที่ใช้ความเข้มข้นของ AgNPs ที่ 2 มิลลิกรัมต่อลิตร พบร้าจะอกเริ่มมีใบอ่อนนิ่มและมีสีเขียวปนเหลือง หลังจากได้รับ AgNPs ขนาด 7 และ 50 นาโนเมตร เป็นเวลา 4 และ 12 ชั่วโมง ยิ่งเวลาเพิ่มขึ้นจะยิ่งมีใบหักงอและเหี่ยว และรากบางส่วนเริ่มหลุดออกจากกันที่เวลา 12 และ 24 ชั่วโมง หลังจากเริ่มทดลอง และพบร้าในน้ำที่ผสม AgNPs ความเข้มข้น 2 มิลลิกรัมต่อลิตร ที่ขนาด 7 นาโนเมตร จอกตายที่เวลา 24 ชั่วโมง ซึ่งเร็วกว่าจากที่เลี้ยงในน้ำผสม AgNPs ขนาด 50 นาโนเมตร ตายที่เวลา 48 ชั่วโมง

ดังนั้นจึงสรุปได้ว่า AgNPs มีผลกระทบต่อการเจริญเติบโตของจอก ตามระดับความเข้มข้น ระยะเวลา และขนาดอนุภาคของ AgNPs ที่ได้รับ โดย AgNPs จะมีความพิษต่อจอกมากขึ้น เมื่อความเข้มข้นของ AgNPs และระยะเวลาที่ได้รับ เพิ่มขึ้น แต่จะแปรผันกับขนาดของอนุภาค AgNPs (7 นาโนเมตร มีความเป็นพิษมากกว่า 50 นาโนเมตร) ซึ่งจอกสามารถมีชีวิตอยู่ได้ในน้ำที่ปนเปื้อนด้วย AgNPs ที่ระดับความเข้มข้นต่ำ (น้อยกว่า 0.5 มิลลิกรัมต่อลิตร) สอดคล้องกับงานวิจัยของ Hanks *et al.* (2015) ที่พบร้าจะอกจะมีชีวิตอยู่ได้ที่ความเข้มข้นของ AgNPs 0.02 มิลลิกรัมต่อลิตร (>2 ชั่วโมง) และตายหากได้รับ AgNPs 2 มิลลิกรัมต่อลิตร อย่างไรก็ตามการทดลองนี้ใช้จอกเพียง 1 ตัวในการดูดซึม ซึ่งหากน้ำมี AgNPs ปนเปื้อนมาก อาจแก้ไขโดยการเพิ่มจำนวนจอกที่ใช้ดูดซึมสารพิษ (Hanks *et al.*, 2015)

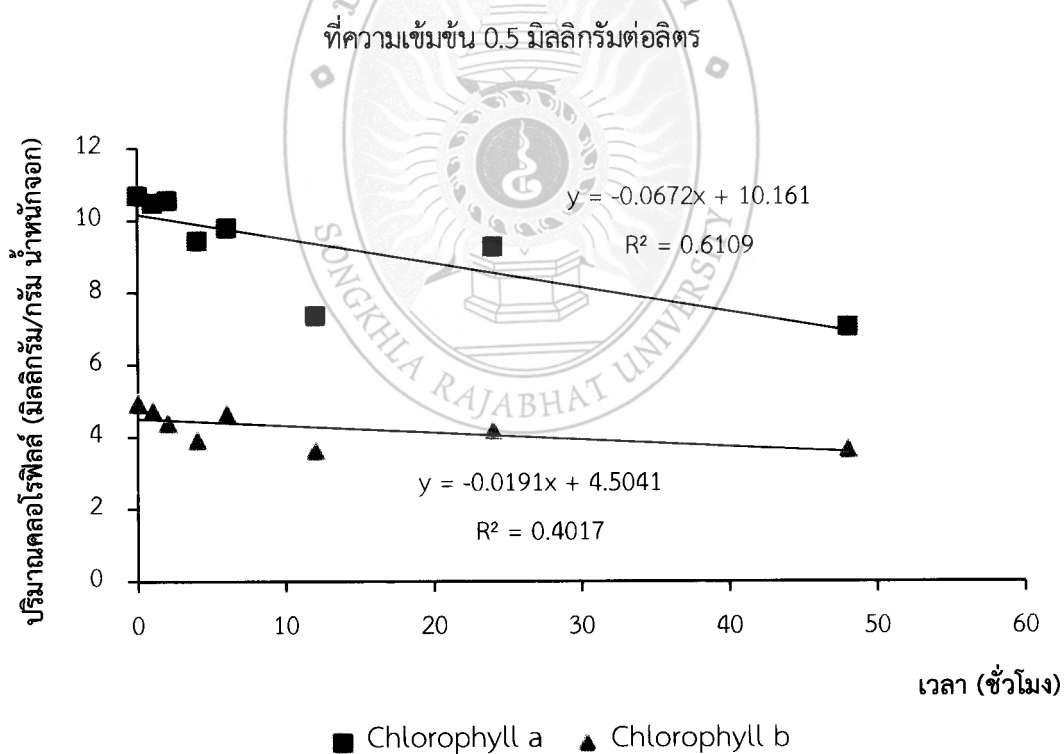
4.2.2 ผลการวิเคราะห์ปริมาณคลอรอฟิลล์ในจอก

นอกจากวิเคราะห์ลักษณะทางกายภาพของจอก การทดลองนี้ได้วิเคราะห์ปริมาณคลอรอฟิลล์ เอ และคลอรอฟิลล์ บี ในใบจอก ซึ่งปริมาณคลอรอฟิลล์ในพืชจะมีผลต่อการเจริญเติบโตของพืช เนื่องจากพืชต้องใช้คลอรอฟิลล์ในกระบวนการสังเคราะห์ด้วยแสง (photosynthesis) สร้าง

อาหาร ดังนั้นหากปริมาณคลอโรฟิลล์ในพืชลดลงจะส่งผลให้พืชมีการเจริญเติบโตของพืชลดลงหรือตายได้ และจะทำให้พืชมีสีเขียวลดลง โดยเฉพาะคลอโรฟิลล์ เอ ซึ่งเป็นโมเลกุลหลักในกระบวนการสังเคราะห์ด้วยแสง ส่วนคลอโรฟิลล์ บี จะเป็นโมเลกุลที่ช่วยให้กระบวนการสังเคราะห์ด้วยแสงเกิดได้ดีขึ้น ผลของปริมาณคลอโรฟิลล์ เอ และคลอโรฟิลล์ บี ในใบจากหลังจากได้รับ AgNPs ขนาด 7 และ 50 นาโนเมตร ที่ความเข้มข้น 0.5, 1 และ 2 มิลลิกรัมต่อลิตร ที่ระยะเวลาต่าง ๆ (ระยะเวลาที่ใช้ทดลอง 48 ชั่วโมง) พบร่วมกับ AgNPs ขนาด 7 นาโนเมตร ที่ระดับความเข้มข้น 0.5 มิลลิกรัมต่อลิตร ปริมาณคลอโรฟิลล์ เอ และคลอโรฟิลล์ บี มีแนวโน้มเพิ่มขึ้นเล็กน้อย (ความชัน (slope) เป็นบวก (+)) ซึ่งสอดคล้องกับลักษณะทางกายภาพของจาก (ข้อ 4.2.1) ที่พบว่า จอยังมีชีวิตอยู่ได้และในเริ่มมีสีเขียวปนเหลืองที่เวลา 48 ชั่วโมง แต่เมื่อความเข้มข้นของ AgNPs เพิ่มขึ้น (1 และ 2 มิลลิกรัมต่อลิตร) จะเห็นได้ว่า ปริมาณคลอโรฟิลล์ เอ และคลอโรฟิลล์ บี มีแนวโน้มลดลง เมื่อระยะเวลาในการได้รับสารเพิ่มขึ้น (ความชันเป็นลบ (-)) และยิ่งความเข้มข้นของ AgNPs สูงขึ้น ปริมาณคลอโรฟิลล์มีแนวโน้มลดลงเร็วขึ้น สังเกตได้จากการชั้นของกราฟ AgNPs ที่ความเข้มข้น 2 มิลลิกรัมต่อลิตร มีค่ามากกว่าความชันของกราฟของ AgNPs ที่ความเข้มข้น 1 มิลลิกรัมต่อลิตร ซึ่งสอดคล้องกับลักษณะทางกายภาพของจาก (ผลการทดลองในข้อที่ 4.2.1) ใบจากเริ่มอ่อนนิ่มและมีสีเขียวปนเหลืองที่ระยะเวลา 6 และ 4 ชั่วโมง และจากตากที่ระยะเวลา 48 และ 24 ชั่วโมง หลังได้รับ AgNPs ขนาด 7 นาโนเมตร ที่ความเข้มข้น 1 และ 2 มิลลิกรัมต่อลิตร ตามลำดับ และเมื่อพิจารณาถึงความสัมพันธ์ของปริมาณคลอโรฟิลล์ เอ ตามระยะเวลาที่ได้รับ AgNPs ขนาด 7 นาโนเมตร จะเห็นได้ว่า ที่ความเข้มข้น 1 mg/L มีค่า R^2 สูงสุด เท่ากับ 0.61 ในขณะเดียวกันความสัมพันธ์ของปริมาณคลอโรฟิลล์ บี ตามระยะเวลาที่ได้รับ AgNPs มีแนวโน้มค่อนข้างคงที่ ซึ่งมีค่า R^2 อยู่ในช่วง 0.40-0.44 แสดงดังภาพที่ 4.5-4.7

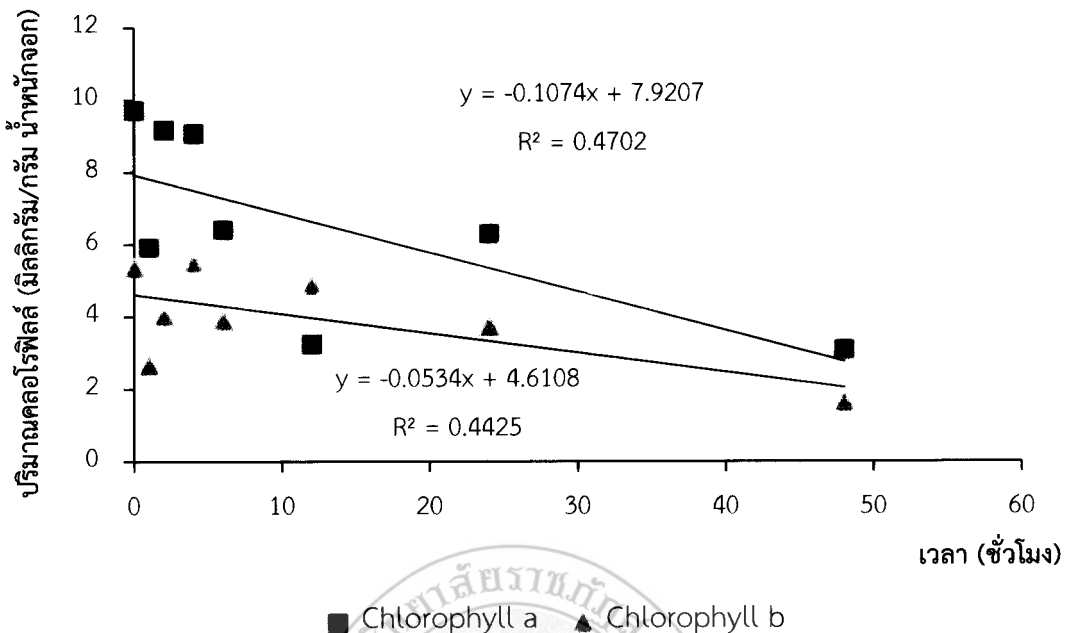


ภาพที่ 4.5 ปริมาณคลอโรฟิลล์ เอ และคลอโรฟิลล์ บี ในจาก หลังจากได้รับ AgNPs ขนาด 7 นาโนเมตร



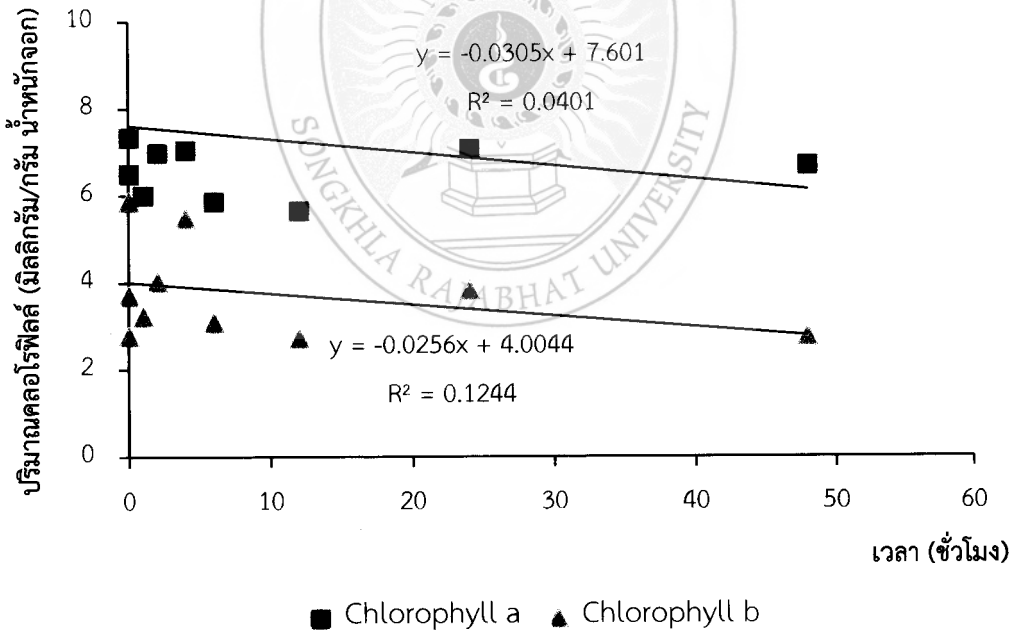
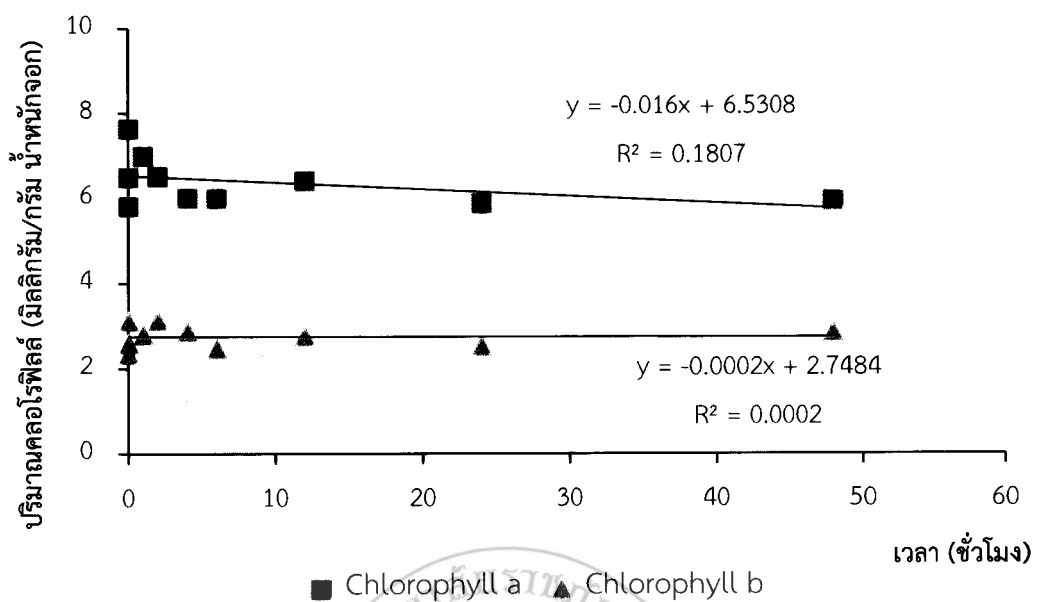
ภาพที่ 4.6 ปริมาณคลอโรฟิลล์ เอ และคลอโรฟิลล์ บี ในจาก หลังจากได้รับ AgNPs ขนาด 7 นาโนเมตร

ที่ความเข้มข้น 1 มิลลิกรัมต่อลิตร

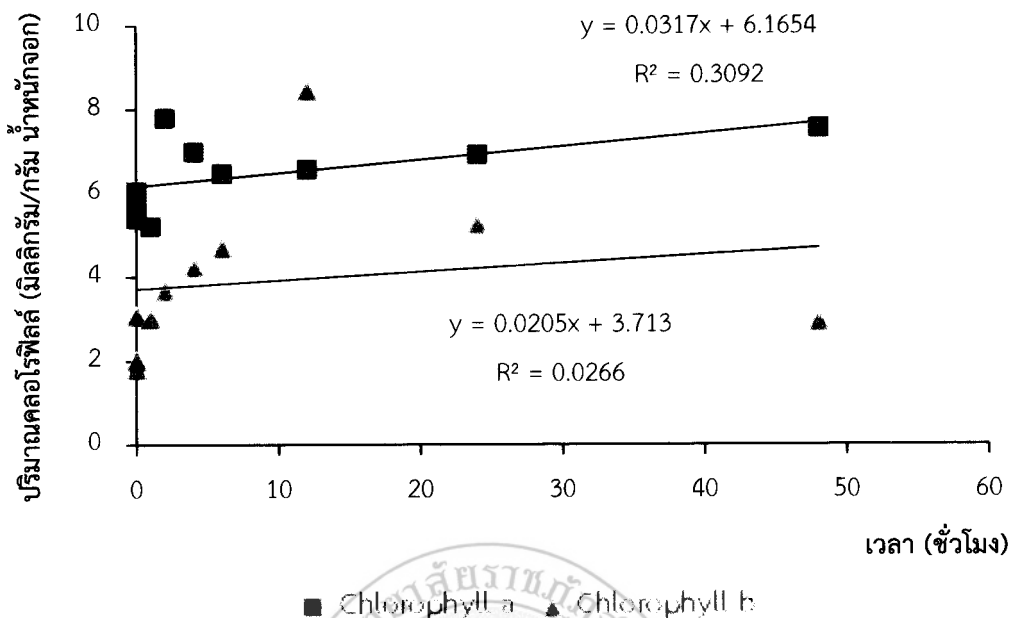


ภาพที่ 4.7 ปริมาณคลอโรฟิลล์ เอ และคลอโรฟิลล์ บี ในจอก หลังจากได้รับ AgNPs ขนาด 7 นาโนเมตร ที่ความเข้มข้น 2 มิลลิกรัมต่อลิตร

ส่วน AgNPs ขนาด 50 นาโนเมตร ที่ความเข้มข้น 0.5 และ 1 มิลลิกรัมต่อลิตร พบร่วมกัน ปริมาณคลอโรฟิลล์ เอ และคลอโรฟิลล์ บี มีแนวโน้มลดลงเล็กน้อย และที่ความเข้มข้น 2 มิลลิกรัมต่อลิตร จะเห็นได้ว่า ปริมาณคลอโรฟิลล์ เอ และคลอโรฟิลล์ บี ไม่ค่อยมีแนวโน้มลดลงมากนัก อาจเป็นไปได้ว่า AgNPs มีอนุภาคขนาดใหญ่และความเข้มข้นที่สูง ทำให้การดูดซึม AgNPs ของจอกเกิดขึ้นได้น้อย แต่ AgNPs จะทำลายเซลล์ราก ทำให้รากบางส่วนหลุดออกจากกัน ซึ่งจากการศึกษาลักษณะทางกายภาพของจอก (ตารางที่ 4.2) พบร่วมกันเริ่มมีลักษณะใบหงิกงอ เหี่ยว รากบางส่วนหลุดออกจากกัน ตั้งแต่ตัวอย่างที่เก็บที่เวลา 24 ชั่วโมง และพบร่วมกันต่อกันที่เวลา 48 ชั่วโมง (สิ้นสุดการทดลอง) จากผลการทดลองสามารถสรุปได้ว่า ความเข้มข้นของ AgNPs ขนาด 50 นาโนเมตร ที่ใช้ทดลองและระยะเวลาในการได้รับสาร ส่งผลต่อความเป็นพิษของ AgNPs ต่อจอก โดยจอกที่ได้รับ AgNPs ที่ความเข้มข้นสูงขึ้นและได้รับ AgNPs นานขึ้น มีแนวโน้มจะมีปริมาณปริมาณคลอโรฟิลล์ เอ และคลอโรฟิลล์ บี ลดลง และเมื่อพิจารณาถึงความสัมพันธ์ของปริมาณคลอโรฟิลล์ เอ ตามระยะเวลาที่ได้รับ AgNPs ขนาด 50 นาโนเมตร จะเห็นได้ว่า ที่ความเข้มข้น 2 mg/L มีค่า R^2 สูงสุดเท่ากับ 0.31 ในขณะที่ความสัมพันธ์ของปริมาณคลอโรฟิลล์ บี ตามระยะเวลาที่ได้รับ AgNPs มีค่า R^2 สูงสุดเท่ากับ 0.12 ที่ความเข้มข้น 1 mg/L แสดงดังภาพที่ 4.8-4.10



กราฟที่ 4.8 ปริมาณคลอโรฟิลล์ เอ และคลอโรฟิลล์ บี ในจาก หลังจากได้รับ AgNPs
ขนาด 50 นาโนเมตร ที่ความเข้มข้น 0.5 มิลลิกรัมต่อลิตร



ภาพที่ 4.10 ปริมาณคลอโรฟิลล์ เอ และคลอโรฟิลล์ บ ในจอก หลังจากได้รับ AgNPs

ขนาด 50 นาโนเมตร ที่ความเข้มข้น 2 มิลลิกรัมต่อลิตร

จากการศึกษาข้างต้นแสดงให้เห็นว่า AgNPs ขนาด 7 และ 50 นาโนเมตร มีผลต่อปริมาณคลอโรฟิลล์ เอ และคลอโรฟิลล์ บ ของจอก (พิจารณาจาก R^2) โดยจอกที่ได้รับ AgNPs มากขึ้น มีแนวโน้มจะมีปริมาณคลอโรฟิลลดลง จึงส่งผลทำให้ความสามารถในการสังเคราะห์ด้วยแสงของจอกลดลง ทำให้จอกตายได้ และความเป็นพิษต่อจอกของ AgNPs จะเพิ่มขึ้นตามปริมาณ AgNPs ในน้ำและระยะเวลาที่ได้รับสาร ซึ่งผลการทดลองสอดคล้องกับงานวิจัยของ Winkelmann et al. (2017) ได้ศึกษาผลของ AgNPs ต่อปริมาณคลอโรฟิลในพืช โดยใช้สาหร่ายเดนชา (*Egeria densa*) มาเลี้ยงในสารละลายน้ำ AgNPs เป็นระยะเวลา 2 สัปดาห์ พบร้า ปริมาณคลอโรฟิลล์ เอ และคลอโรฟิลล์ บ ในสาหร่ายเดนชาลดลง เมื่อสัมผัสกับสารละลายน้ำ AgNPs ที่ความเข้มข้นต่าง ๆ (ความเข้มข้น 0, 13, 25, 38 และ 51 มิลลิกรัมต่อลิตร) เป็นเวลา 1 สัปดาห์ อย่างไรก็ตาม เมื่อเปรียบเทียบความเป็นพิษต่อจอกของ AgNPs ขนาด 7 นาโนเมตร และ AgNPs ขนาด 50 นาโนเมตร พบร้า ขนาดอนุภาคของ AgNPs มีผลต่อความเป็นพิษต่อจอก โดย AgNPs ที่มีขนาดเล็ก (7 นาโนเมตร) จะมีความเป็นพิษมากกว่า AgNPs ที่มีขนาดใหญ่ (50 นาโนเมตร) ซึ่งจะเห็นได้ว่า จอกที่ได้รับ AgNPs ที่มีอนุภาคขนาดใหญ่กว่า (50 นาโนเมตร) จะแสดงความเป็นพิษมากกว่าจอกที่ได้รับ AgNPs อนุภาคขนาดเล็ก (7 นาโนเมตร) ที่เป็นเช่นนี้ อาจเนื่องจาก AgNPs ที่มีขนาดเล็กจะมีความว่องไวในการเกิดปฏิกิริยามากกว่า และสามารถเข้าไปในเนื้อเยื่อพืชได้ง่ายกว่า (Liu et al., 2010)

4.3. ผลการวิเคราะห์ตัวอย่างน้ำ

การทดลองนี้เก็บน้ำตัวอย่างเพื่อนำมาวิเคราะห์ pH และความเข้มข้นของ AgNPs ในน้ำ โดยเก็บตัวอย่างน้ำจากทั้ง 2 ชุดการทดลอง คือ ชุดการทดลองที่ 1 การศึกษาการสลายตัวของ AgNPs ในน้ำและชุดการทดลองที่ 2 การศึกษาประสิทธิภาพในน้ำที่ปนเปื้อนของ AgNPs โดยจอก

4.3.1 ผลการวิเคราะห์ pH ในตัวอย่างน้ำ

เมื่อเก็บตัวอย่างที่เวลาต่าง ๆ ตัวอย่างน้ำส่วนหนึ่งจะนำมารวัดค่า pH ด้วยเครื่อง pH meter เพื่อดูการเปลี่ยนแปลงค่า pH ของน้ำที่ปนเปื้อนด้วย AgNPs เนื่องจาก pH มีผลต่อการเจริญเติบโตของจุก ตัวอย่างน้ำที่ได้จะประกอบด้วยตัวอย่างน้ำจากชุดควบคุม ซึ่งจะเก็บตัวอย่างเมื่อเริ่มการทดลอง (เวลา 0 ชั่วโมง) และเมื่อสิ้นสุดการทดลอง (48 ชั่วโมง) ตัวอย่างน้ำจากการศึกษาการสลายตัวของ AgNPs ซึ่งจะมีเพียงสารแχวนลอย AgNPs (ตารางที่ 4.3 และภาพที่ 4.11) และการศึกษาประสิทธิภาพในการบำบัดน้ำที่ปนเปื้อนของ AgNPs โดยจอก ซึ่งจะมีสารแχวนลอย AgNPs และจอก ตารางที่ 4.4 และภาพที่ 4.12

ตารางที่ 4.3 ค่า pH ของตัวอย่างน้ำในการศึกษาการสลายตัวของ AgNPs

ความเข้มข้นของ AgNPs (mg/L)	ขนาดของ AgNPs (nm)	เวลาที่เก็บตัวอย่าง (ชั่วโมง)							
		0	1	2	4	6	12	24	48
0 (DI)	-	5.14	ND	ND	ND	ND	ND	ND	5.66
0.5	7	5.24	5.39	5.35	5.67	5.70	5.72	6.03	6.44
	50	5.89	5.65	5.71	5.70	5.71	5.85	5.84	5.88
1	7	5.54	5.81	6.22	6.17	5.97	5.88	5.57	6.19
	50	5.76	5.69	5.74	5.62	5.80	5.80	5.84	5.84
2	7	5.14	5.15	5.17	5.17	5.18	5.25	5.64	6.19
	50	6.00	5.88	5.88	5.85	5.80	5.87	6.00	6.06

หมายเหตุ: ND (not determined) หมายถึง ไม่ได้ตรวจวัด

DI (deionized water) หมายถึง น้ำปราศจากไอออน

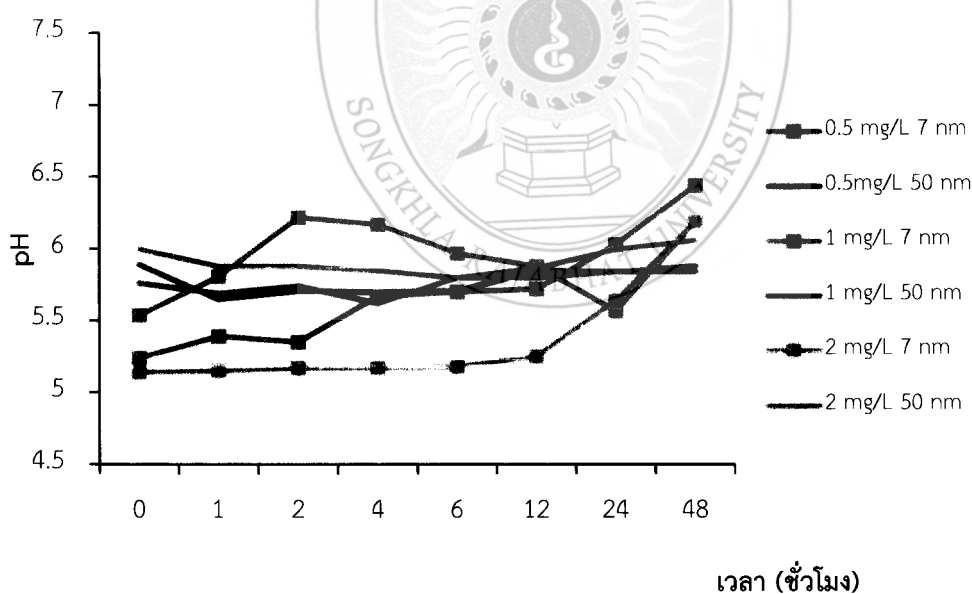
ตารางที่ 4.4 ค่า pH ของตัวอย่างน้ำในการศึกษาประสิทธิภาพของจอกในการบำบัดน้ำที่ปนเปื้อน AgNPs

ความเข้มข้นของ AgNPs (mg/L)	ขนาดของ AgNPs (nm)	เวลาที่เก็บตัวอย่าง (ชั่วโมง)							
		0	1	2	4	6	12	24	48
0 (DI+P)	-	5.66	ND	ND	ND	ND	ND	ND	6.15
0.5	7	5.24	6.23	6.19	6.79	6.15	6.24	6.29	6.72
	50	5.89	6.23	6.13	6.12	6.18	6.06	6.25	6.28
1	7	5.54	5.66	5.95	6.13	6.15	6.33	6.34	6.68
	50	5.80	5.99	6.10	6.06	6.13	6.00	6.17	6.55
2	7	5.14	5.67	5.73	5.83	5.88	6.02	6.39	6.74
	50	5.91	6.13	6.03	6.04	6.11	6.06	6.51	6.83

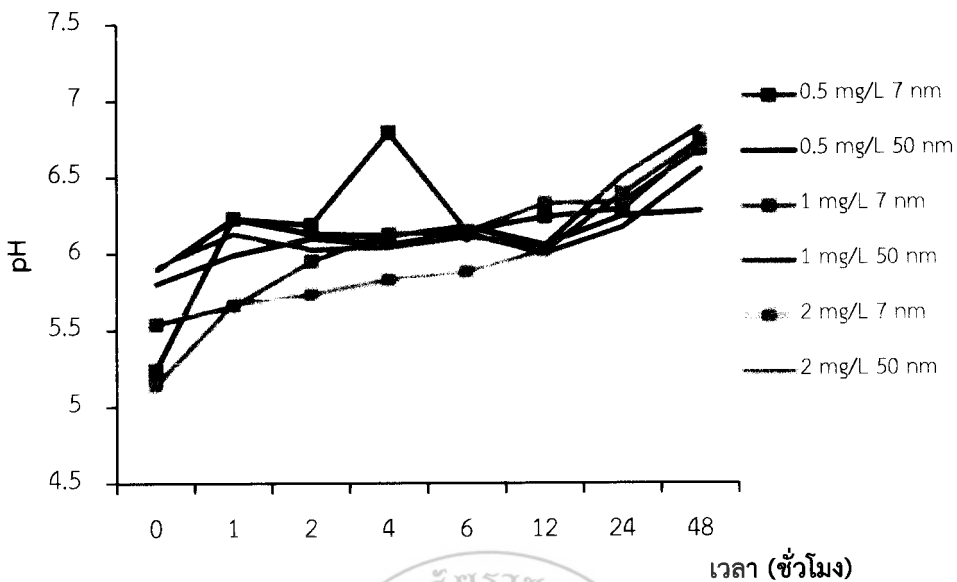
หมายเหตุ: ND (not determined) หมายถึง ไม่ได้ตรวจวัด

DI (deionized water) หมายถึง น้ำปราศจากไอออน

P (plant) หมายถึง จอก



ภาพที่ 4.11 ค่า pH ของตัวอย่างน้ำ AgNPs ในการศึกษาการสลายตัวของ AgNPs



ภาพที่ 4.12 ค่า pH ของตัวอย่างน้ำ AgNPs ในการศึกษาประสิทธิภาพของจอก ในการบำบัดน้ำที่ปนเปื้อน AgNPs

จากตารางที่ 4.3 และ 4.4 และภาพที่ 4.11 และ 4.12 พบว่า เมื่อระยะเวลาผ่านไปค่า pH มีแนวโน้มเพิ่มขึ้นเล็กน้อย โดยค่า pH ของน้ำอยู่ในช่วง 5-7 (ระหว่าง 5.14 - 6.83) และพบว่า น้ำที่มีจอกมีแนวโน้มที่จะมีค่า pH สูงกว่าน้ำที่ไม่มีจอก เนื่องจากจอกดูดซึมก้าชคาร์บอนไดออกไซด์ไปใช้ในกระบวนการสังเคราะห์ด้วยแสง ทำให้ปริมาณก้าชคาร์บอนไดออกไซด์ในน้ำลดลง ค่า pH ของน้ำจึงมีค่าสูงขึ้น (Robert, 2019) แต่อย่างไรก็ตาม การเปลี่ยนแปลงของค่า pH ในการทดลองไม่ได้มีการเปลี่ยนแปลงมากนัก และค่า pH ของน้ำในการทดลองนี้ยังอยู่ในช่วงที่จอกสามารถเจริญเติบโตได้ ซึ่งค่ามาตรฐานของ pH ในน้ำมีค่าระหว่าง 5.0 - 9.0 (กรมควบคุมมลพิษ, 2537) ดังนั้น ค่า pH ไม่น่าจะส่งผลกระทบต่อการเจริญเติบโตของจอก

4.3.2 ความเข้มข้นของ AgNPs ในตัวอย่างน้ำ

ในการทดลองครั้งนี้ ได้วิเคราะห์ความเข้มข้นของ AgNPs ในตัวอย่างน้ำด้วยเครื่อง UV-Visible spectrophotometer ที่ความยาวคลื่น (λ) ของ AgNPs ขนาด 7 นาโนเมตร เท่ากับ 395 นาโนเมตร และ AgNPs ขนาด 50 นาโนเมตร เท่ากับ 430 นาโนเมตร ซึ่งเก็บตัวอย่างน้ำจาก 2 ชุดการทดลอง คือ ชุดการทดลองที่ 1 การศึกษาการสลายตัวของ AgNPs ในน้ำ ส่วนชุดการทดลองที่ 2 การศึกษาประสิทธิภาพในน้ำที่ปนเปื้อนของ AgNPs โดยจอก ผลการทดลองที่ได้แสดงดังตารางที่ 4.5

ตารางที่ 4.5 ความเข้มข้นของ AgNPs ในน้ำที่เวลาต่าง ๆ

ชุดการทดลอง	ขนาด AgNPs (nm)	ความเข้มข้นเริ่มต้น (mg/L)	เวลาที่เก็บตัวอย่าง (ชั่วโมง)							
			0	1	2	4	6	12	24	48
1 การสลายตัวของ AgNPs	7	0 (DI)	0.000	ND	ND	ND	ND	ND	ND	0.000
		0.5	0.381	0.397	0.366	0.371	0.384	0.366	0.379	0.389
		1	0.959	0.961	0.956	0.974	1.006	0.969	0.948	0.980
		2	1.729	1.763	1.695	1.753	1.750	1.716	1.716	1.836
	50	0 (DI)	0.000	ND	ND	ND	ND	ND	ND	0.000
		0.5	0.752	0.758	0.747	0.781	0.741	0.775	0.764	0.769
		1	0.421	0.426	0.415	0.438	0.421	0.455	0.432	0.460
		2	1.442	1.425	1.459	1.459	1.402	1.472	1.453	1.498
2) การศึกษาประสิทธิภาพในการสลายตัวของ AgNPs โดยจอก	7	0(DI+P)	0.000	0.000	0.000	0.000	0.000	0.000	0.024	0.024
		0.5	0.439	0.400	0.387	0.384	0.394	0.384	0.363	0.324
		1	0.764	0.768	0.760	0.778	0.729	0.687	0.705	0.705
		2	1.685	1.591	1.685	1.599	1.361	1.304	1.327	1.445
	50	0(DI+P)	0.000	0.318	0.335	0.301	0.286	0.335	0.420	0.453
		0.5	0.741	0.735	0.724	0.724	0.696	0.707	0.640	0.606
		1	1.164	1.147	1.136	1.130	1.113	1.040	0.860	0.555
		2	2.287	2.298	2.275	2.179	2.168	2.106	1.892	1.452

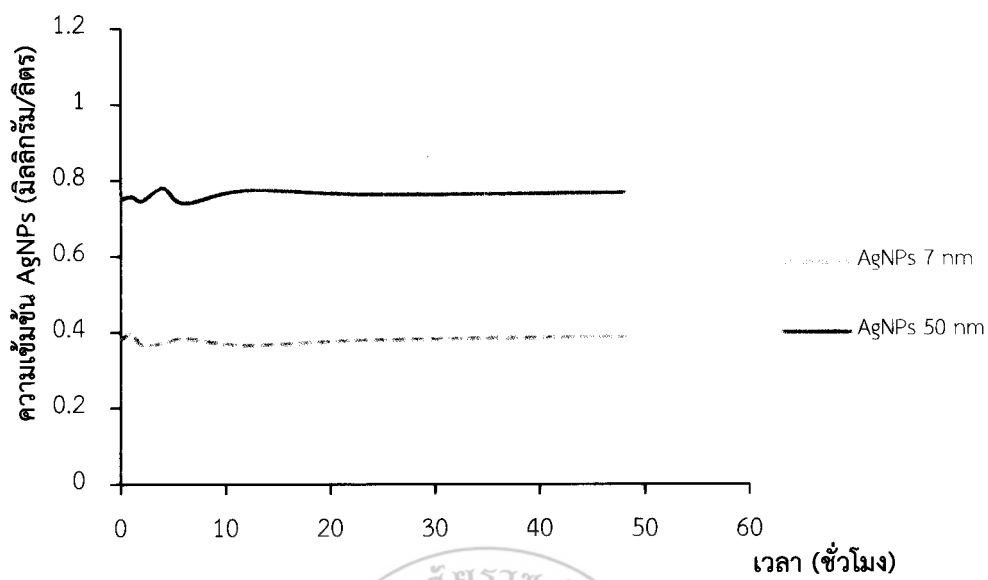
หมายเหตุ: ND (not determined) หมายถึง ไม่ได้ตรวจวัด

DI (deionized water) หมายถึง น้ำปราศจากไอออน

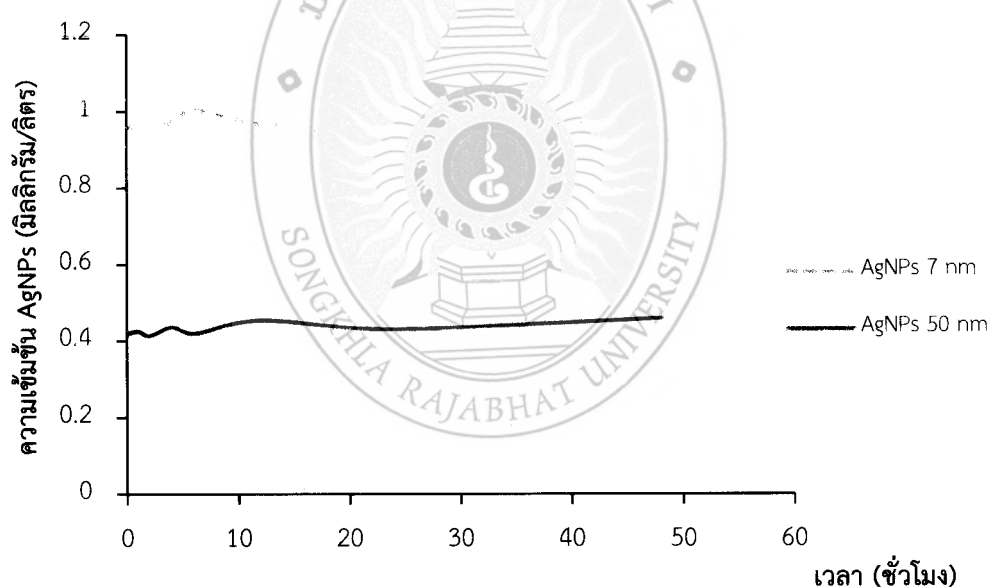
P (plant) หมายถึง จอก

1) การศึกษาการสลายตัวของ AgNPs

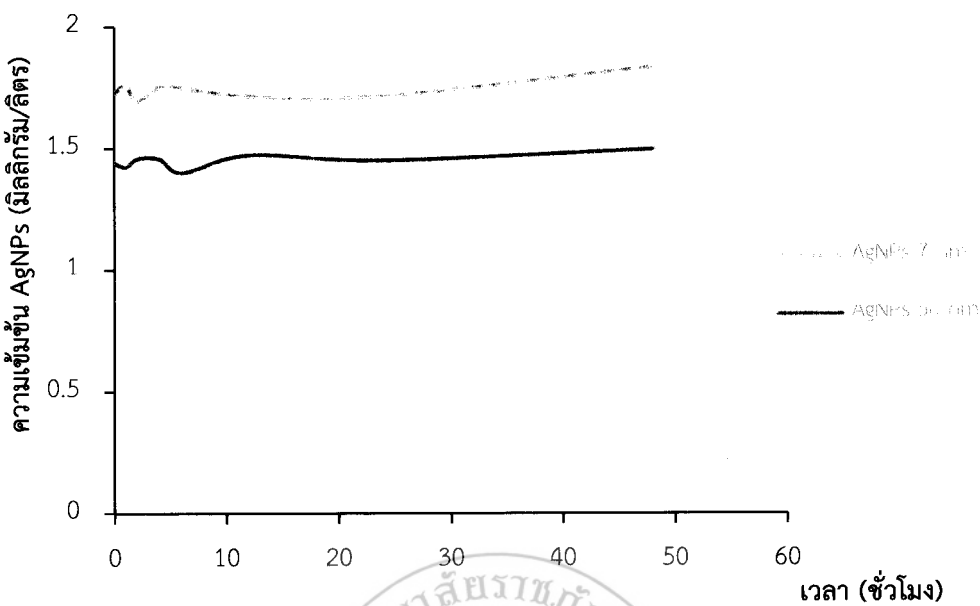
การศึกษาการสลายตัวของ AgNPs ตามธรรมชาติในสภาพที่ทดลอง ทำโดย เก็บตัวอย่างน้ำมาวิเคราะห์ปริมาณ AgNPs ที่เวลาต่าง ๆ โดยใช้เครื่อง UV-Visible spectrophotometer ผลการศึกษาแสดงดังตารางที่ 4.5 และดังภาพที่ 4.13-4.16



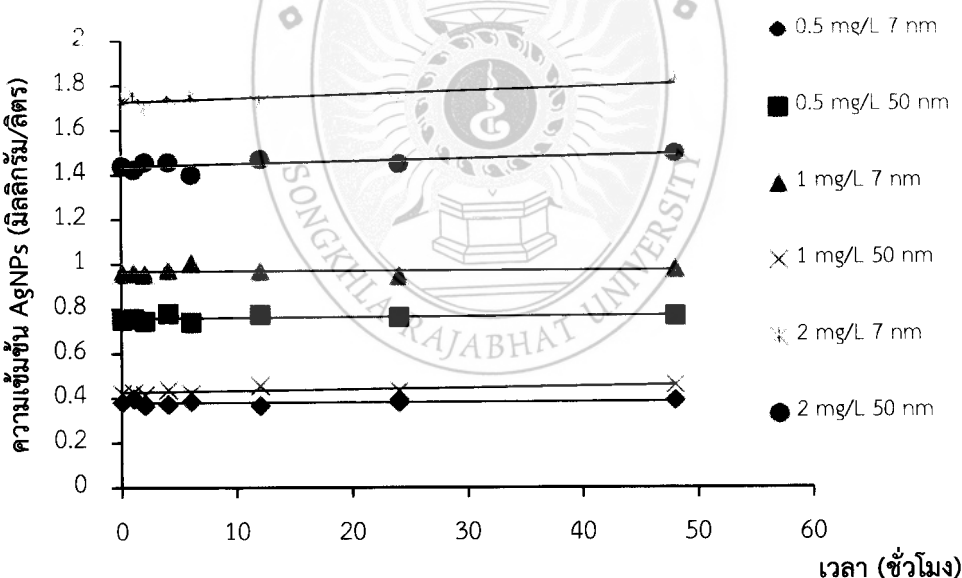
ภาพที่ 4.13 การสลายตัวของ AgNPs ที่มีความเข้มข้นเริ่มต้น 0.5 มิลลิกรัมต่อลิตร



ภาพที่ 4.14 การสลายตัวของ AgNPs ที่มีความเข้มข้นเริ่มต้น 1 มิลลิกรัมต่อลิตร



ภาพที่ 4.15 การสลายตัวของ AgNPs ที่มีความเข้มข้นเริ่มต้น 2 มิลลิกรัมต่อลิตร



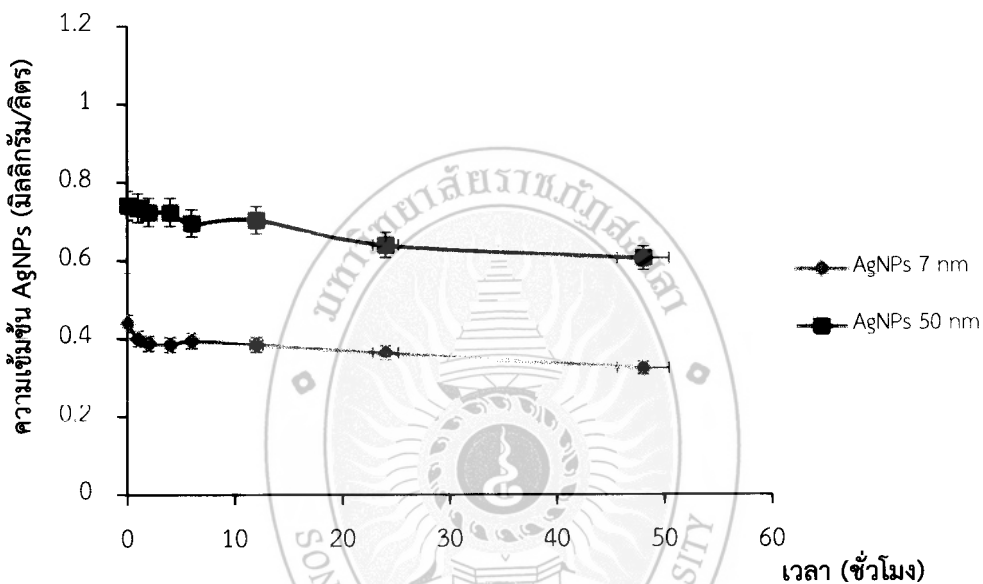
ภาพที่ 4.16 ความสัมพันธ์ระหว่างความเข้มข้นของ AgNPs ขนาด 7 และ 50 นาโนเมตร
ในการศึกษาการสลายตัวของ AgNPs ที่เวลาต่าง ๆ

จากภาพที่ 4.13-4.16 พบว่า เมื่อระยะเวลาผ่านไป ความเข้มข้นของ AgNPs ในน้ำมีการเปลี่ยนแปลงไม่มากนัก ซึ่งจากการทดลองแสดงให้เห็นว่า AgNPs ในน้ำเกิดการสลายตัวในสภาพที่ทดลองได้น้อย ในช่วงระยะเวลาที่ 48 ชั่วโมง ดังนั้น เมื่อ AgNPs ลงสู่สิ่งแวดล้อม อาจเป็นไปได้ว่า AgNPs อาจเกิดการสลายตัวตามธรรมชาติได้น้อย จึงควรมีการบำบัด AgNPs ก่อนปล่อยออกสู่

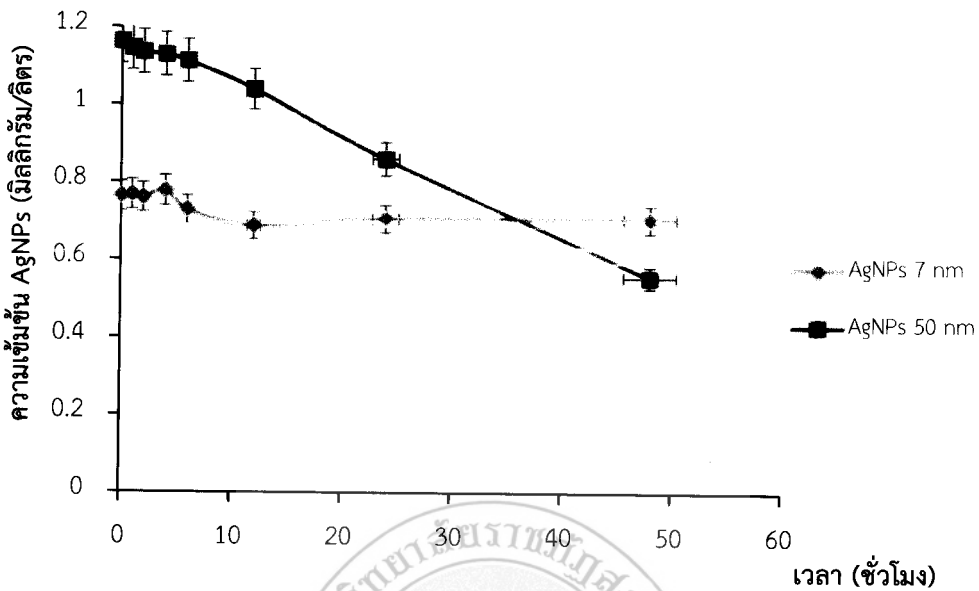
ธรรมชาติ ดังนั้น หากปริมาณ AgNPs ในน้ำที่มีจอกในการทดลองนี้ลดลง น่าจะเกิดจากการที่จอกดูดซึม AgNPs เข้าไป ซึ่งแสดงว่า ความสามารถนำมารับดูด AgNPs ออกจากน้ำได้

2) การศึกษาประสิทธิภาพการบำบัดน้ำที่ปนเปื้อนด้วย AgNPs โดยจอก

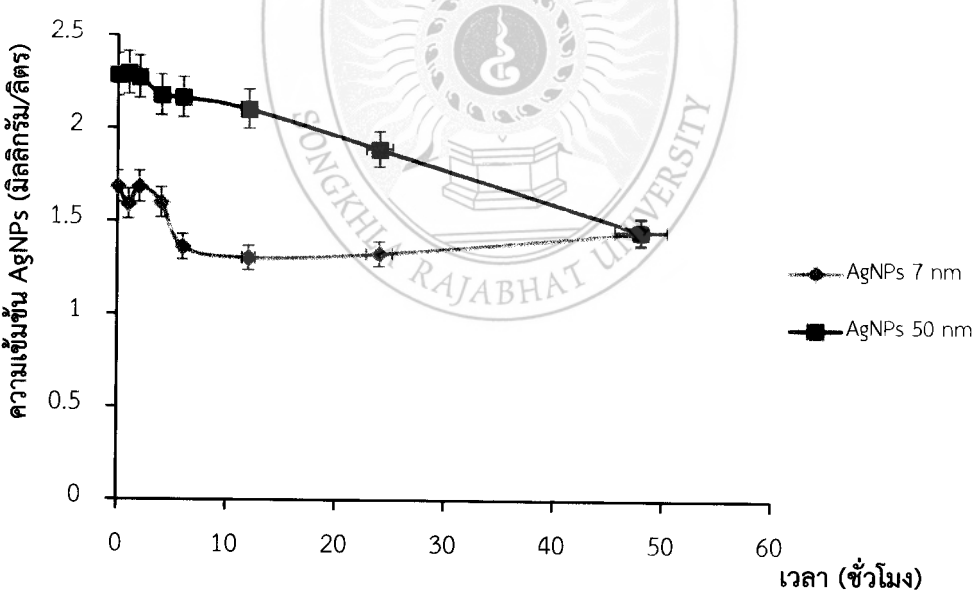
ในชุดการทดลองของการศึกษาประสิทธิภาพของจอกในการบำบัดน้ำที่ปนเปื้อนด้วย AgNPs ที่มีขนาด 7 และ 50 นาโนเมตร โดยควบคุมอุณหภูมิการทดลองที่ 25 ± 2 องศาเซลเซียส ได้ผลการทดลองดังตารางที่ 4.5 และภาพที่ 4.17-4.20



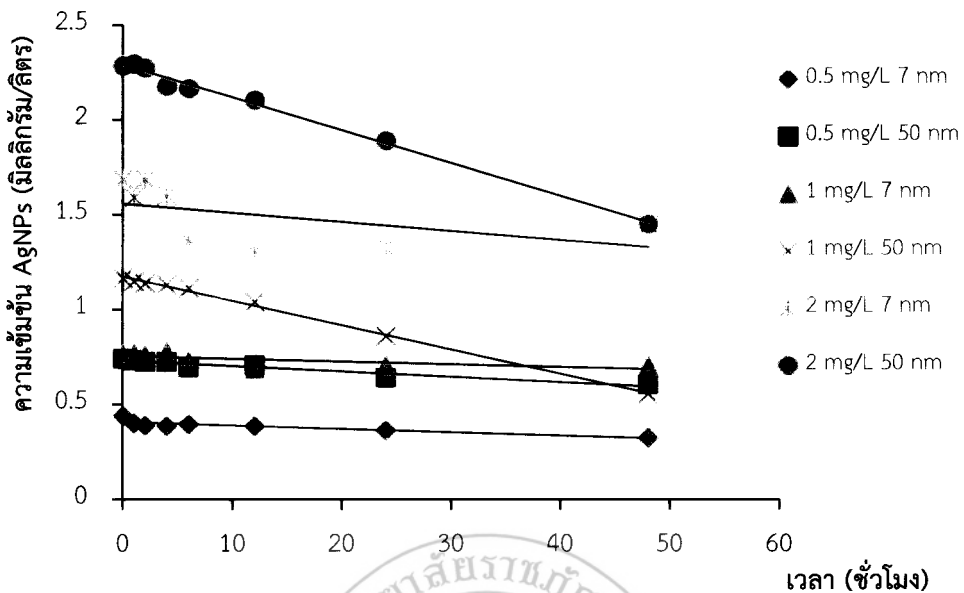
ภาพที่ 4.17 ความเข้มข้นของ AgNPs ในน้ำที่เวลาต่าง ๆ ในการศึกษาประสิทธิภาพของจอกในการบำบัดน้ำที่ปนเปื้อนด้วย AgNPs 0.5 มิลลิกรัมต่อลิตร



ภาพที่ 4.18 ความเข้มข้นของ AgNPs ในน้ำที่เวลาต่าง ๆ ในการศึกษาประสิทธิภาพของจอกในการบำบัดน้ำที่ปนเปื้อนด้วย AgNPs 1 มิลลิกรัมต่อลิตร



ภาพที่ 4.19 ความเข้มข้นของ AgNPs ในน้ำที่เวลาต่าง ๆ ในการศึกษาประสิทธิภาพของจอกในการบำบัดน้ำที่ปนเปื้อนด้วย AgNPs 2 มิลลิกรัมต่อลิตร



ภาพที่ 4.20 ความสัมพันธ์ระหว่างความเข้มข้นของ AgNPs ขนาด 7 และ 50 นาโนเมตรในการศึกษาประสิทธิภาพของการบำบัดน้ำที่ปนเปื้อนด้วย AgNPs ที่เวลาต่าง ๆ

จากภาพที่ 4.17-4.20 พบร้า จอกสามารถบำบัด AgNPs ในน้ำได้ แต่ความสามารถในการบำบัดจะขึ้นอยู่กับขนาดของ AgNPs และระดับความเข้มข้นของ AgNPs โดยน้ำที่ปนเปื้อนด้วย AgNPs ขนาด 7 นาโนเมตร ที่ความเข้มข้น 0.5 มิลลิกรัมต่อลิตร จอกมีลักษณะใบเริ่มอ่อนนิ่ม มีสีเขียวปนเหลือง ที่เวลา 48 ชั่วโมง ในขณะที่ความเข้มข้น 1 และ 2 มิลลิกรัม จอกมีลักษณะใบเริ่มอ่อนนิ่ม มีสีเขียวปนเหลือง ที่เวลา 6 และ 4 ชั่วโมง และตายที่เวลา 24 และ 48 ชั่วโมง ตามลำดับ ส่วนน้ำที่ปนเปื้อนด้วย AgNPs ขนาด 50 นาโนเมตร ที่ความเข้มข้น 0.5 มิลลิกรัมต่อลิตร จอกมีลักษณะใบเริ่มอ่อนนิ่ม มีสีเขียวปนเหลือง ที่เวลา 48 ชั่วโมง ในขณะที่ความเข้มข้น 1 และ 2 มิลลิกรัมต่อลิตร จอกมีลักษณะใบเริ่มอ่อนนิ่ม มีสีเขียวปนเหลือง ที่เวลา 24 และ 12 ชั่วโมง ตามลำดับ และตายเมื่อได้รับ AgNPs ขนาด 50 นาโนเมตร ที่ความเข้มข้น 2 มิลลิกรัมต่อลิตร นาน 48 ชั่วโมง

ดังนั้นจึงสรุปได้ว่า ขนาดอนุภาคและความเข้มข้นของ AgNPs มีผลต่อความเป็นพิษของจอกโดย AgNPs ที่มีขนาดเล็ก (7 นาโนเมตร) จะมีความเป็นพิษมากกว่า AgNPs ขนาดใหญ่ (50 นาโนเมตร) เนื่องจากอนุภาคขนาดเล็กมีแนวโน้มที่จะแพร่ผ่านเนื้อเยื่อจากง่ายกว่า ทำให้เข้าไปในจอกได้เร็วกว่า (พรพิมล ห่อสุวรรณชัย, 2542)

นอกจากนี้ จะเห็นได้ว่า ระดับความเข้มข้นเริ่มต้นของ AgNPs มีผลต่อการดูดซึมของจอกโดยในช่วงระยะเวลาแรก จอกจะสามารถดูดซึมได้มาก เนื่องจากที่ระดับความเข้มข้นของ AgNPs สูงจะทำให้การแพร่ของ AgNPs สู่เซลล์ของจอกเกิดอย่างรวดเร็ว และเมื่อระยะเวลาไป ปริมาณความเข้มข้นในน้ำลดลง เนื่องจาก AgNPs ถูกสะสมไว้ในตัวจอก (ลัดดาวัลย์ ผ่องบ้านโขeng, 2550)

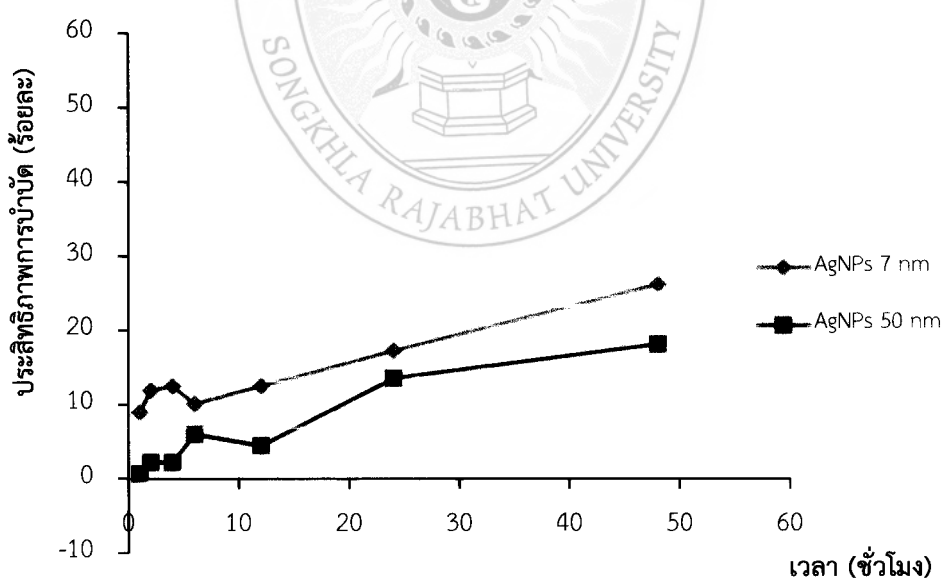
4.4 ผลการศึกษาประสิทธิภาพในการบำบัดน้ำที่ปนเปื้อนด้วย AgNPs ของจอก

จากการนำจอกไปทดลองดูดซึม AgNPs ที่ปนเปื้อนอยู่ในน้ำ เพื่อวิเคราะห์ประสิทธิภาพของจอกในการบำบัดน้ำที่ปนเปื้อนด้วย AgNPs นั้น ได้ผลการทดลองดังตารางที่ 4.6 และภาพที่ 4.21-4.23

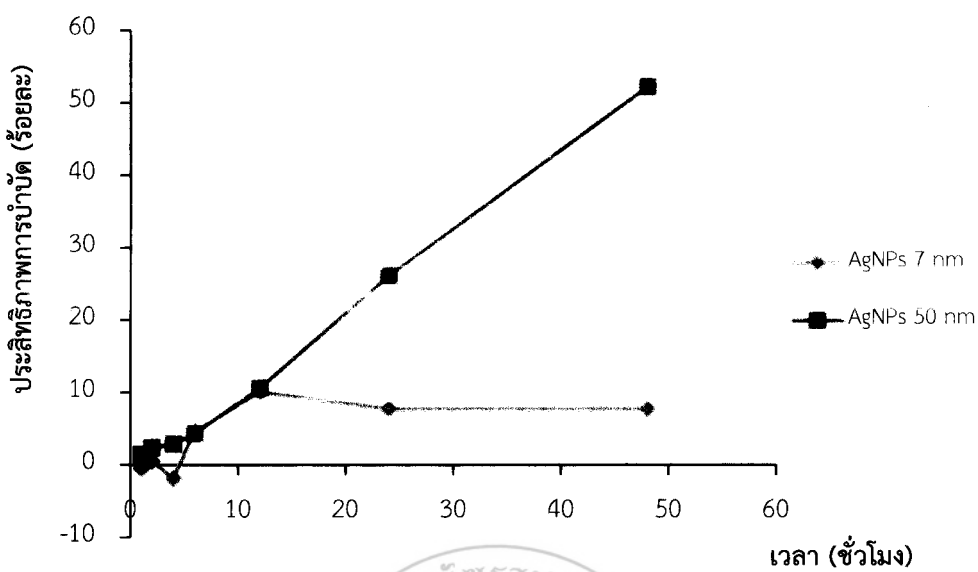
ตารางที่ 4.6 ประสิทธิภาพของจอกในการบำบัด AgNPs

ขนาด AgNPs (nm)	ความเข้มข้น ของ AgNPs (mg/L)	ร้อยละประสิทธิภาพการบำบัดที่เวลาต่าง ๆ (ชั่วโมง)							
		0	1	2	4	6	12	24	48
7	0.5	0.00	8.96	11.93	12.53	10.15	12.53	17.29	26.21
	1	0.00	N/A	0.50	N/A	4.60	10.07	7.68	7.68
	2	0.00	5.58	N/A	5.12	19.23	22.64	21.24	14.27
50	0.5	0.00	0.75	2.27	2.27	6.07	4.55	13.69	18.25
	1	0.00	1.44	2.41	2.90	4.35	10.65	26.15	52.32
	2	0.00	N/A	0.51	4.71	5.20	7.91	17.28	36.52

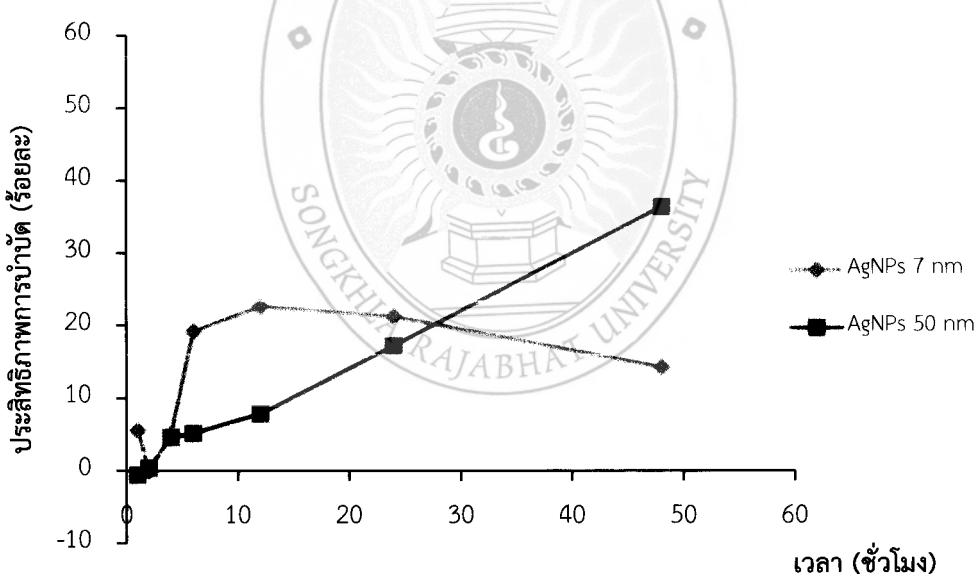
หมายเหตุ: N/A (not applicable) หมายถึง ค่าต่ำกว่า detection limit



ภาพที่ 4.21 ประสิทธิภาพของจอกในการบำบัด AgNPs ขนาด 7 และ 50 นาโนเมตรที่เวลาต่าง ๆ ที่ความเข้มข้น 0.5 มิลลิกรัมต่อลิตร



ภาพที่ 4.22 ประสิทธิภาพของจอกในการบำบัด AgNPs ขนาด 7 และ 50 นาโนเมตรที่เวลาต่าง ๆ ที่ความเข้มข้น 1 มิลลิกรัมต่อลิตร



ภาพที่ 4.23 ประสิทธิภาพของจอกในการบำบัด AgNPs ขนาด 7 และ 50 นาโนเมตรที่เวลาต่าง ๆ ที่ความเข้มข้น 2 มิลลิกรัมต่อลิตร

จากตารางที่ 4.6 และภาพที่ 4.21–4.23 พบร ฯ จอกสามารถบำบัดน้ำที่ปนเปื้อนด้วย AgNPs ได้ เมื่อเปรียบเทียบประสิทธิภาพของจอกในการบำบัดน้ำที่ปนเปื้อนด้วย AgNPs ทั้ง 2 ขนาด จอกมีแนวโน้มในการบำบัด AgNPs ขนาด 7 นาโนเมตร ได้เร็วกว่า AgNPs ขนาด 50 นาโนเมตร เนื่องจาก AgNPs ขนาด 7 นาโนเมตรมีขนาดอนุภาคเล็กกว่า ทำให้เข้าสู่จอกได้เร็วกว่า แต่จะมีความ

เป็นพิษมากกว่า ซึ่งประสิทธิภาพการบำบัดจะเพิ่มขึ้นเมื่อเวลาผ่านไปมากขึ้น และจะค่อย ๆ ลดลง เมื่อการเจริญเติบโตของจุลคลัง จากการเปรียบเทียบประสิทธิภาพของจอกในการบำบัดน้ำที่ปนเปื้อนด้วย AgNPs ขนาด 7 และ 50 นาโนเมตร โดยใช้สถิติแบบ t-test (ภาคผนวก ค) พบว่า ประสิทธิภาพของจอกในการบำบัดน้ำที่ปนเปื้อนด้วย AgNPs ขนาด 7 และ 50 นาโนเมตร แตกต่างกันอย่างมีนัยสำคัญทางสถิติ ($p<0.05$) แสดงให้เห็นว่าขนาดของอนุภาคมีผลต่อประสิทธิภาพในการบำบัด AgNPs ด้วยจอก โดยจอกมีประสิทธิภาพในการบำบัดน้ำที่ปนเปื้อนด้วย AgNPs ขนาด 7 นาโนเมตร ได้ดีที่ระดับต่ำกว่าความเข้มข้น 0.5 มิลลิกรัมต่อลิตร ส่วนน้ำที่ปนเปื้อนด้วย AgNPs ขนาด 50 นาโนเมตร จอกมีประสิทธิภาพในการบำบัดได้ดีที่ความเข้มข้น 1 มิลลิกรัมต่อลิตร ในการศึกษานี้ จอกมีประสิทธิภาพในการบำบัดน้ำที่ปนเปื้อน AgNPs ขนาด 20 ± 10 นาโนเมตร ที่ระดับความเข้มข้นไม่เกิน 0.5 มิลลิกรัมต่อลิตร ซึ่งสอดคล้องกับงานวิจัยของ Hanks *et al.* (2015) ที่พบร่วมกับ สามารถใช้บำบัดน้ำที่ปนเปื้อนด้วย AgNPs ที่ความเข้มข้น 0.02 มิลลิกรัมต่อลิตร และที่ความเข้มข้น 2 mg/L ทำให้จอกตาย



บทที่ 5

สรุปผลการวิจัยและข้อเสนอแนะ

จากการศึกษาผลของขนาดอนุภาคต่อประสิทธิภาพในการบำบัดน้ำที่ปนเปื้อนด้วย AgNPs โดยจาก โดยศึกษา AgNPs 2 ขนาด คือ ขนาด 7 และ 50 นาโนเมตร ที่ระดับความเข้มข้น 0.5, 1 และ 2 มิลลิกรัมต่อลิตร ซึ่งแบ่งชุดการทดลองออกเป็น 2 ชุดการทดลอง คือ ชุดการทดลองที่ 1 ศึกษาการสลายตัวของ AgNPs ชุดการทดลองที่ 2 ศึกษาประสิทธิภาพของจากการบำบัดน้ำที่ปนเปื้อนด้วย AgNPs และเก็บตัวอย่างที่เวลา 0, 1, 2, 4, 6, 12, 24 และ 48 ชั่วโมง สามารถสรุปผลการทดลองได้ดังนี้

5.1 สรุปผลการวิจัย

การทดลองครั้งนี้ เป็นการทดลองที่ใช้จากในการบำบัดน้ำที่ปนเปื้อนด้วย AgNPs เนื่องจากมีต้นทุนต่ำ ประหยัดพลังงาน อีกทั้งยังเป็นวิธีที่เป็นมิตรต่อสิ่งแวดล้อม แต่ในขณะเดียวกันการใช้วิธีนี้มีข้อเสีย คือ ใช้ระยะเวลานานในการบำบัด และ AgNPs อาจมีความเป็นพิษต่อจุก ทำให้ไม่สามารถบำบัดน้ำที่ปนเปื้อนด้วย AgNPs ที่ความเข้มข้นสูง ๆ ได้

จากการทดลอง พบร้า จอกสามารถนำมาใช้ในการบำบัดน้ำที่ปนเปื้อนด้วย AgNPs ได้ที่ความเข้มข้นต่ำ คือ ความเข้มข้น ≤ 0.5 มิลลิกรัมต่อลิตร โดยจะเห็นได้ว่า เมื่อระยะเวลาเพิ่มขึ้น ปริมาณ AgNPs ในน้ำลดลง สภาพของจอกเริ่มมีการเปลี่ยนแปลง เริ่มตั้งแต่ใบเริ่มอ่อนนิ่ม มีสีเหลืองจนรากรหลุดและตาย อีกทั้งยังพบว่า ปริมาณคลอรอฟิลล์ในน้ำลดลง เมื่อได้รับ AgNPs เพิ่มขึ้น

เมื่อเปรียบเทียบประสิทธิภาพของจอกในการบำบัดน้ำที่ปนเปื้อนด้วย AgNPs ทั้ง 2 ขนาด พบร้า จอกสามารถกำจัด AgNPs ขนาด 7 นาโนเมตร ได้เร็กว่า AgNPs ขนาด 50 นาโนเมตร เนื่องจาก AgNPs ขนาด 7 นาโนเมตรมีขนาดอนุภาคเล็กกว่า จึงเข้าสู่จอกได้เร็วกว่า แต่จะส่งผลให้มีความเป็นพิษมากกว่า ทำให้จอกที่ได้รับ AgNPs ขนาด 7 นาโนเมตร ตายเร็วกว่าจอกที่ได้รับ AgNPs ขนาด 50 นาโนเมตร

ดังนั้นจึงสรุปได้ว่า จอกสามารถบำบัดน้ำที่ปนเปื้อนด้วย AgNPs ขนาด 7 และ 50 นาโนเมตร ได้ โดยขนาด ความเข้มข้น และระยะเวลาที่ได้รับ AgNPs มีผลต่อประสิทธิภาพในการบำบัดของจอก และสามารถใช้จอกบำบัดน้ำที่ปนเปื้อนด้วย AgNPs ที่ความเข้มข้นไม่เกิน 0.5 มิลลิกรัมต่อลิตร

5.2 ข้อเสนอแนะ

- 1) ควรเลือกใช้เครื่องมือวิเคราะห์ที่ลະเอียด และมีประสิทธิภาพมากขึ้น โดยที่สามารถวิเคราะห์ Ag^+ และ AgNPs โดยตรง เช่น เครื่อง atomic absorption spectroscopy (AAS) หรือเครื่อง inductivity couple plasma-optical emission spectrometer (ICP-OES)
- 2) ควรเพิ่มระยะเวลาการทดลองให้นานขึ้น เพื่อให้สามารถสังเกตการณ์จริงๆได้
- 3) ควรทำการทดลองซ้ำ เพื่อให้ได้ผลที่มีความถูกต้อง แม่นยำ และน่าเชื่อถือมากขึ้น
- 4) ควรวิเคราะห์ปริมาณ AgNPs ในตัวอย่างจาก เพื่อเพิ่มความถูกต้อง และแม่นยำของผลการทดลอง
- 5) ในการทดลองอาจจะใช้พืชน้ำชนิดอื่นร่วมกับจาก เพื่อเปรียบเทียบประสิทธิภาพการบำบัดสาร AgNPs
- 6) ในการศึกษาครั้งต่อไป ควรนำน้ำเสียจากแหล่งกำเนิดจริงหรืออย่างไม่ผ่านการบำบัดใด ๆ มาทำการทดลอง



บรรณานุกรม

กรมควบคุมมลพิช. (2537). มาตรฐานคุณภาพน้ำ. (Online). http://www.pcd.go.th/info_serv/reg_std_water04.html, 22 พฤศจิกายน 2560.

กรมควบคุมมลพิช. (2541). คู่มือการเก็บตัวอย่างน้ำ. (Online). http://infofile.pcd.go.th/water/analysis_waste.pdf, 22 พฤศจิกายน 2561.

ดวงรัตน์ อินทร. (2554). เทคโนโลยีการบำบัดดินและน้ำที่ปนเปื้อนโลหะหนักโดยใช้พืช. <http://ns2.ph.mahidol.ac.th/phklb/knowledgefiles/2.pdf>, 20 กันยายน 2560.

พรพิมล ห่อสุวรรณชัย. (2542). การบำบัดโลหะหนังบางชนิดในน้ำเสียขุนทดโดยวิธีหม้อรอง. วิทยานิพนธ์ปริญญาโท มหาวิทยาลัยเกษตรศาสตร์.

ภาควิชี ประประเสริฐ. (2550). สรีริวิทยาของพืช. กรุงเทพมหานคร: โอเดียนสโตร์.

มหาวิทยาลัยเรศวร. (2551). ข้อมูลความปลอดภัยของวัสดุนาโน. (Online). <http://web.eng.ku.ac.th/eng2012/ceri/nanodatabase/info.php>, 18 กันยายน 2560.

มาลียา เครื่อตราชู. (2553). การบำบัดดินและน้ำที่ปนเปื้อนด้วยสารตะกั่วโดยใช้พืช. (Online). <http://www.eht.sc.mahidol.ac.th/article/509>, 20 กันยายน 2560.

ลัดดาวลัย ฉ่องบ้านโข้ง. (2550). การศึกษาความสามารถในการดูดซึมโลหะหนักที่ปนเปื้อนในน้ำด้วยสาหร่ายเน็นด้วย. ปัญหาพิเศษปริญญาตรี มหาวิทยาลัยเกษตรศาสตร์.

วงศ์พาก จำปา. (2551). การศึกษาความสามารถในการดูดซึมโลหะหนักในน้ำที่ปนเปื้อนด้วยสาหร่ายพุ่งจะได. ปัญหาพิเศษปริญญาตรี มหาวิทยาลัยเกษตรศาสตร์.

สิริพร บริรักษ์สิทธิศักดิ์. (2549). การบำบัดน้ำที่ปนเปื้อนด้วยสารกลุ่ม BTEX โดยพุทธรักษานในระบบบีบประดิษฐ์แบบน้ำไหลผ่านชั้นกรองในแนวอน. วิทยานิพนธ์ปริญญาโท ภาควิชา วิทยาศาสตร์สิ่งแวดล้อม คณะวิทยาศาสตร์ มหาวิทยาลัยศิลปากร.

สุชาดา ศรีเพ็ญ. (2542). พรรณไม่น้ำในประเทศไทย. กรุงเทพมหานคร: ออมรินทร์พรินติ้งแอนด์พับลิชชิ่ง.
สุพิณ แสงสุข. (2550). นาโนเทคโนโลยีและความปลอดภัย. สถาบันวิจัยโลหะและวัสดุ. (Online). <http://www.material.chula.ac.th/Articles/article1.html>, 18 กันยายน 2560.

บรรณานุกรม (ต่อ)

- Asharani, P. V., Nair, G., Zhiyuan, H., Manoor, P., and Valiyaveettil, S. (2007). Potential health impacts of silver nanoparticles. In **ACS National Meeting**. Boston, MA and USA, 19-23.
- Asharani, P. V., Wu, Y. L., Gong, Z., and Valiyaveettil, S. (2008). Toxicity of silver nanoparticle in zebrafish models. **Nanotechnology**. 19(25), 255102-1 - 255102-8.
- Baker, A. J. M. (1981). Accumulators and excluders strategies in the response of plants to heavy metals. **Plant Nutrient**. 3(1-4), 643-654.
- Bar-Ilan, O., Ralph, M., Albrecht, V. E. and Furgeson, D. Y. (2009). Toxicity assessments of multisized gold and silver nanoparticles in zebrafish embryos. **Small**. 5(16), 1897-1910.
- Buric, P., Jaksic, Z., Stajner, L., Sikiric, M. D., Jurasin, D., Cascio, L. and Lyons, D. M. (2015). Effect of silver nanoparticles on Mediterranean Sea urchin embryonal development is species specific and depends on moment of first exposure. **Marine Environmental Research**. 111, 50-59.
- Chaloupka, K., Malam, Y. and Seifalian, A. M. (2010). Nanosilver as a new generation of nanoproduct in biomedical applications. **Trends in Biotechnology**. 28(10), 580-588.
- Dastjerdi, R. and Montazer, M. (2010). A review on the application of inorganic nanostructured materials in the modification of textiles: Focus on anti-microbial properties. **Colloids Surf B Biointerfaces**. 79(1), 5-18.
- EPA. (2003). **Maximum contaminant level (MCLs) for drinking water**. (Online). <https://www.epa.gov/safewater>, October 3, 2017.

บรรณานุกรม (ต่อ)

- Martinez-Castanon, G. A., Nino-Martinez, N., Martinez-Gutierrez, F., Martinez-Mendoza, J. R. and Ruiz, F. (2008). Synthesis and antibacterial activity of silver nanoparticles with different sizes. *Journal of Nanoparticle Research.* 10(8), 1343-1348.
- Giao, N. T., Limpiyakorn, T. and Siripattanakul-Ratpukdi, S. (2016). "Impact of silver nanoparticle on ammonia oxidation by nitrifying sludge". ใน การประชุมวิชาการ วิศวกรรมฟาร์มและเทคโนโลยีการควบคุมในอัตโนมัติระดับชาติ ครั้งที่ 3. 25-26 พฤศจิกายน 2559. ขอนแก่น: มหาวิทยาลัยขอนแก่น, 155-161.
- Glasswarechemical. (2014). **UV-Vis spectrophotometer principle.** (Online). <http://glasswarechemical.com/scientific-instrument>, September 18, 2017.
- Goswami, L., Kim, K. H., Deep, A., Das, P., Bhattacharya, S. S., Kumar, S. and Adelodun, A. A. (2017). Engineered nano particles: Nature, behavior, and effect on the environment. *Journal of Environmental Management.* 196, 297-315.
- Gottschalk, F., Kost E. and Nowack, B. (2013). Engineered nanomaterials in water and soil: a risk quantification based on probabilistic exposore and effect modeling: engineered nanomaterials in water and soil. *Environmental Toxicology and Chemistry.* 32(6), 1278-1287.
- Hanks, N. A., Caruso, J. A. and Zhang, P. (2015). Assessing *Pistia stratiotes* for phytoremediation of silver nanoparticle and Ag(I) contaminated waters. *Journal of Environmental Management.* 164, 41-45.
- Hendren, C. O., Badireddy, A. R., Casman, E. and Wiesner, M. R. (2013). Modeling nanomaterial fate in wastewater treatment: Monte Carlo simulation of silver nanoparticles (nano-Ag). *Science of the Total Environment.* 449, 418-425.

บรรณานุกรม (ต่อ)

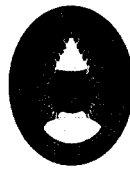
- Hood, E. (2004). Nanotechnology: looking as we leap. **Environmental Health Perspectives.** 112(13), A740-A749.
- Jana, N. R., Gerarheat, L. and Mouphy, C.J. (2001). Wet chemical synthesis of silver nanorods and nanowires of controllable aspect ratio. **Chemical Communications.** 7, 617-618.
- Kamal, M., A. E. Ghaly, N. and Mahmouda, R. C. (2004). Phytoaccumulation of heavy metals by aquatic plants. **Environment International.** 29(8), 1029–1039.
- Liu, W., Wu, Y., Wang, C., Li, H. C., Wang, T., Liao, C., Cui, L., Zhou, Q. F., Yan, B. and Jiang, G. B. (2010). Impact of silver nanoparticles on human cells: effect of particle size. **Nanotoxicology.** 4(3), 319-330.
- Mahasawat, P., Mudtaleb, S. and Eaidprap, P. (2018). The influence of silver nanoparticle sizes on antibacterial activity, cytotoxicity and genotoxicity of alginate hydrogel beads containing silver nanoparticles. **Applied Mechanics and Materials.** 886, 70-77.
- Mueller, N. C. and Nowack, B. (2008). Exposure modeling of engineered nanoparticles in the environment. **Environmental Science & Technology.** 42(12), 4447-4453.
- Odjegba V. J. and Fasidi, I. O. (2004). Accumulation of trace elements by *Pistia stratiotes* L.: implications for phytoremediation. **Ecotoxicology.** 13(7), 637-646.
- Price, O. T., Asgharian, B., Miller, F. J., Cassee, F. R. and de Winter-Sorkina, R. (2002). Multiple Path Particle Dosimetry model (MPPD v1.0): A model for human and rat airway particle dosimetry. **Genetics.** 161(2), 721-731.

บรรณานุกรม (ต่อ)

- Promtong, P. (2014). Determinants of silver nanoparticle toxicity. Ph.D. Thesis, Degree of Doctor of Philosophy, Faculty of Medical and Human Sciences, Manchester University, United Kingdom.
- Pronk, M. E. J., Wijnhoven, S. W. P., Bleeker, E. A. J., Heugens, E. H. W., Peijnenburg, W. J. G. M., Luttkik, R. and Hakkert, B. C. (2009). Nanomaterials under REACH: nanosilver as a case study, National Institute for Public Health and the Environment, The Netherlands.
- Robert Boumis. (2019). effect of aquarium plant on pH. (Online). <http://animals.mom.me>, April 15, 2019.
- Sun, T. Y., Gottschaik, F., Hungerbuhler, K. and Nowack, B. (2014). Comprehensive modeling of environmental emission of engineered nanomaterials. *Environmental Pollution*. 185, 69-76.
- Sushera B. (2004). Phytoremediation of cadmium contaminated wetland using aquatic macrophytes. (Online). <http://www.sciencedirect.com>, September 18, 2017.
- Wang, J. C., Neogi, P. and Forciniti, D. (2006). On one-dimensional self-assembly of surfactant-coated nanoparticles. *The Journal of Chemical Physics*. 125(19), 194717-1 – 19471-6.
- Wilkinson, S., Croft, D. R., O'Prey, J., Meedendorp, A., O'Prey, M., Dufès, C. and Ryan, K. M. (2011). The cyclin-dependent kinase PITSLRE/CDK11 is required for successful autophagy. *Autophagy*. 7(11), 1295-1301.
- Winkelmann, K., Benas, L., Swiger, B. and Brown, S. (2017). Measurement of chlorophyll loss due to phytoremediation of Ag nanoparticles in the first-year laboratory. *Journal of Chemical Education*. 94(6), 751-757.







โครงร่างวิจัยเฉพาะทาง

1. ชื่อโครงการ

ภาษาไทย ประสิทธิภาพการบำบัดน้ำที่ปนเปื้อนด้วยซิลเวอร์ nano-particle โดยจาก (*Pistia stratiotes*. L): ผลของขนาดพาร์ติคิล

ภาษาอังกฤษ The Efficiency of Phytoremediation for Silver Nanoparticles-Contaminated Water by *Pistia stratiotes*: Effect of Particle Size

2. สาขาวิชา เทคโนโลยีสิ่งแวดล้อม

3. ชื่อผู้วิจัย นางสาวนูรยา กีมา เจษและ รหัส 584232006

นักศึกษาปริญญาตรี สาขาวิทยาศาสตร์สิ่งแวดล้อม
คณะวิทยาศาสตร์และเทคโนโลยี
มหาวิทยาลัยราชภัฏสงขลา

นางสาวฟ้าภูอนนะ ยะโนะ รหัส 584232007
นักศึกษาปริญญาตรี สาขาวิทยาศาสตร์สิ่งแวดล้อม
คณะวิทยาศาสตร์และเทคโนโลยี
มหาวิทยาลัยราชภัฏสงขลา

4. คณะกรรมการที่ปรึกษาวิจัยเฉพาะทาง

อาจารย์ที่ปรึกษาหลัก ดร.สิริพร บริรักษ์สิริศักดิ์
คณะวิทยาศาสตร์และเทคโนโลยี
มหาวิทยาลัยราชภัฏสงขลา

อาจารย์ที่ปรึกษาร่วม ดร.ภิภาดา มหาสวัสดิ์
คณะวิทยาศาสตร์และเทคโนโลยี
มหาวิทยาลัยราชภัฏสงขลา

5. ความสำคัญและที่มาของการวิจัย

ปัจจุบันความก้าวหน้าของวิทยาศาสตร์และเทคโนโลยีต่าง ๆ ได้เข้ามามีบทบาทในชีวิตประจำวันของมนุษย์และสังคมเป็นอย่างมาก นาโนเทคโนโลยี เป็นอีกหนึ่งเทคโนโลยีที่มีการพัฒนาและเจริญเติบโตอย่างรวดเร็วในช่วงไม่กี่ปีที่ผ่านมา มีการนำรากฐานเคมีและทางกายภาพที่พิเศษแตกต่างไปจากอนุภาคที่มีขนาดใหญ่ ทำให้NPsที่ผลิตได้ถูกนำมาใช้อย่างแพร่หลาย (Wang et al., 2006) หนึ่งในNPsที่นิยมใช้เป็นอย่างมาก คือ ชิลเวอร์นาโนพาร์ติเคิล (Silver Nanoparticles; AgNPs) โดยมีปริมาณการผลิตประมาณ 500 ตันต่อปี (Buric et al., 2015) ใน AgNPs มีคุณสมบัติสามารถยับยั้งเชื้อแบคทีเรียได้ดี ทำให้ถูกนำไปใช้เป็นส่วนผสมผลิตภัณฑ์ต่าง ๆ เช่น เสื้อผ้า เครื่องมือทางการแพทย์ เครื่องสำอาง อุปกรณ์ทางไฟฟ้า และเครื่องใช้ภายในบ้าน เป็นต้น ดังนั้นจึงอาจทำให้ AgNPs ปนเปื้อนออกมาน้ำสิ่งแวดล้อม ทั้งจากการปล่อยน้ำทึบที่ปนเปื้อน AgNPs จากโรงงาน อาคารบ้านเรือน ลงสู่แหล่งน้ำธรรมชาติ ทำให้มี AgNPs สะสมในสิ่งแวดล้อมและส่งผลกระทบต่อสิ่งมีชีวิต ซึ่งองค์กรอนามัยโลก (World Health Organization; WHO) ได้มีการกำหนดความเข้มข้นสูงสุดของ AgNPs ในน้ำดื่มไว้ที่ 0.1 มิลลิกรัมต่อลิตร

หนึ่งในวิธีการบำบัดน้ำเสียที่ได้รับความสนใจอย่างแพร่หลายในปัจจุบัน คือ การใช้พืชบำบัดสารปนเปื้อน (Phytoremediation) ซึ่งเป็นวิธีที่ประหยัดและมีประสิทธิภาพ จากการวิจัยที่เกี่ยวข้องพบว่า จอก (*Pistia stratiotes* L.) สามารถบำบัดน้ำที่ปนเปื้อนด้วย AgNPs ได้ (Hanks et al., 2015) อย่างไรก็ตามยังไม่มีงานวิจัยที่ศึกษาถึงผลของขนาดของ AgNPs ที่มีต่อประสิทธิภาพในการบำบัดน้ำของจอก รวมทั้งความสามารถของจอกในการทนทานต่อ AgNPs ที่มีขนาดอนุภาคต่างกัน ซึ่งจากการวิจัยที่เกี่ยวข้องพบว่า ความเป็นพิษของ AgNPs ขึ้นอยู่กับขนาดของ AgNPs เนื่องจากอนุภาคที่มีขนาดเล็กจะมีพื้นที่ผิวมากกว่า ทำให้มีความว่องไวในการเกิดปฏิกิริยาสูงกว่า โดยอนุภาคที่มีขนาดเล็กมีความเป็นพิษมากกว่าอนุภาคขนาดใหญ่ (Liu et al., 2010)

ดังนั้น งานวิจัยนี้จึงสนใจศึกษาเปรียบเทียบประสิทธิภาพของจอกในการบำบัดน้ำที่ปนเปื้อนด้วย AgNPs ที่มีขนาดต่างกัน โดยใช้ AgNPs ขนาด 7 นาโนเมตรและ 50 นาโนเมตร รวมทั้งศึกษาถึงสภาพที่เหมาะสมต่อการเจริญเติบโตของจอกในน้ำที่ปนเปื้อนด้วย AgNPs เพื่อให้ทราบถึงความสามารถของจอกในการบำบัดน้ำที่ปนเปื้อนด้วย AgNPs ที่มีขนาดต่างกัน และเป็นแนวทางในการใช้พืชบำบัด AgNPs

6. วัตถุประสงค์

- 6.1 เพื่อศึกษาสภาวะที่เหมาะสมต่อการเจริญเติบโตของจอกในน้ำที่ปนเปื้อนด้วย AgNPs
- 6.2 เพื่อศึกษาผลของขนาดของ AgNPs ต่อประสิทธิภาพในการบำบัดน้ำที่ปนเปื้อนด้วย AgNPs ด้วยจอก

7. สมมติฐาน

- 7.1 ความเข้มข้นของ AgNPs และระยะเวลาเมื่อผลต่อการเจริญเติบโตของจอก
- 7.2 ประสิทธิภาพของการบำบัดน้ำที่ปนเปื้อนด้วย AgNPs ขนาด 7 นาโนเมตร และ 50 นาโนเมตร แตกต่างกัน

8. ตัวแปร

ตัวแปรต้น หรือตัวแปรอิสระ (independent variable)

ขนาดของ AgNPs ความเข้มข้นของ AgNPs เริ่มต้น ระยะเวลา

ตัวแปรตาม (dependent variable)

ประสิทธิภาพในการบำบัดน้ำที่ปนเปื้อนด้วย AgNPs โดยจอกและการเจริญเติบโตของจอก

ตัวแปรควบคุม (control variable)

อุณหภูมิ ปริมาณน้ำ ลักษณะทางกายภาพของจอก

9. ประโยชน์ที่คาดว่าจะได้รับ

- 9.1 ทราบถึงความสามารถของจอกในการบำบัดน้ำที่ปนเปื้อนด้วย AgNPs ที่มีขนาดต่างกัน
- 9.2 สามารถนำวัชพืชน้ำมาใช้ให้เกิดประโยชน์ โดยการนำไปใช้ในการบำบัดน้ำที่ปนเปื้อนด้วย AgNPs
- 9.3 เป็นแนวทางในการบำบัดน้ำด้วยเทคโนโลยีที่เป็นมิตรกับสิ่งแวดล้อมแทนการบำบัดน้ำโดยใช้สารเคมีและไม่ทำลายทัศนียภาพ

10. ขอบเขตการวิจัย

10.1 พืชที่ใช้ทดลอง

จากจากแหล่งน้ำภายในมหาวิทยาลัยราชภัฏสงขลา โดยใช้จากที่มีรูปร่าง ขนาด และ
น้ำหนักใกล้เคียงกัน

10.2 ชิลเวอร์นาโนพาร์ติคิล

ได้รับความอนุเคราะห์จากสาขาเทคโนโลยีชีวภาพ โปรแกรมชีววิทยาและชีววิทยา
ประยุกต์

10.2.1 ขนาดของอนุภาค AgNPs ที่ใช้ทดลอง 2 ขนาด คือ 7 นาโนเมตร และ 50 นาโนเมตร

10.2.2 ความเข้มข้นของ AgNPs ในน้ำที่ใช้ทดลอง คือ 0.5, 1 และ 2 มิลลิกรัมต่อลิตร

10.3 ระยะเวลาที่ใช้ทดลอง

เก็บตัวอย่างที่เวลาต่าง ๆ ได้แก่ 0, 1, 2, 6, 12, 24 และ 48 ชั่วโมง

10.4 สถานที่ทำการทดลอง

ดำเนินการทดลองและวิเคราะห์ ณ ห้องปฏิบัติการ อาคารปฏิบัติการ
เทคโนโลยีชีวภาพ และห้องปฏิบัติการวิทยาศาสตร์สิ่งแวดล้อม ศูนย์วิทยาศาสตร์
มหาวิทยาลัยราชภัฏสงขลา

11. นิยามศัพท์เฉพาะ

11.1 ประสิทธิภาพ (efficiency) หมายถึง ความสามารถของจอกในการบำบัดน้ำที่ปนเปื้อน ด้วย AgNPs

11.2 จอก (*Piatia stratiotes* L.) หมายถึง พืชที่มีน้ำประเทลอยน้ำอยู่ในวงศ์ Araceae เป็นพืชที่เหมาะสมสำหรับบำบัดน้ำ เนื่องจากมีระบบ rakขนาดใหญ่ พบรดีตามแหล่ง น้ำ (Hanks *et al.*, 2015)

11.3 ชิลเวอร์นาโนพาร์ติคิล (silver nanoparticles) หมายถึง อนุภาคของชิลเวอร์ที่มี ขนาดเล็กระดับนาโนเมตร (ในช่วง 1-100 นาโนเมตร) (Hood, 2004)

11.4 การบำบัดน้ำโดยใช้พืช (phytoremediation) หมายถึง การใช้พืชในการบำบัดสารมลพิษทั้งสารอินทรีย์และอนินทรีย์ที่ปนเปื้อนในดิน น้ำ อากาศ เพื่อลดอันตรายของสารมลพิษต่อมนุษย์และสิ่งแวดล้อม เป็นวิธีการที่เป็นมิตรกับสิ่งแวดล้อม (Hanks *et al.*, 2015)

12. งานวิจัยที่เกี่ยวข้อง

Hanks *et al.* (2015) ได้ศึกษาการบำบัดน้ำที่ปนเปื้อนด้วย AgNPs และซิลเวอร์ไอออนด้วยจาก (*Pistia stratiotes*) โดยความเข้มข้นที่ใช้ทดลองแตกต่างกัน ดังนี้ 0.02, 0.2 และ 2 มิลลิกรัมต่อลิตร พบร้า จากสามารถดูดซึม AgNPs และซิลเวอร์ไอออนได้และสามารถอยู่รอดที่ความเข้มข้นต่ำสุด คือ 0.02 มิลลิกรัมต่อลิตร นอกจากนี้ยังพบว่าจากมีประสิทธิภาพสูงในการสะสมโลหะหนักและมีความสามารถในการดูดซึมสารอาหารสูง เช่น กัน อีกทั้งยังเป็นพืชที่มีอัตราการเจริญเติบโตอย่างรวดเร็วและสามารถลดการบำบัด AgNPs จนมีค่าต่ำกว่าค่ามาตรฐานที่องค์กรอนามัยโลกกำหนด (0.1 มิลลิกรัมต่อลิตร)

Giao *et al.* (2559) ได้ศึกษาผลของ AgNPs ต่อกระบวนการออกซิเดชันแอมโมเนียด้วยสลัดจีโนทริฟายอิง พบร้า AgNPs ที่ความเข้มข้น 1-100 มิลลิกรัมต่อลิตรยับยั้งปฏิกิริยาแอมโมเนียออกซิเดชันร้อยละ 90 ± 8.6 ถึง 94.8 ± 4.3 บ่งชี้ได้ว่า AgNPs ยับยั้งการทำงานของจุลินทรีย์แอมโมเนียออกซิเดเซอร์ ทำให้การบำบัดแอมโมเนียออกจานน้ำเสียมีประสิทธิภาพลดต่ำลง

Asharani *et al.* (2008) ได้ศึกษาความเป็นพิษของ AgNPs ต่อตัวอ่อนของปลาแม้ลาย (Zebrafish) พบร้า AgNPs มีความเป็นพิษต่oplamaแม้ลาย ทำให้อัตราการตายเพิ่มขึ้น การฟักไข่ของตัวอ่อนช้าลง ระบบไหลเวียนโลหิตช้า หัวใจหยุดเต้นและตายในที่สุด

13. วิธีการดำเนินการวิจัย

13.1 วัสดุและอุปกรณ์

1. จอก
2. แก้วน้ำพลาสติก
3. เครื่องแก้วชนิดต่าง ๆ
4. ระบบบอกร่อง
5. สารละลายมาตรฐานซิลเวอร์นาโนพาร์ติเคิล (stock solution) ความเข้มข้น 1000 มิลลิกรัมต่อลิตร (เพื่อเป็นสารละลายมาตรฐานสำหรับสร้างกราฟมาตรฐานในการวิเคราะห์ด้วยเครื่อง UV-Visible Spectrophotometer)
6. น้ำกลั่น

7. น้ำปราศจากไอออน (Deionized water: DI)
8. น้ำประปา
9. เครื่อง UV-Visible Spectrophotometer

13.2 วิธีดำเนินการ

งานวิจัยนี้ศึกษาประสิทธิภาพการบำบัดน้ำที่ปนเปื้อนด้วย AgNPs ด้วยจาก โดยศึกษาถึงผลของขนาดพาร์ติคิลที่มีต่อประสิทธิภาพในการบำบัดน้ำ ซึ่งมีวิธีการดำเนินการ 6 ขั้นตอน ดังนี้

- 13.2.1 ศึกษาและรวบรวมข้อมูล
- 13.2.2 การเก็บตัวอย่างจาก
- 13.2.3 ทดสอบประสิทธิภาพการบำบัดน้ำที่ปนเปื้อนด้วย AgNPs โดยจาก
- 13.2.4 วิเคราะห์ตัวอย่างน้ำและจาก
- 13.2.5 วิเคราะห์ประสิทธิภาพในการบำบัด AgNPs ขนาด 7 นาโนเมตรและ 50 นาโนเมตร ของจาก
- 13.2.6 วิเคราะห์ข้อมูล

- 13.2.1 ศึกษาและรวบรวมข้อมูล โดยสืบค้นจากห้องสมุด อินเตอร์เน็ตavarasarn

หนังสือวิจัยที่เกี่ยวข้อง

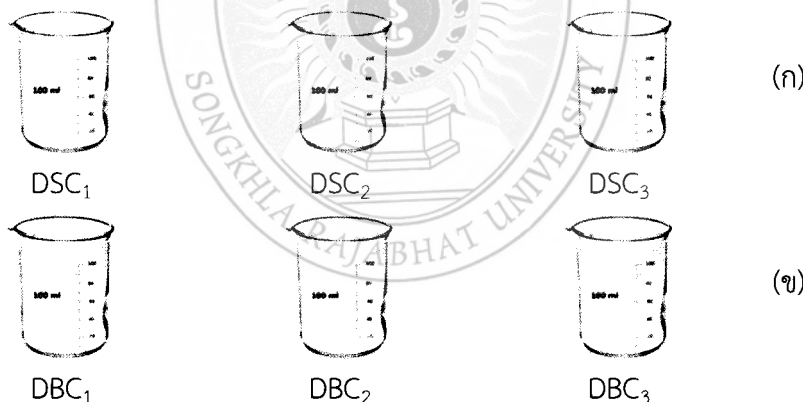
- 13.2.2 การเก็บตัวอย่างจาก
 - 1) การคัดเลือกและเตรียมตัวอย่างจาก
 - 1.1 เก็บตัวอย่างจากแหล่งน้ำบริเวณอาคารศูนย์วิทยาศาสตร์ มหาวิทยาลัยราชภัฏสงขลา โดยมีเกณฑ์ในการพิจารณา และเลือกดังนี้
 - รูปร่างและขนาดใกล้เคียงกัน (รากยาว 25-30 ซม. ความยาวใบ 5.5-7.5 ซม.)
 - มีสีเขียวอ่อนเท่า ๆ กัน ไม่แก่จัดจนเกินไป
 - ระยะการเจริญเติบโต
 - 1.2 ทำความสะอาดด้วยน้ำประปา เพื่อกำจัดตะกอนต่าง ๆ ให้หมดประมาณ 2-3 ครั้งแล้วล้างต่อด้วยน้ำกลันอีกหนึ่งครั้ง
 - 2) เลี้ยงปรับสภาพจากเป็นเวลา 2 วัน ด้วยน้ำ DI

13.2.3 ทดสอบประสิทธิภาพการบำบัดน้ำที่ปนเปื้อนด้วย AgNPs โดยจากการทดลองการดูดซึม AgNPs ของจอมีรายละเอียด ดังนี้

- ขนาดของ AgNPs ที่ใช้ได้แก่ ขนาด 7 นาโนเมตรและ 50 นาโนเมตร
- ความเข้มข้นของ AgNPs ที่ใช้ทดลอง ได้แก่ 0.5, 1 และ 2 มิลลิกรัม ต่อลิตร
- ควบคุมอุณหภูมิห้องที่ 25 ± 2 องศาเซลเซียส
- เก็บตัวอย่างที่เวลา 0, 1, 2, 4, 6, 12, 24 และ 48 ชั่วโมง ซึ่งแต่ละเวลาจะเก็บตัวอย่างทั้ง 3 ชุดการทดลอง คือ การศึกษาการถ่ายตัวของ AgNPs ชุดควบคุม และการศึกษาประสิทธิภาพการบำบัดน้ำที่ปนเปื้อนด้วย AgNPs โดยใช้จอก
- วิเคราะห์ตัวอย่างน้ำและศึกษาลักษณะทางกายภาพของจอก

ชุดการทดลองที่ 1 การศึกษาการถ่ายตัวของ AgNPs

การศึกษาการถ่ายตัวของ AgNPs ทดลองโดยใส่สารละลาย AgNPs ที่ความเข้มข้น 0.5, 1 และ 2 มิลลิกรัมต่อลิตร ลงในภาชนะที่ใช้ทดลอง ดังแสดงในภาพที่ 1 และตารางที่ 1



ภาพที่ 1 การศึกษาการถ่ายตัวของ AgNPs (g) ขนาด 7 นาโนเมตร

(x) ขนาด 50 นาโนเมตร

ชุดการทดลองที่ 2 ชุดควบคุม

ชุดควบคุมในการทดลองนี้ประกอบด้วยน้ำ DI (B) เพื่อเป็นแบล็ค และน้ำ DI และจอก (P) ซึ่งเป็นชุดควบคุมสำหรับศึกษาการเจริญเติบโตของจอก โดยมีรายละเอียดของแต่ละตัวอย่าง ดังแสดงในภาพที่ 2 และตารางที่ 1



B (น้ำ DI)

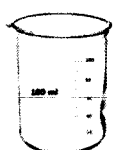


P (น้ำ DI และจอก)

ภาพที่ 2 ชุดควบคุมในการศึกษาการเจริญเติบโตของจอก

ชุดการทดลองที่ 3 การศึกษาประสิทธิภาพการบำบัด AgNPs

การศึกษาประสิทธิภาพในการบำบัด AgNPs ด้วยจอก ทดลองโดยใส่สารละลาย AgNPs ที่ความเข้มข้น 0.5, 1 และ 2 มิลลิกรัมต่อลิตร และจอกลงในภาชนะที่ใช้ทดลอง โดยมีรายละเอียดของแต่ละตัวอย่างดังแสดงในภาพที่ 3 และตารางที่ 1

SC₁SC₂SC₃BC₁BC₂BC₃

(ก)

(ข)

ภาพที่ 3 การศึกษาประสิทธิภาพการบำบัด AgNPs (ก) ขนาด 7 นาโนเมตร (ข) ขนาด 50 นาโนเมตร

ตารางที่ 1 รายละเอียดของตัวอย่างที่ใช้ในการศึกษา

การศึกษา	ชื่อตัวอย่าง	ขนาดของ AgNPs(nm)	ความเข้มข้นของซิลเวอร์นาโนพาร์ติเคิล (mg/L)	หมายเหตุ
1. การศึกษาการสลายตัวของ AgNPs	DSC ₁	7	0.5	
	DSC ₂		1	
	DSC ₃		2	
	DBC ₁	50	0.5	
	DBC ₂		1	
	DBC ₃		2	
2. ชุดควบคุม	B	-	-	น้ำ DI
	P	-	-	น้ำ DI และจอก

การศึกษา	ชื่อตัวอย่าง	ขนาดของ AgNPs(nm)	ความเข้มข้นของเชลเวอร์นาโนพาร์ติเคล (mg/l)	หมายเหตุ
3. การศึกษาประสิทธิภาพการบำบัด AgNPs	SC ₁	7	0.5	
	SC ₂		1	
	SC ₃		2	
	BC ₁	50	0.5	จอก
	BC ₂		1	
	BC ₃		2	

13.1.4 วิเคราะห์ตัวอย่างน้ำและจอก

ทำการเก็บตัวอย่างน้ำและจอกที่ใช้ทดลองที่เวลา 0, 1, 2, 6, 12, 24 และ 48 ชั่วโมง หลังจากนั้นนำมายิเคราะห์หาค่า pH ของน้ำ ปริมาตรที่ลดลงของชุดควบคุม ลักษณะทางกายภาพของจอก (น้ำหนัก ขนาด สีใบ) และความเข้มข้นของ AgNPs ในน้ำ โดยแสดงวิธีการวิเคราะห์ไว้ในตารางที่ 2

13.1.5 วิเคราะห์ประสิทธิภาพในการบำบัด AgNPs ของจอกและตัวอย่างน้ำ

ผลที่ได้จาก 13.1.5 นำมาวิเคราะห์หาประสิทธิภาพของจอกในการกำจัด AgNPs ที่มีขนาด 7 นาโนเมตรและ 50 นาโนเมตร ออกจากน้ำ โดยสามารถคำนวณค่าประสิทธิภาพการบำบัดได้จากสูตร

$$\text{ประสิทธิภาพการบำบัด (\%)} =$$

$$\frac{(\text{ความเข้มข้น AgNPs เริ่มต้น} - \text{ความเข้มข้น AgNPs สุดท้าย})}{\text{ความเข้มข้น AgNPs เริ่มต้น}} \times 100$$

13.1.6 การวิเคราะห์ข้อมูล

ข้อมูลแบบสถิติ โดยศึกษาเบรียบเทียบประสิทธิภาพของจอกในการบำบัด AgNPs 2 ขนาด ใช้โปรแกรม SPSS การทดสอบทางสถิติแบบ t-test

ตารางที่ 2 วิธีการวิเคราะห์ตัวอย่างน้ำและจอก

พารามิเตอร์	วิธีการวิเคราะห์
pH	pH meter
ปริมาตรน้ำที่ลดลง	กระบวนการ
ลักษณะทางกายภาพของจอก (น้ำหนัก ขนาด สีใบ)	ชั้นน้ำหนัก/ วัดขนาด
ความเข้มข้นของ AgNPs	เครื่อง UV-Visible spectrophotometer ที่ความยาวคลื่น 395 นาโนเมตร

14. แผนการดำเนินงานตลอดโครงการ

15. งบประมาณ

รายการ	งบประมาณตลอดโครงการ
ค่าใช้สอย	
ค่าบริการสืบคันข้อมูล	1,000
ค่าวัสดุ	
ค่าอุปกรณ์และสารเคมีที่ใช้ในการวิจัย	3,000
ค่าวัสดุสำนักงาน/ค่าถ่ายเอกสาร	1,000
ค่าจัดทำรายงาน	1,500
รวม	6,500

16. เอกสารอ้างอิง

วงศ์ผกา จำปา. (2551). การศึกษาความสามารถในการดูดซึมโลหะหนักในน้ำที่ปนเปื้อนด้วยสาหร่ายพุ่ง竹子. ปัญหาพิเศษปริญญาตรี มหาวิทยาลัยเกษตรศาสตร์.

Asharani, P. V., Wu, Y. L., Gong, Z., and Valiyaveettil, S. (2008). Toxicity of silver nanoparticle in zebrafish models. *Nanotechnology*. 19(25), 255102-1 - 255102-8.

Buric, P., Jaksic, Z., Stajner, L., Sikiric, M. D., Jurasin, D., Cascio, L. and Lyons, D. M. (2015). Effect of silver nanoparticles on Mediterranean Sea urchin embryonal development is species specific and depends on moment of first exposure. *Marine Environmental Research*. 111, 50-59.

Giao, N. T., Limpiyakorn, T. and Siripattanakul-Ratpukdi, S. (2016). "Impact of silver nanoparticle on ammonia oxidation by nitrifying sludge". ใน การประชุมวิชาการ วิศวกรรมฟาร์มและเทคโนโลยีการควบคุมในอัตโนมัติระดับชาติ ครั้งที่ 3. 25-26 พฤศจิกายน 2559. ขอนแก่น: มหาวิทยาลัยขอนแก่น, 155-161.

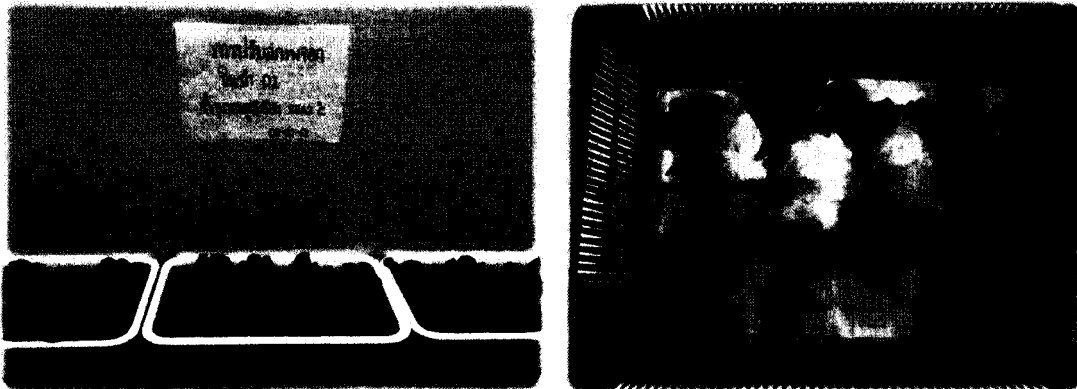
Hanks, N. A., Caruso, J. A. and Zhang, P. (2015). Assessing *Pistia stratiotes* for phytoremediation of silver nanoparticle and Ag(I) contaminated waters. *Journal of Environmental Management*. 164, 41-45.

Hood, E. (2004). *Nanotechnology: looking as we leap*. Environmental Health Perspectives, 112: A740-A749.

- Liu, W., Wu, Y., Wang, C., Li, H. C., Wang, T., Liao, C., Cui, L., Zhou, Q. F., Yan, B. and Jiang, G. B. (2010). Impact of silver nanoparticles on human cells: effect of particle size. *Nanotoxicology*. 4(3), 319-330.
- Wang, J. C., Neogi, P. and Forciniti, D. (2006). On one-dimensional self-assembly of surfactant-coated nanoparticles. *The Journal of Chemical Physics*. 125(19), 194717-1.







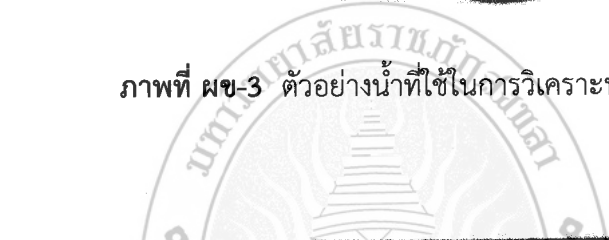
ภาพที่ พช-1 ลักษณะพีชที่ใช้ในการทดลอง



ภาพที่ พช-2 การทดลองประสิทธิภาพของจอกในการดูดซับ AgNPs



ภาพที่ พข-3 ตัวอย่างน้ำที่ใช้ในการวิเคราะห์



ภาพที่ พข-4 ตัวอย่างจอกที่ใช้ในการวิเคราะห์คลอโรฟิล์ เอ และคลอโรฟิล์ บี

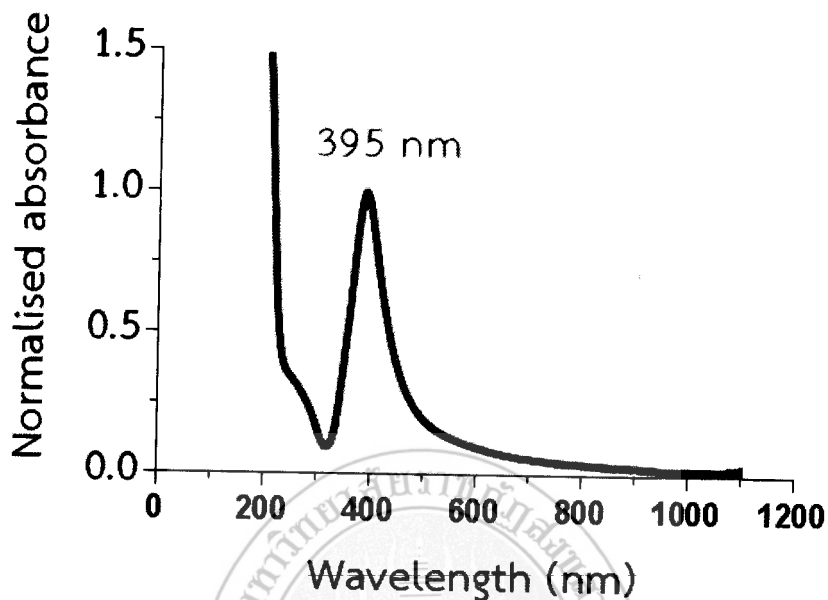


ภาพที่ พช-5 ขั้นตอนการกรองตัวอย่างน้ำและจอก

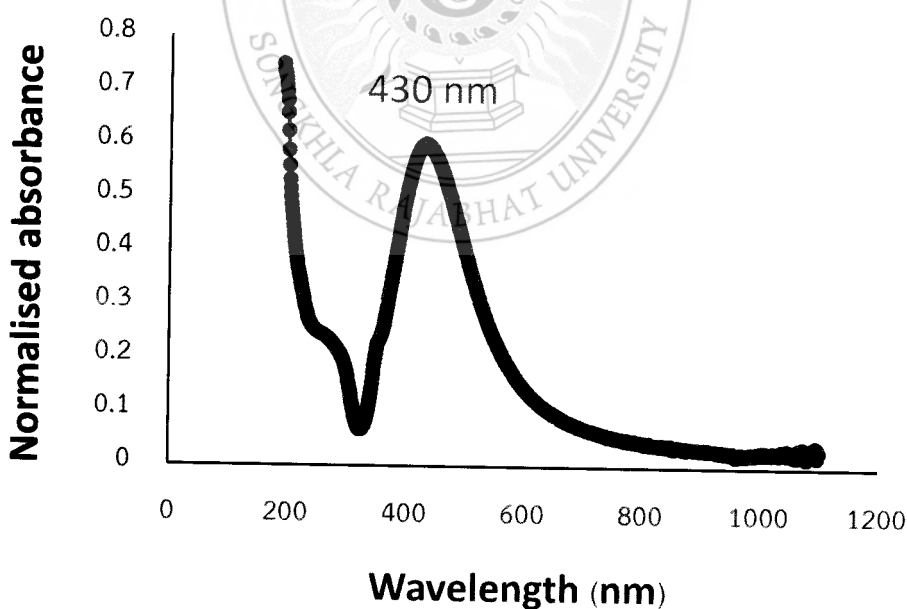


ภาพที่ พช-6 เครื่อง UV- Visible spectrophotometer

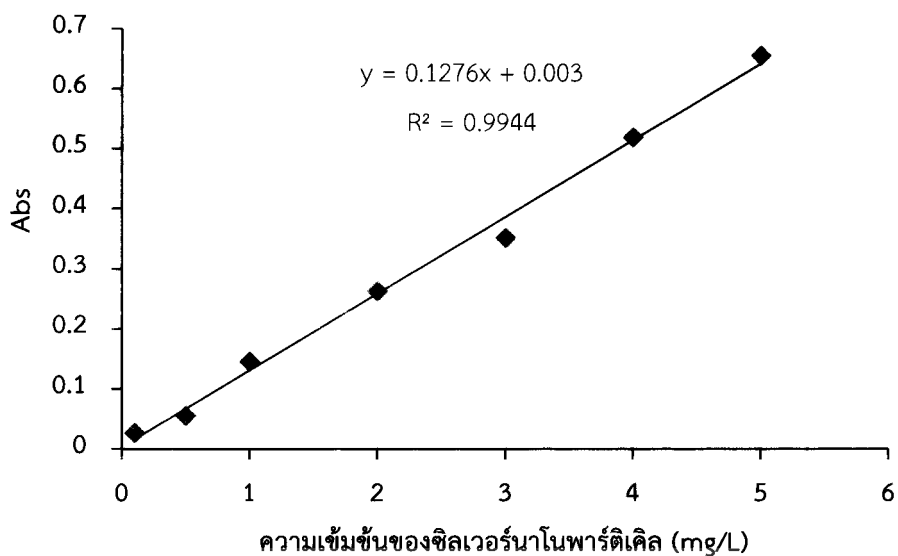




ภาพที่ พค-1 ความยาวคลื่นของ AgNPs ขนาด 7 นาโนเมตร

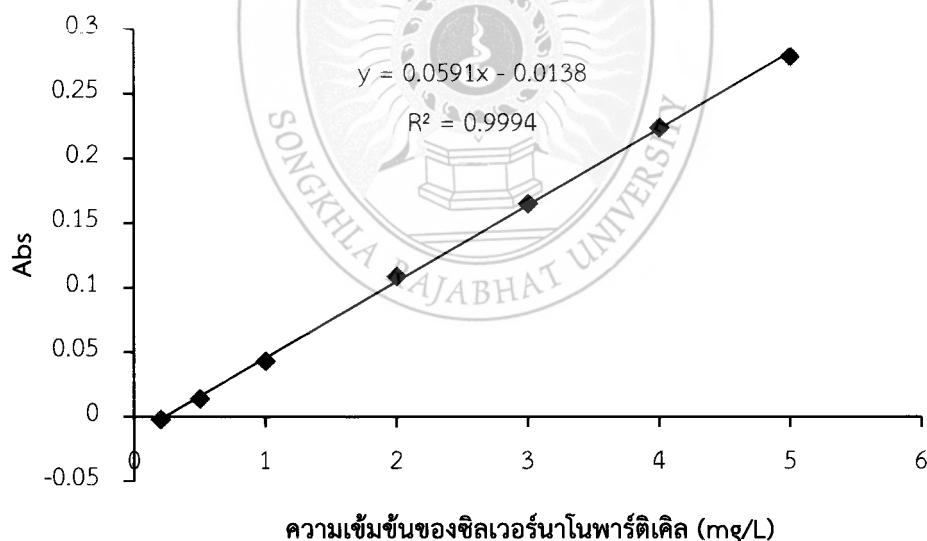


ภาพที่ พค-2 ความยาวคลื่นของ AgNPs ขนาด 50 นาโนเมตร



ภาพที่ พค-3 กราฟสารละลายน้ำรูปฐานของ AgNPs 7 นาโนเมตร เพื่อวิเคราะห์ด้วยเครื่อง

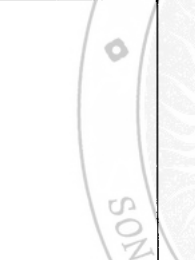
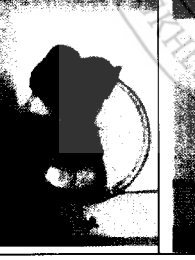
UV-Visible spectrophotometer



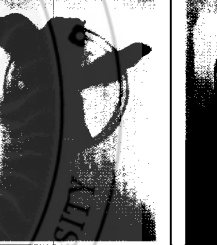
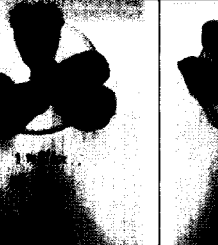
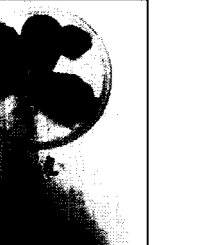
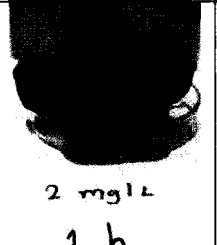
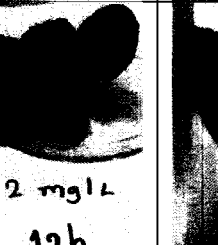
ภาพที่ พค-4 กราฟสารละลายน้ำรูปฐานของ AgNPs 50 นาโนเมตร เพื่อวิเคราะห์ด้วยเครื่อง UV-

Visible spectrophotometer

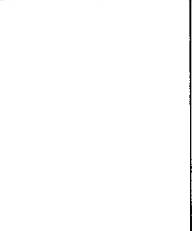
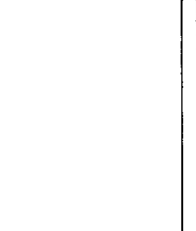
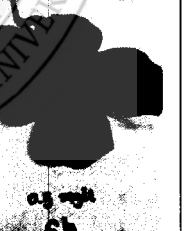
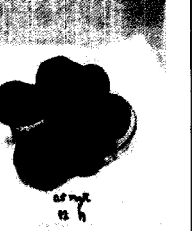
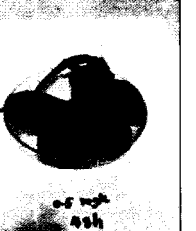
ตารางที่ พค-1 ลักษณะของจอกที่เวลาต่าง ๆ

ประเภทของ AgNPs (mg/L)		ลักษณะของจอกที่เวลาต่าง ๆ						
ขนาดของ AgNPs (nm)	ความเข้มข้นของ AgNPs (mg/L)	1 ชั่วโมง	2 ชั่วโมง	4 ชั่วโมง	6 ชั่วโมง	12 ชั่วโมง	24 ชั่วโมง	48 ชั่วโมง
7	0							
	0.5							

ตารางที่ ผค-1 ลักษณะของจอกที่เวลาต่าง ๆ (ต่อ)

ประเภทของ AgNPs (mg/L)		ลักษณะของจอกที่เวลาต่าง ๆ						
ขนาด ของ AgNPs (nm)	ความ เข้มข้น ของ AgNPs (mg/L)	1 ชั่วโมง	2 ชั่วโมง	4 ชั่วโมง	6 ชั่วโมง	12 ชั่วโมง	24 ชั่วโมง	48 ชั่วโมง
7	1							
	2	 2 mg/L 1 h	 2 mg/L 2 h	 2 mg/L 4 h	 2 mg/L 6 h	 2 mg/L 12 h		 2 mg/L 48 h

ตารางที่ ผค-1 ลักษณะของจอกที่เวลาต่าง ๆ (ต่อ)

ประเภทของ AgNPs (mg/L)		ลักษณะของจอกที่เวลาต่าง ๆ						
ขนาดของ AgNPs (nm)	ความเข้มข้นของ AgNPs (mg/L)	1 ชั่วโมง	2 ชั่วโมง	4 ชั่วโมง	6 ชั่วโมง	12 ชั่วโมง	24 ชั่วโมง	48 ชั่วโมง
50	0							
	0.5							

ตารางที่ ผค-1 ลักษณะของจอกที่เวลาต่าง ๆ (ต่อ)

ประเภทของ AgNPs (mg/L)		ลักษณะของจอกที่เวลาต่าง ๆ						
ขนาด ของ AgNPs (nm)	ความ เข้มข้น ของ AgNPs (mg/L)	1 ชั่วโมง	2 ชั่วโมง	4 ชั่วโมง	6 ชั่วโมง	12 ชั่วโมง	24 ชั่วโมง	48 ชั่วโมง
50	1							
	2							

ตารางที่ ผค-2 ผลทดสอบทางสถิติของประสิทธิภาพในการบำบัดน้ำที่ปนเปื้อนด้วยจากของ AgNPs ขนาด 7 และ 50 นาโนเมตร

การทดสอบ ประสิทธิภาพของจอก 2 ขนาด (nm)	N	X	S.D.	t	Sig
7	63	10.28	7.78	-0.098	0.008
50	63	10.46	13.22		





ประวัติผู้ทำวิจัย

1. ชื่อ-สกุล นางสาวนูรยา กีมา เจรและ
 วันเดือนปีเกิด 19 มีนาคม 2539
 ที่อยู่ 140 หมู่ 13 ตำบลสุคิริน อำเภอสุคิริน จังหวัดนราธิวาส 96190
 เบอร์โทรศัพท์ 0872865254
 การศึกษานักศึกษา โปรแกรมวิชาวิทยาศาสตร์สิ่งแวดล้อม
 คณะวิทยาศาสตร์และเทคโนโลยี
 มหาวิทยาลัยราชภัฏสงขลา
2. ชื่อ-สกุล นางสาวฟ้าภูอนะย ยะโงะ¹
 วันเดือนปีเกิด 10 พฤษภาคม 2540
 ที่อยู่ 7/5 หมู่ 3 ตำบลสะบ้าย้อย อำเภอสะบ้าย้อย จังหวัดสงขลา 90210
 เบอร์โทรศัพท์ 0936420135
 การศึกษานักศึกษา โปรแกรมวิชาวิทยาศาสตร์สิ่งแวดล้อม
 คณะวิทยาศาสตร์และเทคโนโลยี
 มหาวิทยาลัยราชภัฏสงขลา